



---

# Optimización dinámica de procesos

Prof. Cesar de Prada

Dpt. Ingeniería de Sistemas y  
Automática

Universidad de Valladolid



# Indice

---

- ✓ Industria de procesos
- ✓ Optimización de procesos
- ✓ Optimización dinámica
- ✓ Como resolver estos problemas
- ✓ Como aplicar las soluciones
- ✓ Ejemplo: Papelera
- ✓ Problemas abiertos

## Conclusión:

Aunque hay muchos problemas abiertos, los últimos avances hacen de la optimización una tecnología que puede usarse para la operación óptima de procesos



# Industria de procesos

Mas tecnología

Procesos mas complejos

Menos personal

Mas normas y especificaciones

Situaciones cambiantes

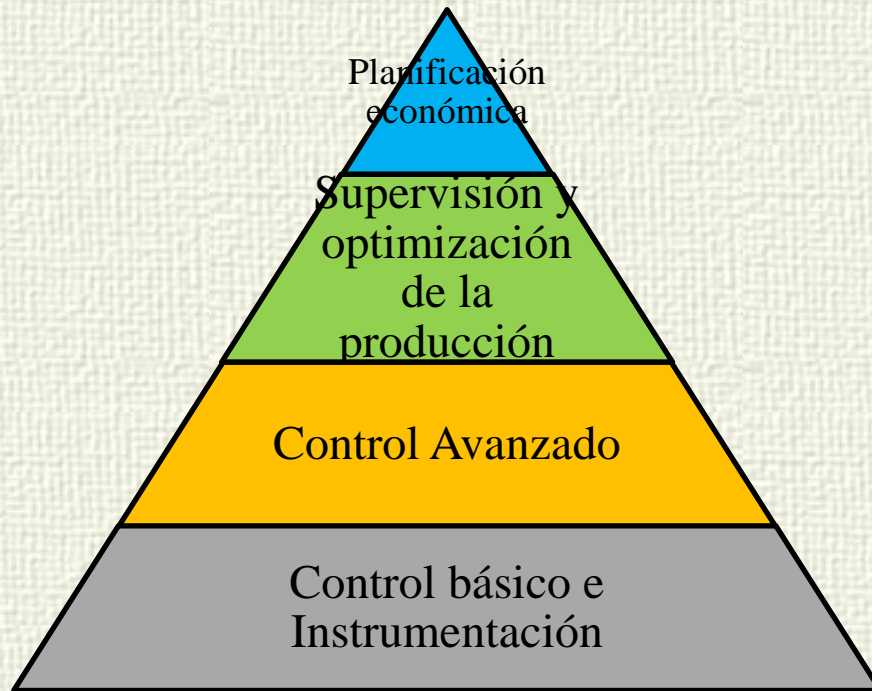
Mas datos que nunca

Mas competencia





# Pirámide del control

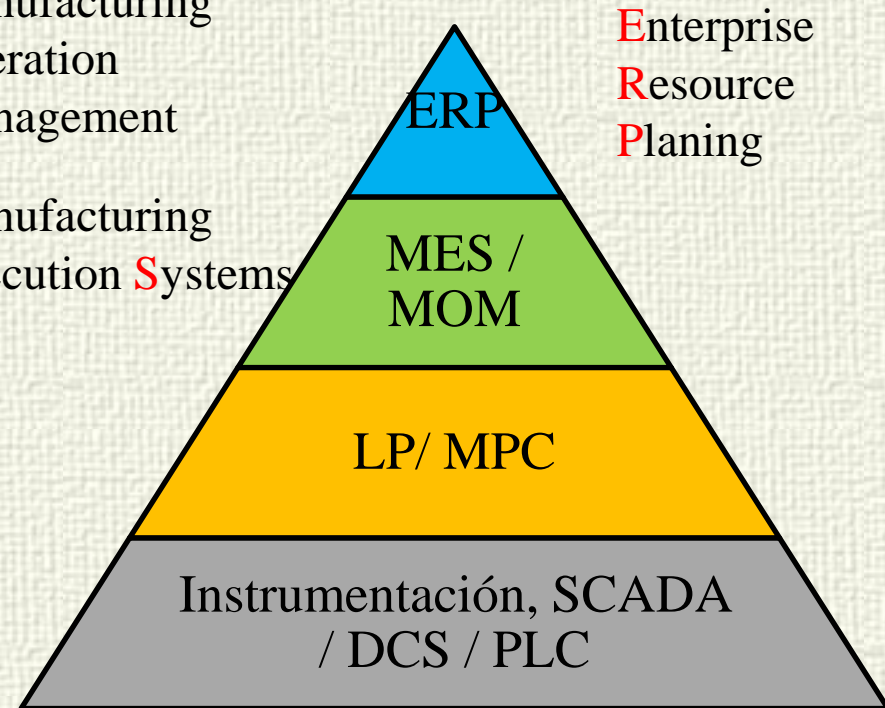


Capas funcionales  
Punto de vista academico

Manufacturing  
Operation  
Management

Manufacturing  
Execution Systems

Decisiones  
complejas  
organizadas en  
diferentes niveles



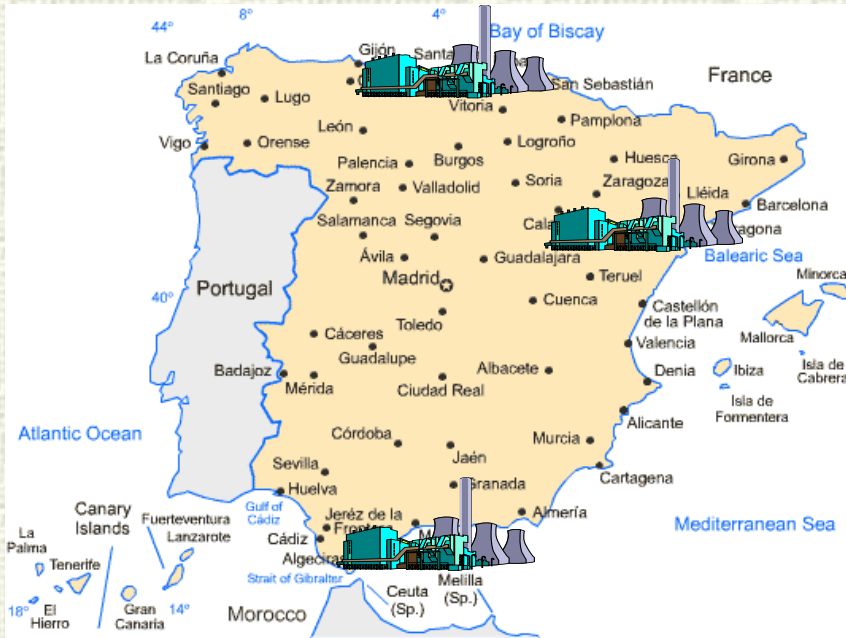
Software / Hardware  
Punto de vista industrial

Enterprise  
Resource  
Planing



Los sistemas ERP manjan la planificación de la producción, logística, suministros de materiales y recursos, contabilidad,, etc.

# ERP

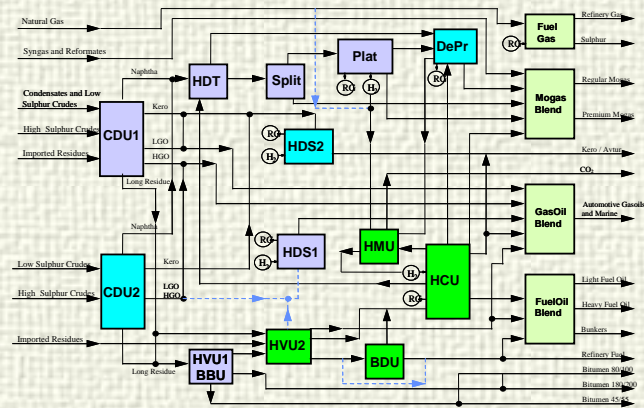


Planificación de la empresa

Planificación de la factoría

Refinamiento a corto plazo

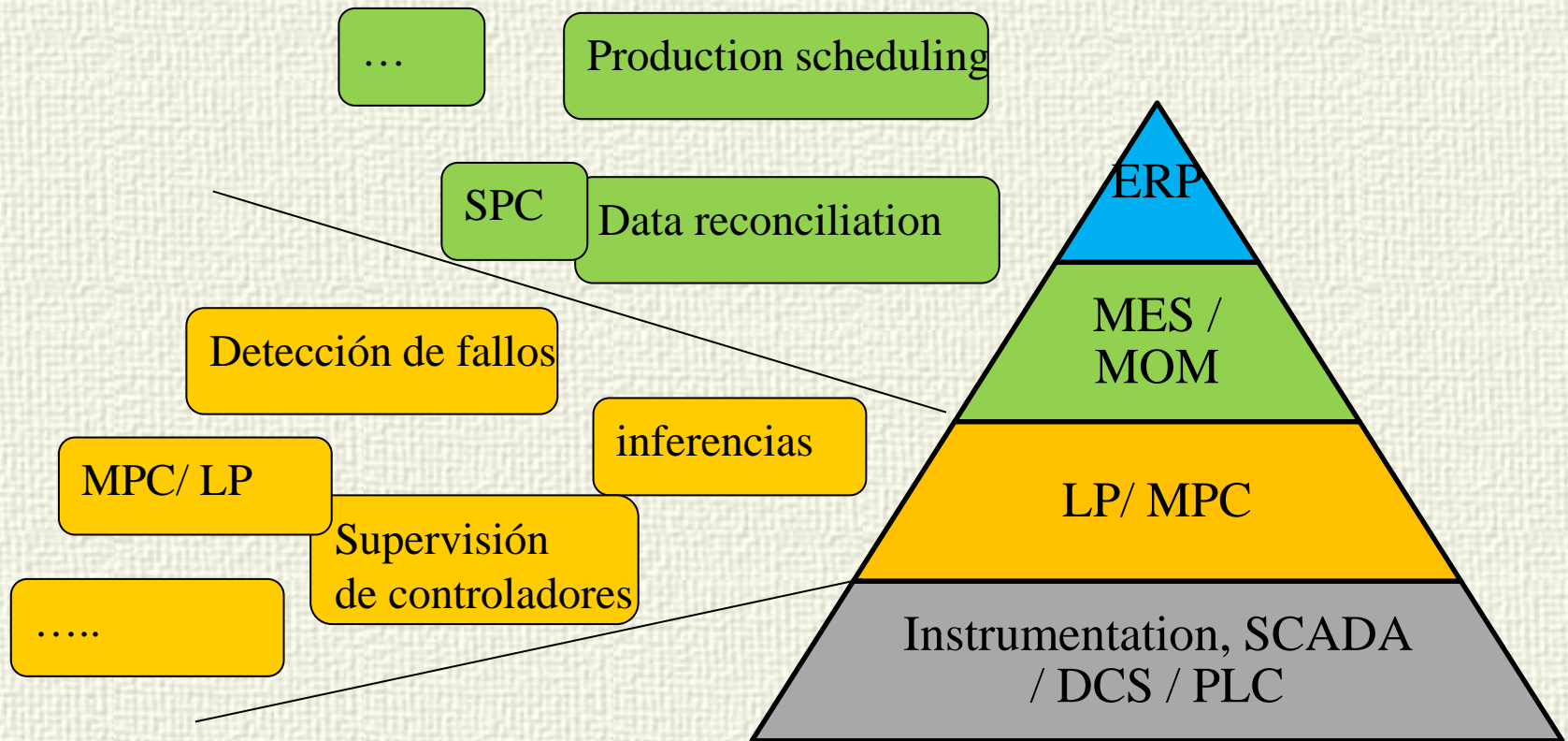
Objetivos de producción a cortoplazo para las plantas calculados con modelos sencillos (LP)  
El mantenimiento de los modelos es difícil y requiere información adecuada y herramientas







# Funcionalidades

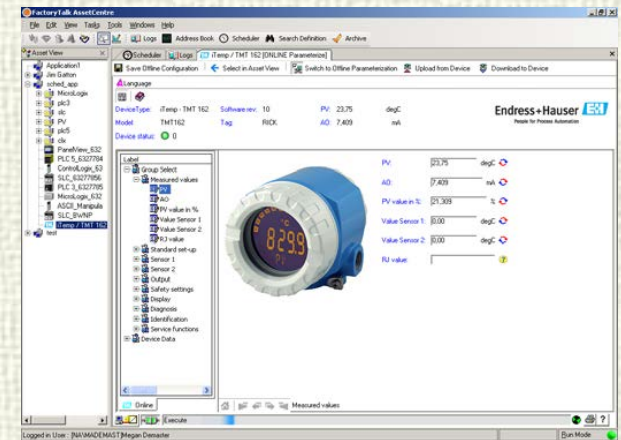
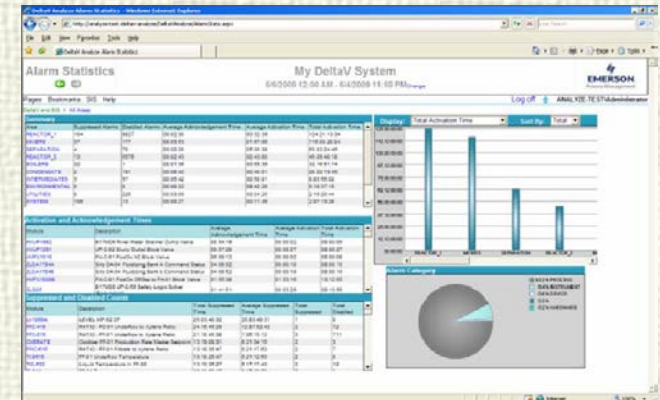
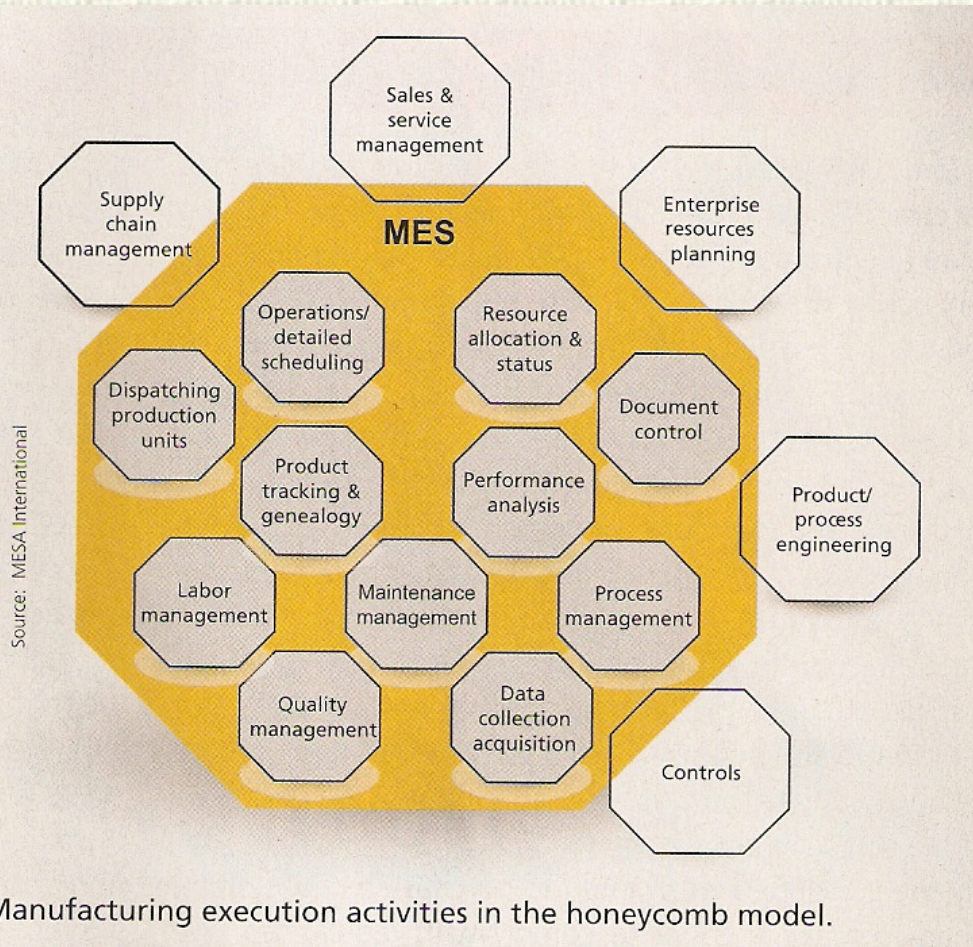




# MES



## Gestión estadística de alarmas



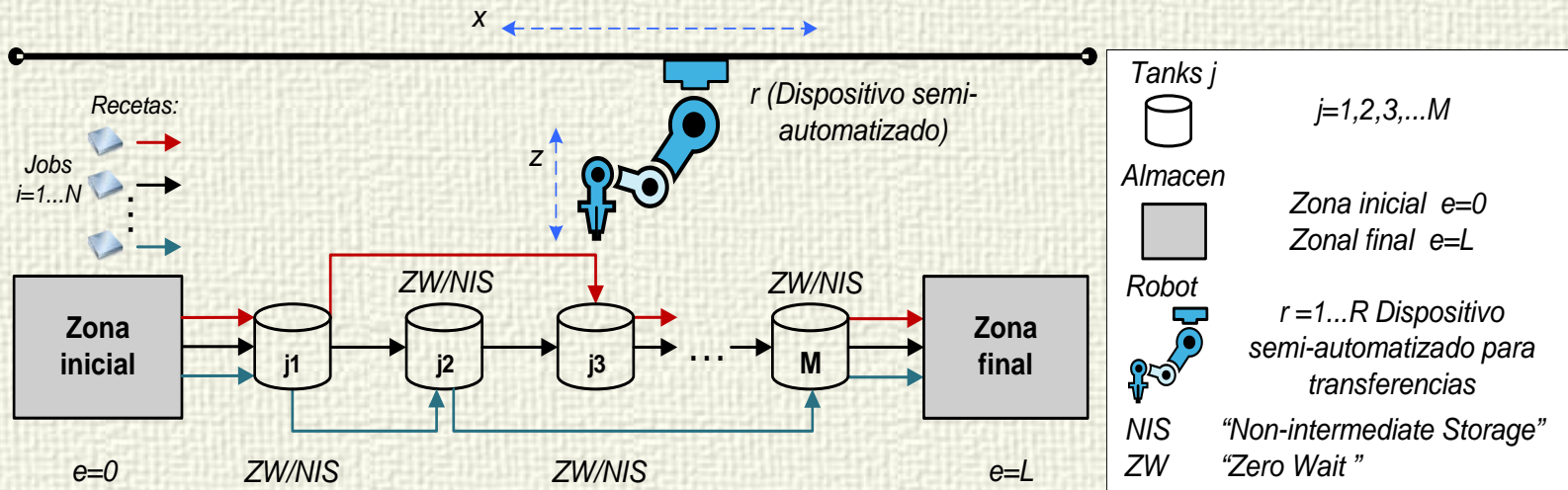
El elemento clave son los sistemas integrados de información

Sistemas de gestión de activos



# Secuenciamiento

## Lógica asociada



Distintos tratamientos de distintas piezas que deben efectuarse siguiendo una secuencia determinada con ciertos tiempos de operación en cada nodo.

¿Como organizar el secuenciamiento de modo que se minimice el tiempo total de proceso y todas las piezas reciban el tratamiento adecuado, compatible con la operación del robot?





# Ejemplo: Operación óptima

¿Que punto de operación maximiza el beneficio?

$$J = q c_B p_1 - q c_{A_i} p_2 - F_r p_3$$

$$0 = q(c_{A_i} - c_A) - V\beta e^{-E/RT} c_A$$

$$0 = q\rho c_p (T_i - T) + Vkc_A H - UA(T - T_r)$$

$$0 = F_r \rho_r c_{pr} (T_{ri} - T_r) + UA(T - T_r)$$

$$c_B = c_{A_i} - c_A$$

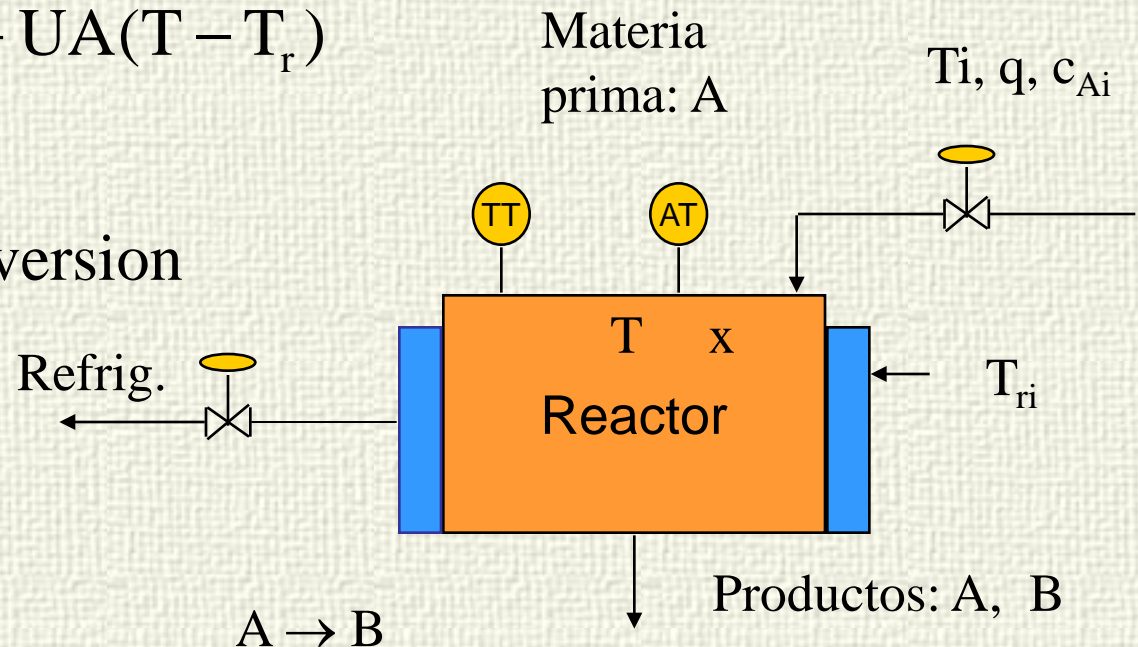
$$x = c_B / c_{A_i} \quad x \text{ conversion}$$

$$T_{\min} \leq T \leq T_{\max}$$

$$x_{\min} \leq x \leq 1$$

$$q_{\min} \leq q \leq q_{\max}$$

$$F_{r\min} \leq F_r \leq F_{r\max}$$

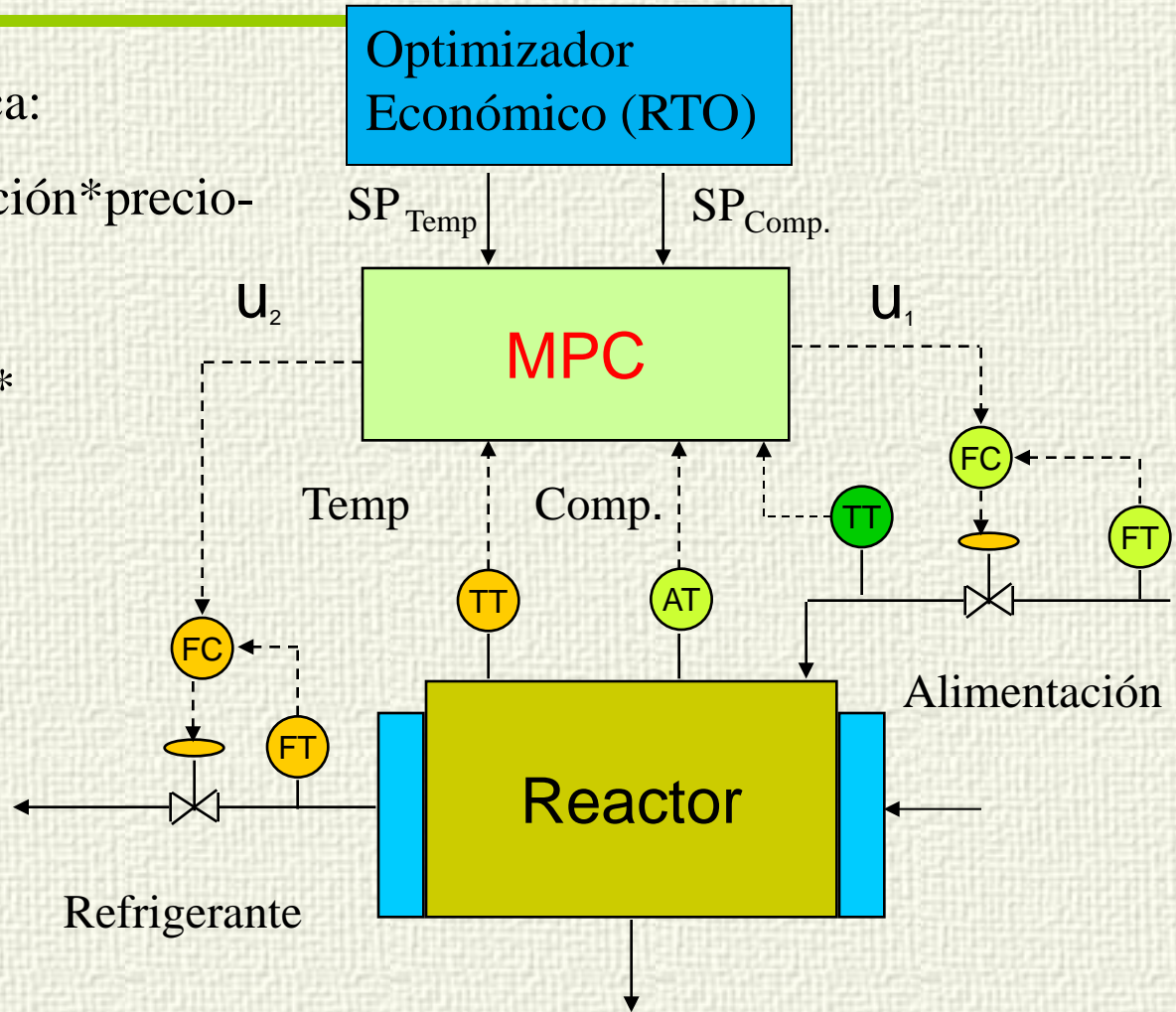




# Operación óptima (económica)

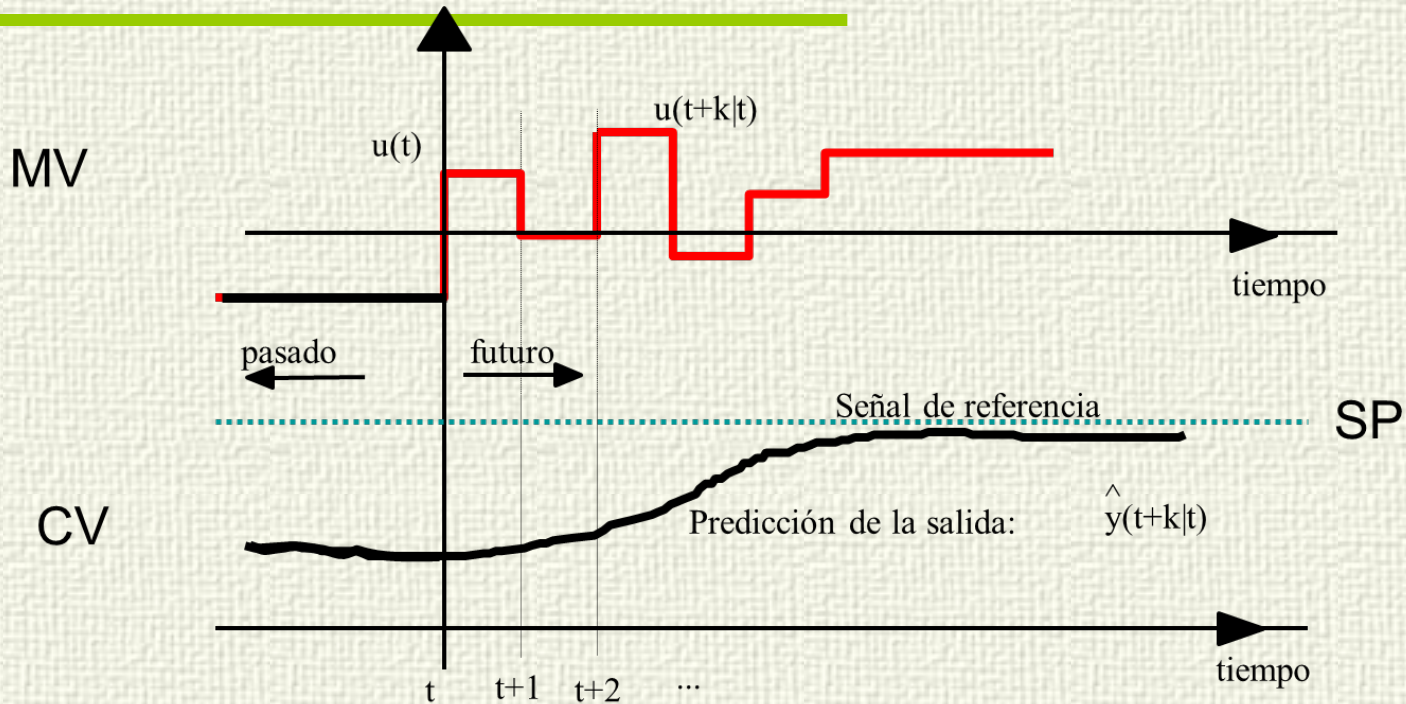
Función de costo económica:

(Flujo producto\*concentración\*precio -  
- materia prima\*precio -  
-Flujo refrigerante\*precio)\*  
tiempo





# Control Predictivo (MPC)



$$\min_{u(t), u(t+1), \dots} J = \sum_{j=N1}^{N2} [\hat{y}(t+j) - w(t+j)]^2 + \sum_{j=0}^{Nu-1} [\beta \Delta u(t+j)]^2$$

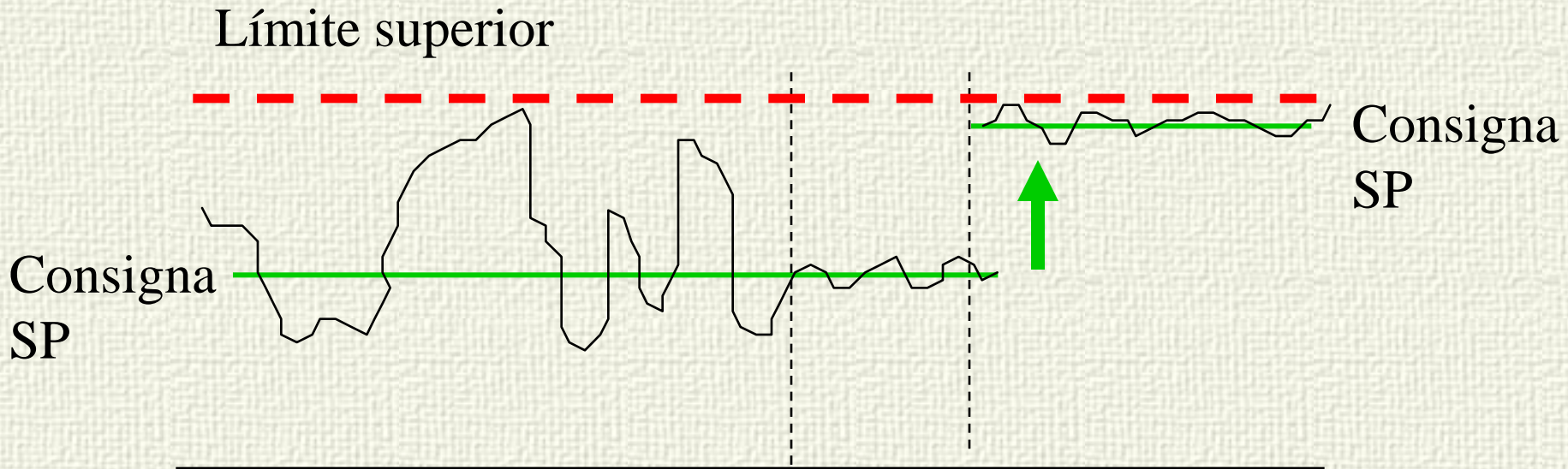
Modelo  
lineal:  
QP

Sujeto al modelo dinámico del proceso

Cumpliendo unas restricciones sobre las MV y CV (OP/PV)



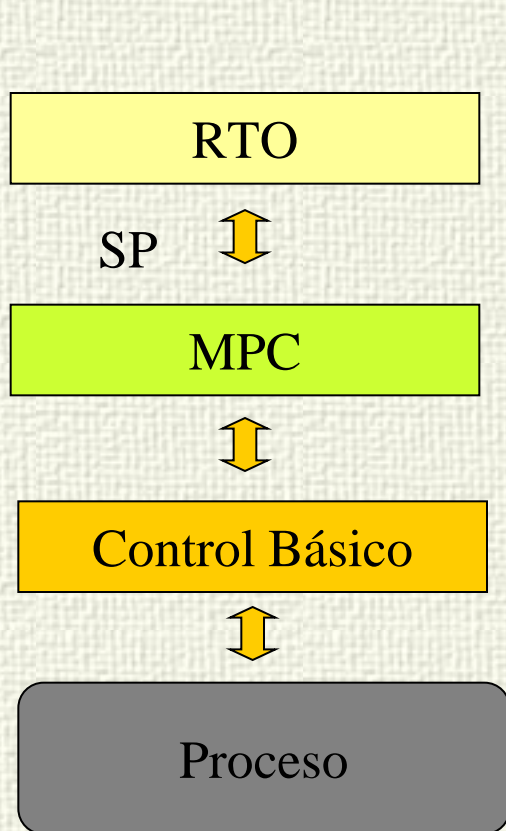
# Optimización económica y control



- Mejor control implica menor variabilidad en torno al valor de consigna  
➔ mejor calidad
- La reducción de varianza permite mover la consigna a otro punto de operación respetando las restricciones y creando espacio para la optimización

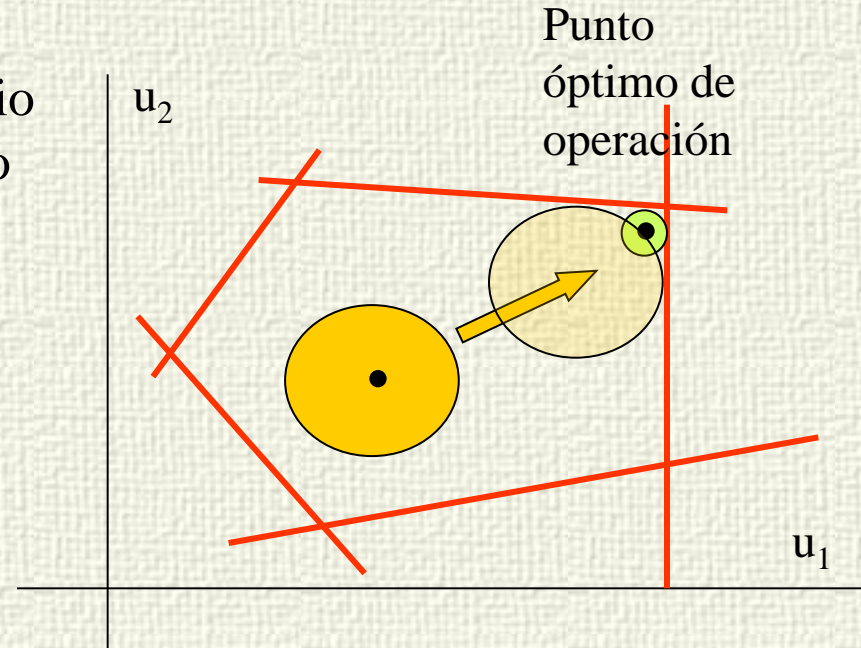


# Real Time Optimization (RTO)



Problema estacionario económico

Problema dinámico

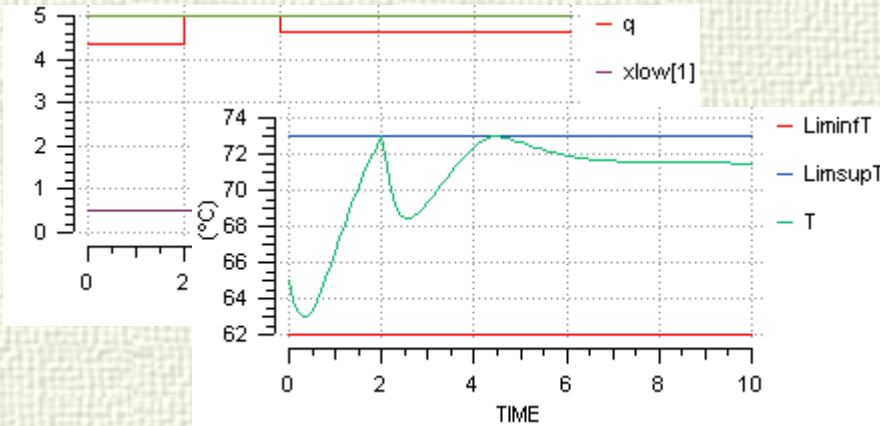


**RTO:** Modelos del proceso y especificaciones + software de optimización + implementación



# Transitorio óptimo

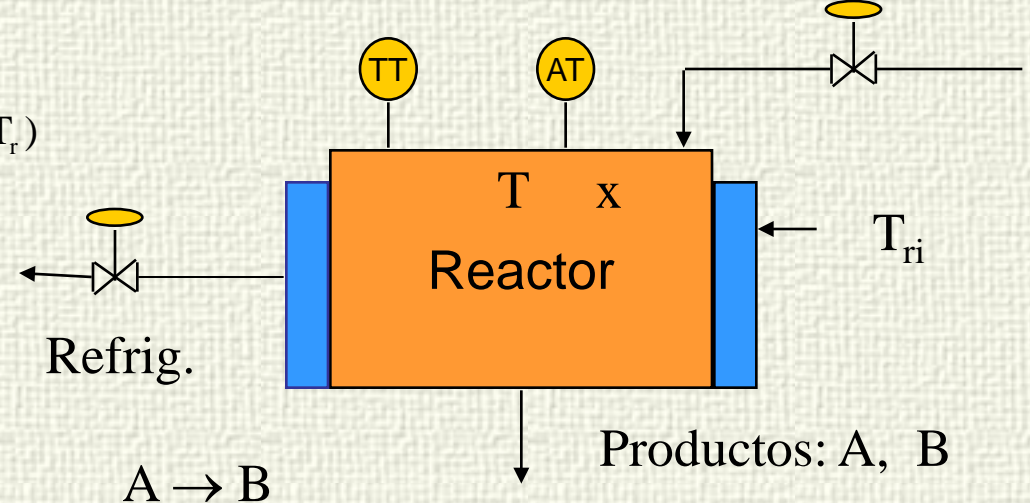
¿Como llegar al punto de operación óptimo en mínimo tiempo respetando las restricciones?



$$V\rho c_p \frac{dT}{dt} = q\rho c_p (T_i - T) + Vkc_A H - UA(T - T_r)$$

$$V_r \rho_r c_{pr} \frac{dT_r}{dt} = F_r \rho_r c_{pr} (T_{ri} - T_r) + UA(T - T_r)$$

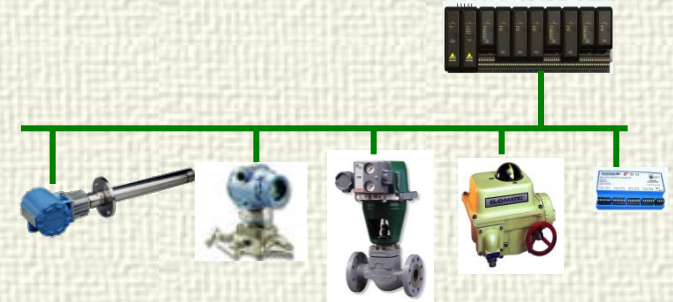
$$V \frac{dc_A}{dt} = q(c_{Ai} - c_A) - V\beta e^{-E/RT} c_A$$





# Operación y Control de procesos

- ✓ Del seguimiento de consignas y el rechazo de perturbaciones a operar una planta dinámicamente con un objetivo económico
- ✓ Operación óptima de procesos
- ✓ El desarrollo de este tipo de sistemas es complejo y a veces específico, pero hay herramientas y desarrollos que lo empiezan a hacer posible







# Optimización de planta completa



Recursos compartidos /  
Gestión de vapor, agua,..

Cuellos de botella

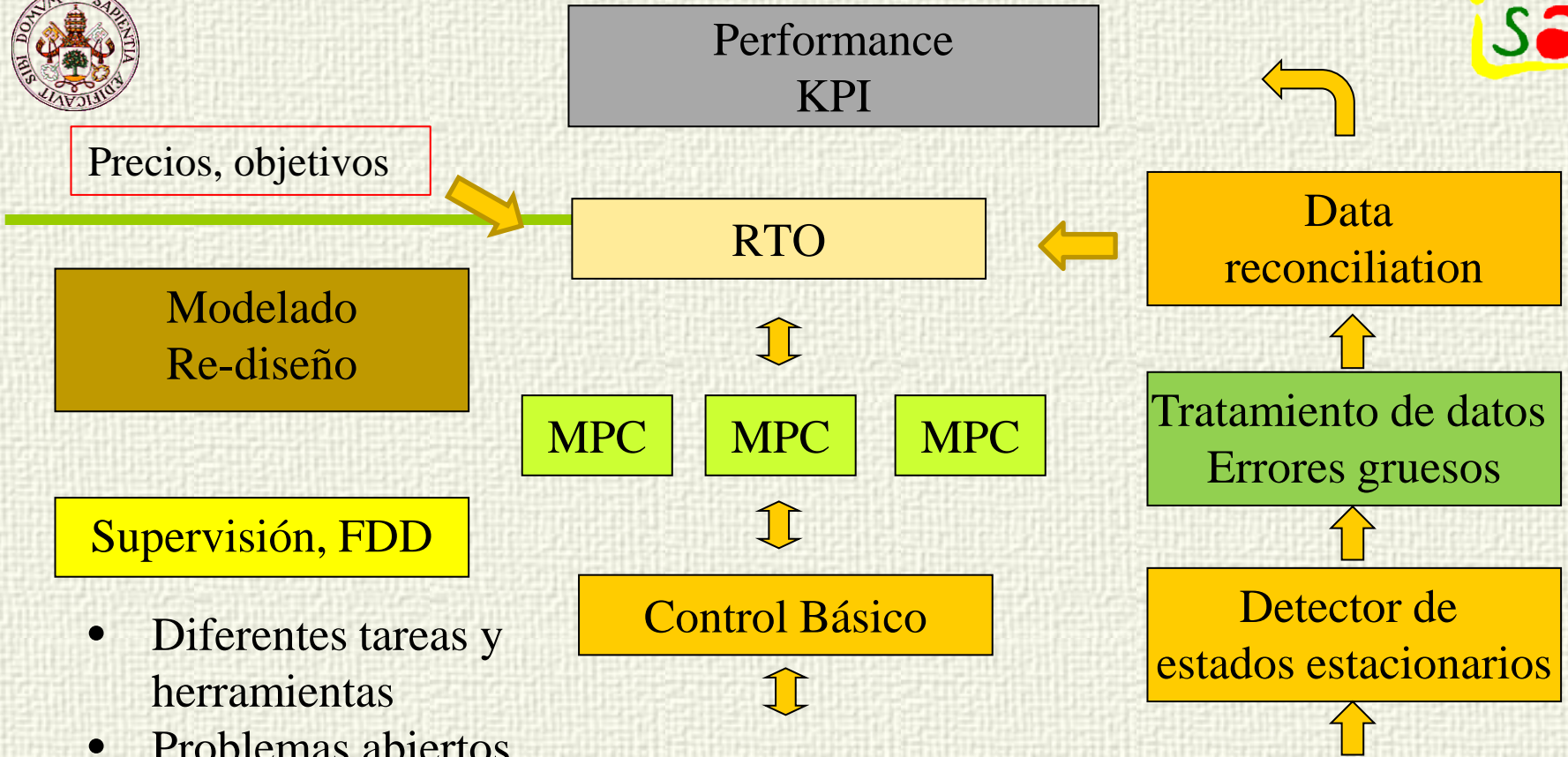
Ahorro energético

Transiciones suaves / rápidas

Scheduling de la producción

- ✓ Hay un gran potencial en la operación óptima (económica) de los procesos.
- ✓ Requiere una integración entre el análisis de la operación de los procesos, la toma de decisiones y su implementación.
- ✓ Los modelos (e incertidumbres) juegan un papel fundamental
- ✓ Control avanzado (MPC) y RTO son las herramientas clave
- ✓ Campo abierto para la cooperación industria-academia
- ✓ La aceptación industrial suele estar ligada a la existencia de referencias previas y a las expectativas de beneficio.





Supervisión, FDD

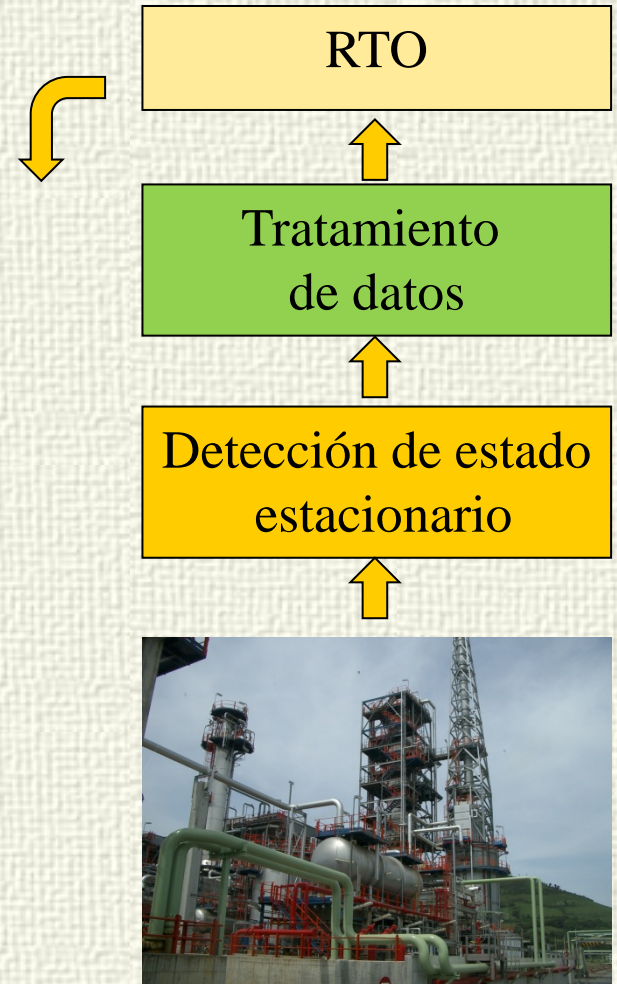
- Diferentes tareas y herramientas
- Problemas abiertos
- Entornos de diseño integrado
- Mantenimiento: Integración con el nivel MES
- Educación y entrenamiento





# Implementación

- ✓ Una implementación exitosa puede no ser sencilla y requiere conocimiento y experiencia
- ✓ El mantenimiento es el factor mas importante: Organización interna, integración con MES/ERP, tratamiento de datos, herramientas para supervisión y diagnóstico de MPC y RTO.
- ✓ Pocas herramientas para estimar ganancias y mejoras, KPI, así como entornos de diseño y generación de aplicaciones
- ✓ Falta de personal con buena formación (teoría + proceso), tanto en usuarios finales, como en suministradores, ingenierías y el mundo académico

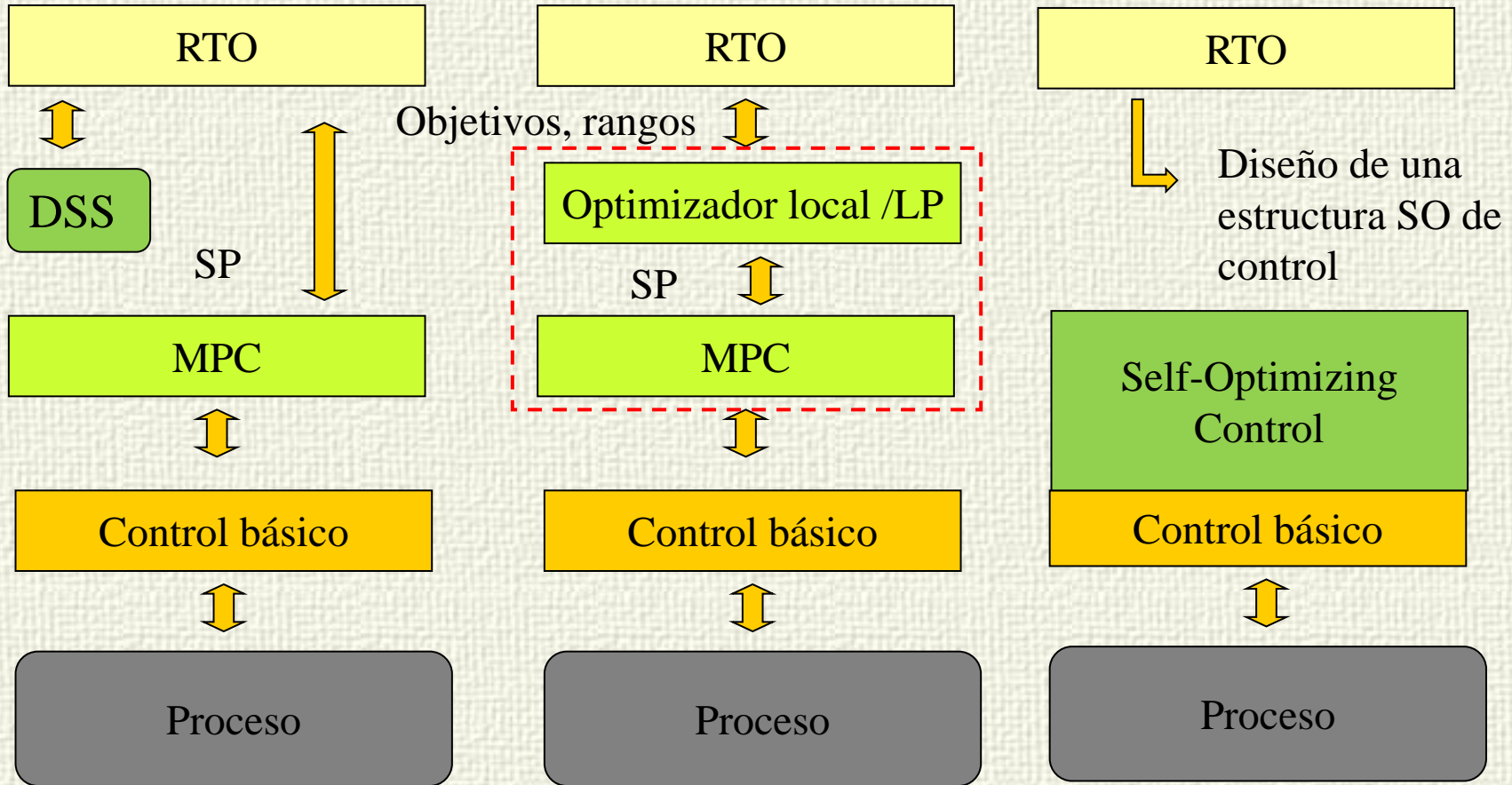




# Implementación de RTO

Planificación

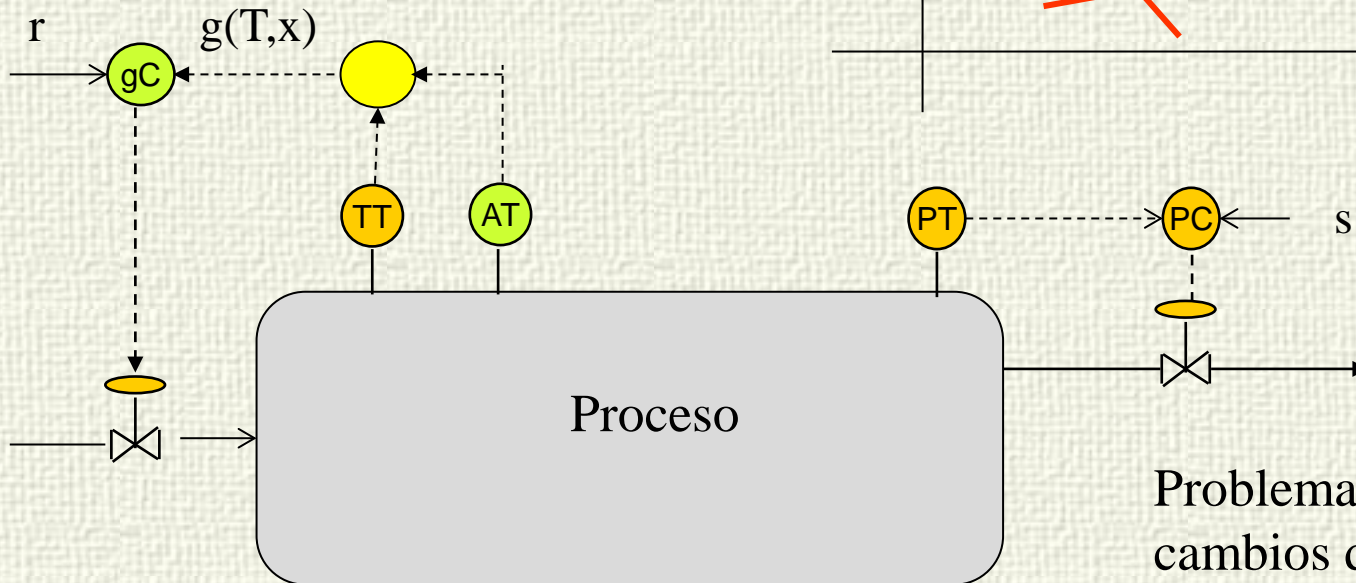
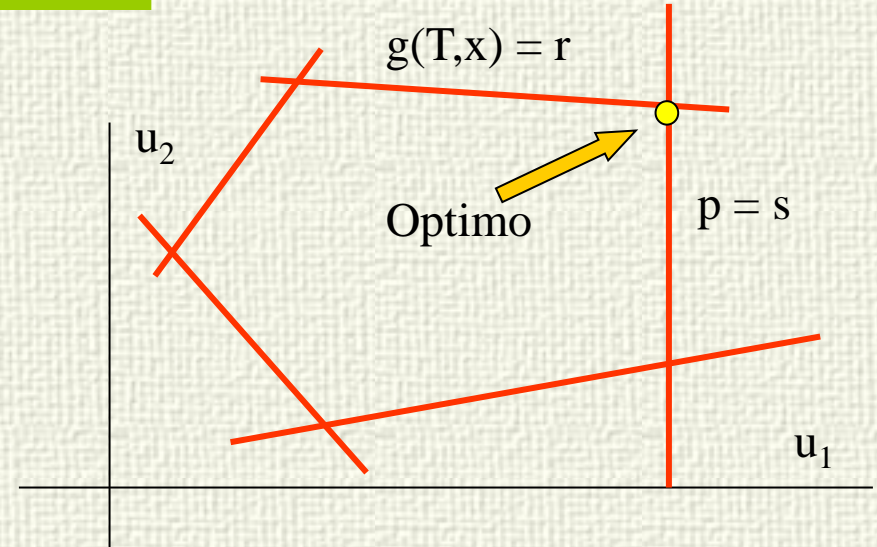
Producción





# Self-Optimizing Control SOC

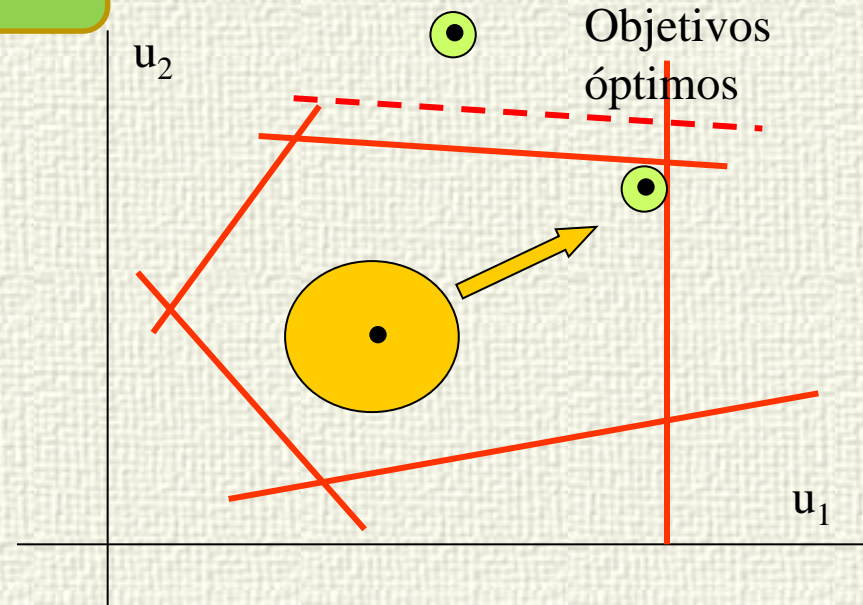
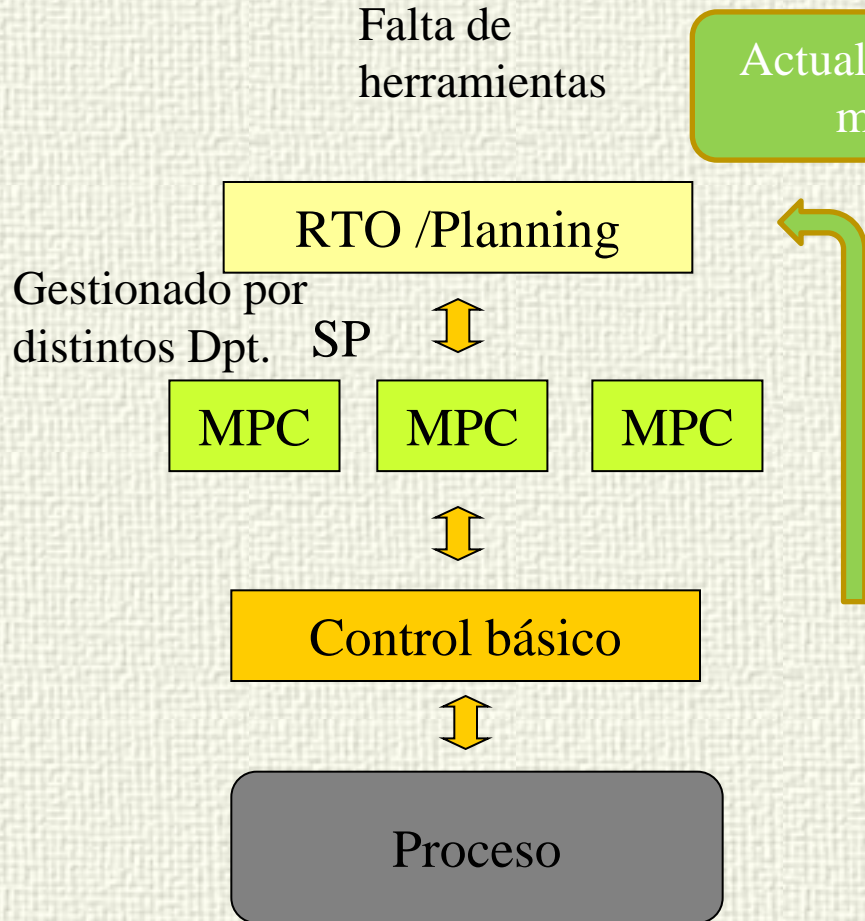
La estructura de control implementa la solución de la optimización



Problema con los cambios de restricciones activas 21



# Inconsistencias entre capas



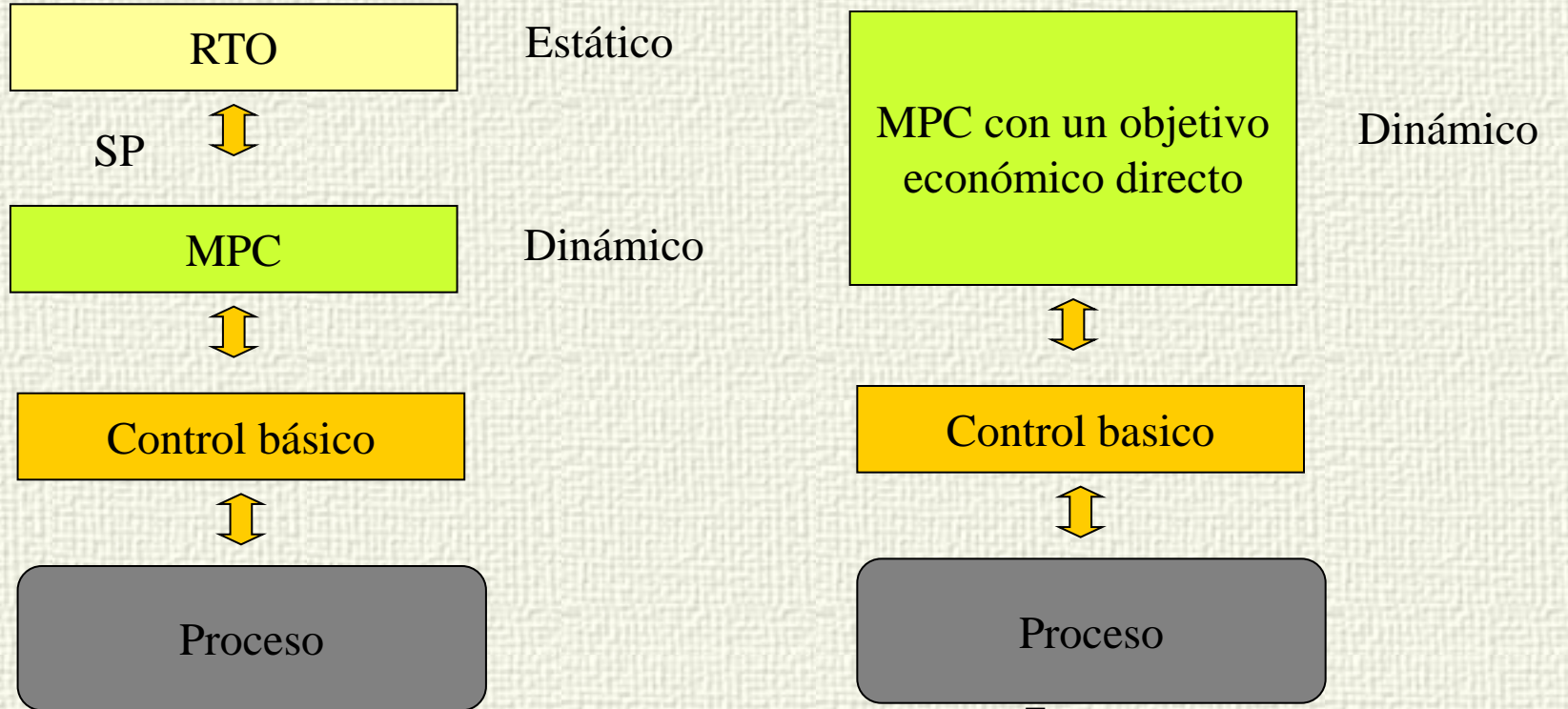
Diferentes modelos y restricciones en diferentes capas pueden generar objetivos a seguir equivocados o infactibles para la capa MPC



# Operación dinámica de procesos óptima (económica)



NMPC  
económico



$$\min_u J(x, u) \quad \min_u J = \int_0^T (x - SP)^2 dt$$

$$f(x, u) = 0 \quad F(\dot{x}, x, u) = 0$$

$$g(x, u) \leq 0 \quad g(x, u) \leq 0$$

$$\min_u J = \int_0^T L(x, u) dt \quad \text{Función de costo económica}$$

$$F(\dot{x}, x, u) = 0$$

$$g(x, u) \leq 0$$



# Dinámicas difíciles

$$\min_{u(t)} J = -P(t_f)$$

s. t.:

¿Como alimentar el reactor respetando restricciones y maximizando P en  $t_f$  ?

$$\dot{X} = \mu X - \sigma X$$

$$X(0) = X_0$$

$$\dot{S} = -\frac{\mu X}{Y_x} + \frac{\sigma X}{Y_s} + qS_{in}$$

$$S(0) = S_0$$

$$\dot{P} = vP$$

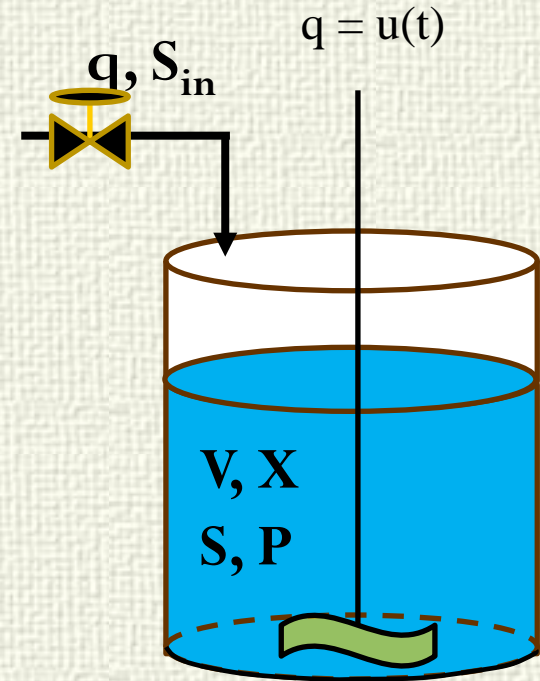
$$P(0) = P_0$$

$$\dot{V} = q$$

$$V(0) = V_0$$

$$\mu = \frac{\mu_m S}{K_m + S + \frac{S^2}{K_i}}$$

$$v = \frac{v_m S}{K_0 + S}$$



$$u(t) \in U$$

$$X(t) \leq X^{UP}$$

Restricción de camino



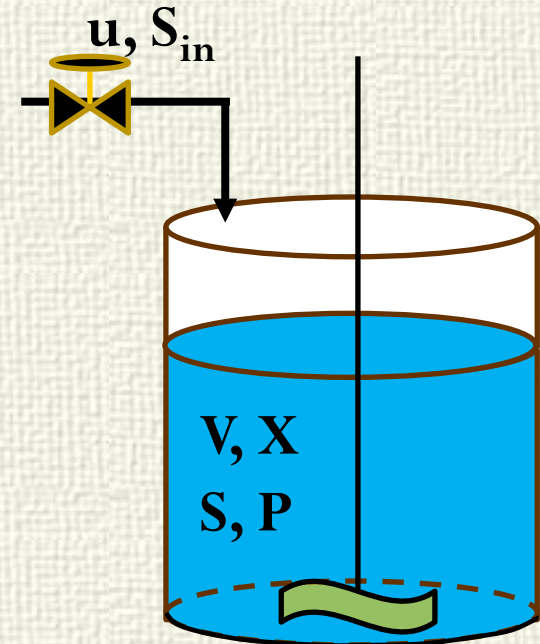
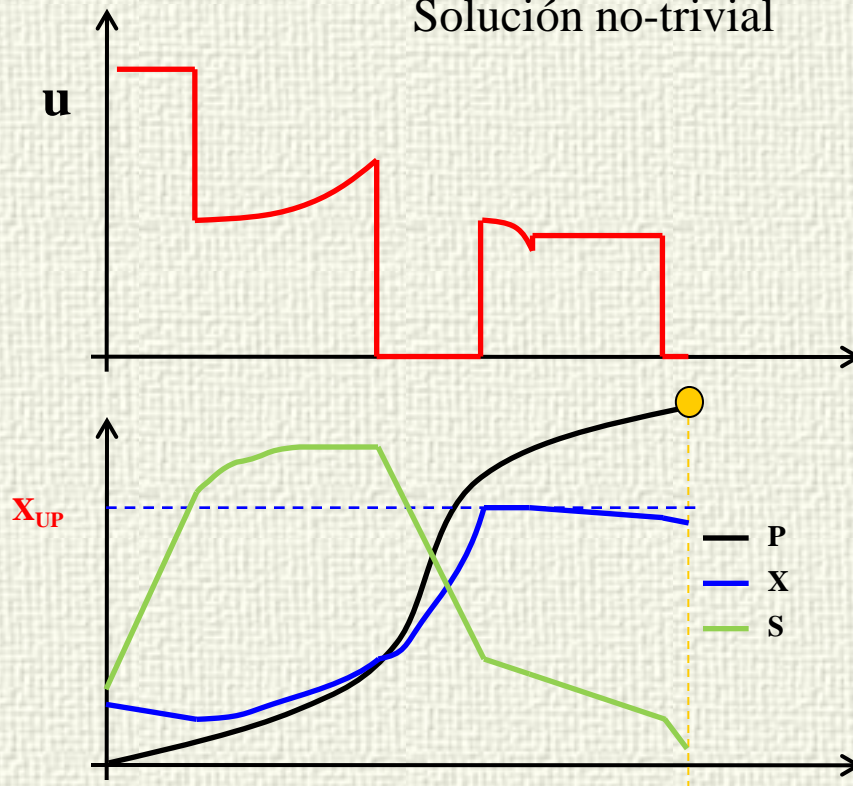


# Maximizar la producción de P en un tiempo dado



$$u(t) \in U$$

Solución no-trivial





# Optimización dinámica (DO)

$$\min_{\mathbf{u}(t), \mathbf{x}_0, t_f} J(\mathbf{u}) = \int_{t_0}^{t_f} L(\mathbf{x}, \mathbf{u}) dt$$

$$\frac{d\mathbf{x}}{dt} = \mathbf{f}(\mathbf{x}, \mathbf{u}, \mathbf{z}), \quad \mathbf{x}(t_0) = \mathbf{x}_0$$

$$\mathbf{h}(\mathbf{x}, \mathbf{u}, \mathbf{z}) = \mathbf{0}$$

$$\mathbf{g}(\mathbf{x}, \mathbf{u}, \mathbf{z}) \leq \mathbf{0}$$

DAE

✓ Muchos tipos:

- ✓ Problemas de valor inicial
- ✓ Problemas TPBV
- ✓ Problemas de tiempo mínimo
- ✓ DAE u ODE
- ✓ Híbridos
- ✓ Coste algebraico o integral
- ✓ ....

## Dynamic Optimization (DO)

Son problemas mas intensivos en cálculo que los NLP

Algunas de las restricciones son ecuaciones diferenciales

Las decisiones se toman a lo largo del tiempo



# Optimización dinámica

$$\min_u J(u) = \int_0^T L(x, u) dt$$

Función de coste J

x estados

$$F(\dot{x}, x, u) = 0$$

Modelo DAE

u variables

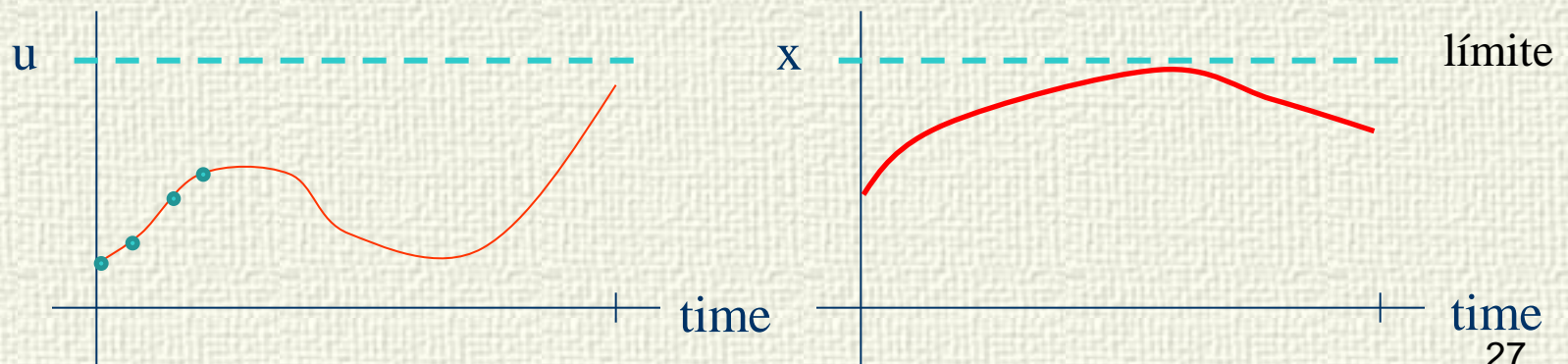
$$g(x, u) \leq 0$$

Restricciones

de decisión

**u** puede ser un conjunto de parámetros o un conjunto de variables que evolucionan a lo largo del tiempo

Dos problemas: Número infinito de variables de decisión y de restricciones





# Métodos de solución

$$\min_u J(u) = \int_0^T L(x, u) dt$$

$$F(\dot{x}, x, u) = 0$$

$$g(x, u) \leq 0$$

Función de coste J

Modelo DAE

Restricciones

x estados

u variables  
de decisión

## Métodos indirectos

Se calculan las condiciones necesarias de optimalidad mediante cálculo de variaciones



Problema de contorno en dos puntos

## Métodos Directos

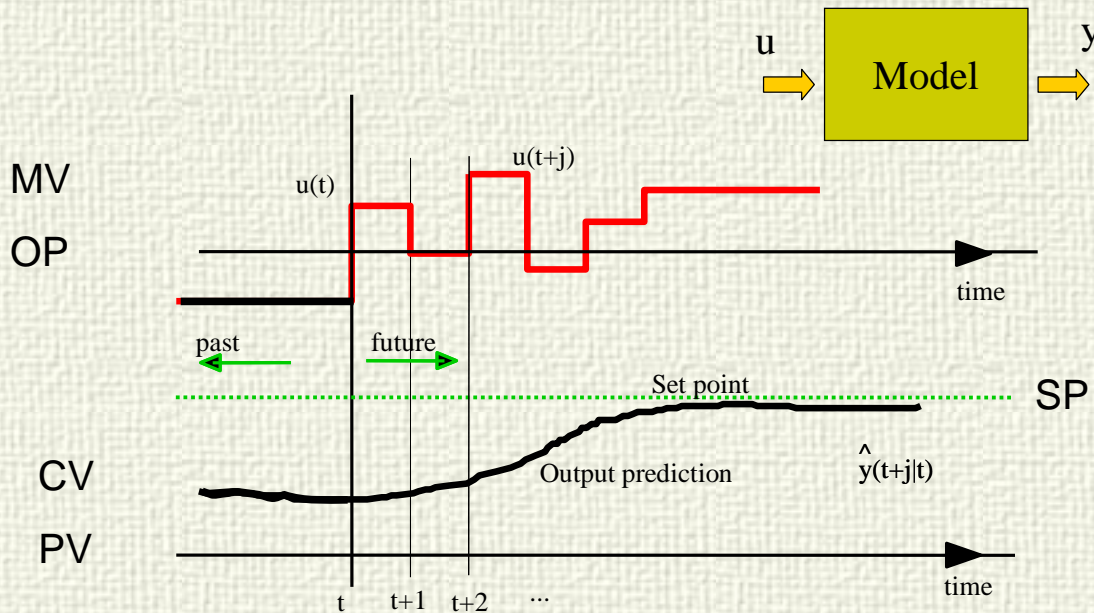
Se aproxima la solución mediante discretización de las variables dependientes del tiempo



Programación no-lineal NLP



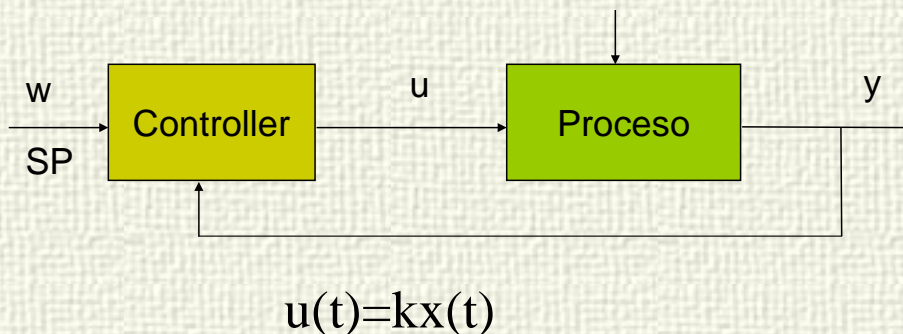
# MPC / Control óptimo



MPC **NO** es control óptimo

MPC: Se resuelve un problema de optimización en lazo abierto cada periodo de muestreo partiendo del estado actual

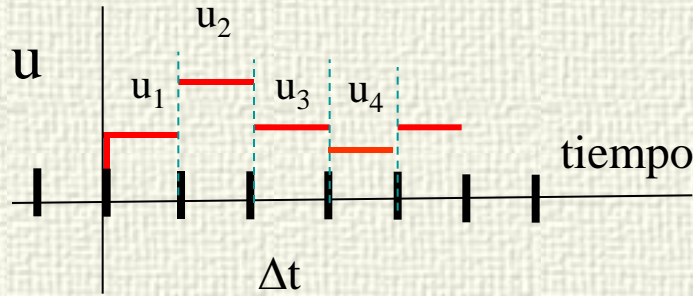
$u(t)$ ,  $u(t+1)$ ,  $u(t+2)$  se consideran variables independientes en el problema de optimización



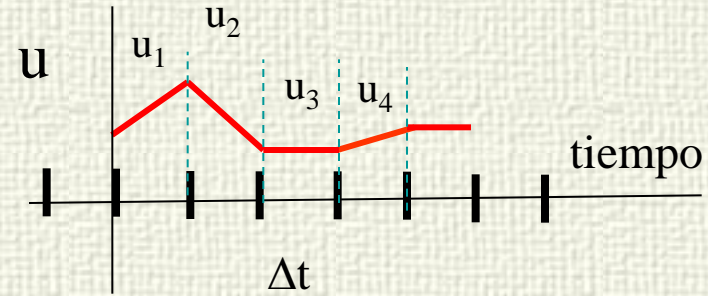
En control óptimo, las  $u(t+j)$  no son independientes y el objetivo es el cálculo de la ley de control ( $k$ )



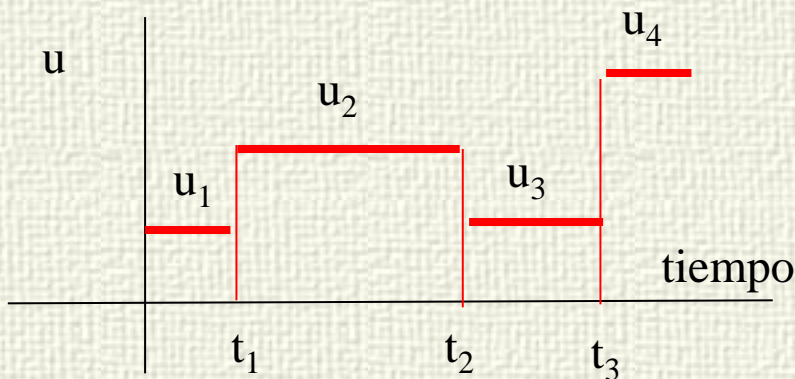
# Parametrización del vector de control (CVP)



$$u_i = p_i$$



$$u_i = p_i t + b_i$$



$$p_i = u_i, t_i$$

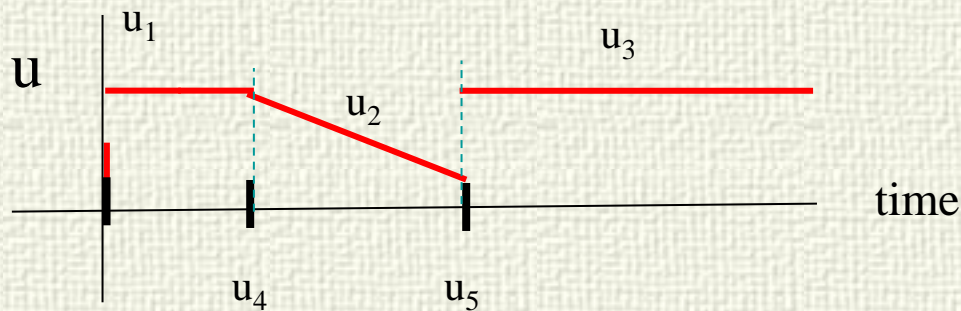
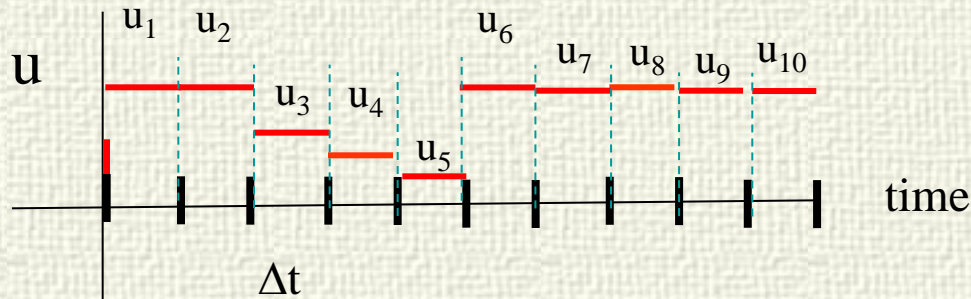
$$\min_p J(p) = \int_0^T L(x, u(p)) dt$$

$$F(\dot{x}, x, u(p)) = 0$$

$$g(x, u(p)) \leq 0$$



# Parametrización



1. Comenzar con una parametrización sencilla
2. Refinarla incrementando los parámetros hasta identificar patrones
3. Redefinir la parametrización en base a los patrones para reducir el número de parámetros



# Métodos de solución

Se aplica una  
parametrización  
 $u(p)$

$$\min_p J(p) = \int_0^T L(x, u(p)) dt$$

$$F(\dot{x}, x, u(p)) = 0$$

$$g(x, u(p)) \leq 0$$

→ NLP

## Enfoque secuencial

CVP mas resolver las  
ecuaciones DAE  
externamente  
mediante simulación

## Enfoque simultaneo

Convertir el problema en  
uno NLP de gran tamaño  
mediante su  
discretización total





# Enfoque secuencial

- ✓ El optimizador solo considera a  $p$  como variables de decisión del problema
- ✓ El modelo DAE se resuelve rigurosamente
- ✓ Dificultades con las restricciones de camino, el cálculo de gradientes y sistemas inestables

Optimizador NLP de  $J(u(p))$   
con respecto a  $p$



Valores de  
 $p$



Valores de  
 $J(u), g(u)$

Simulador dinámico que  
calcula los valores de  $x, z$   
solución del DAE, así como  
de  $J(x,u), g(x,u,z)$

$$\min_p J(p) = \int_0^T L(x, u(p)) dt$$

$$F(\dot{x}, x, u(p)) = 0$$

$$g(x, u(p)) \leq 0$$

Solución con  
software NLP

Múltiples llamadas al simulador desde el código NLP



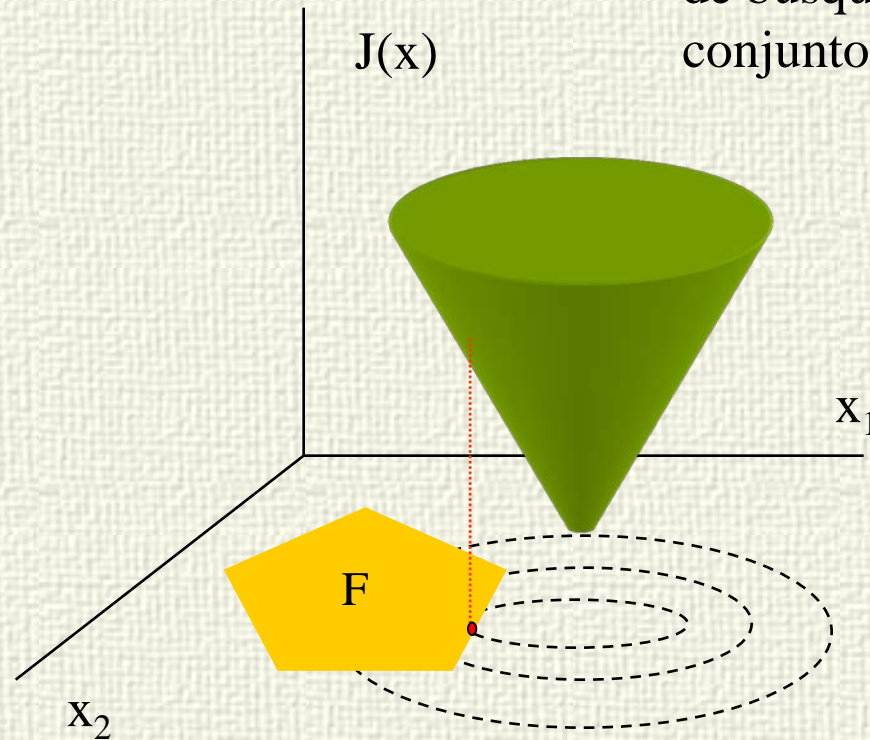
# Programación No Lineal NLP

$$\min_x J(\mathbf{x})$$

$$h_i(\mathbf{x}) = 0$$

$$g_j(\mathbf{x}) \leq 0$$

Las restricciones definen el espacio de búsqueda o conjunto factible  $F$





# Métodos NLP

**SQP** Sequential Quadratic Programming, resuelve numéricamente las condiciones KKT como una secuencia de problemas QP aproximados

$$\min_{\Delta \mathbf{x}} \nabla_{\mathbf{x}} L(\mathbf{x}_k, \boldsymbol{\lambda}_k, \boldsymbol{\mu}_k) \Delta \mathbf{x} + \frac{1}{2} \Delta \mathbf{x}' \nabla_{\mathbf{x}}^2 L(\mathbf{x}_k, \boldsymbol{\lambda}_k, \boldsymbol{\mu}_k) \Delta \mathbf{x}$$

$$\mathbf{h}(\mathbf{x}_k) + \nabla_{\mathbf{x}} \mathbf{h}(\mathbf{x}_k) \Delta \mathbf{x} = 0, \quad \mathbf{m} \leq \mathbf{x}_k + \Delta \mathbf{x} \leq \mathbf{M}$$

$$\mathbf{x}_{k+1} = \mathbf{x}_k + \sigma_k \Delta \mathbf{x}_k$$

$$\boldsymbol{\lambda}_{k+1} = \boldsymbol{\lambda}_k + \Delta \boldsymbol{\lambda}_k$$

$$\boldsymbol{\mu}_{k+1} = \boldsymbol{\mu}_k + \Delta \boldsymbol{\mu}_k$$

Códigos: NPSOL, SNOPT, MUSCOD-II, fmincon, NAG, ...



# Métodos NLP

**IP Interior Point** incorporan las restricciones de desigualdad como funciones de barrera y resuelve una secuencia de problemas KKT relajados, por Newton- Raphson

$$\begin{array}{ccc}
 \min_x J(\mathbf{x}) & \longrightarrow & \min_{\mathbf{x}, \boldsymbol{\varepsilon}} J(\mathbf{x}) \\
 \mathbf{h}(\mathbf{x}) = \mathbf{0} & & \mathbf{h}(\mathbf{x}) = \mathbf{0} \\
 \mathbf{g}(\mathbf{x}) \leq \mathbf{0} & & \mathbf{g}(\mathbf{x}) + \boldsymbol{\varepsilon} = \mathbf{0} \\
 & & \boldsymbol{\varepsilon} \geq \mathbf{0}
 \end{array}
 \longrightarrow
 \begin{array}{l}
 \min_{\mathbf{x}, \boldsymbol{\varepsilon}} J(\mathbf{x}) - \eta \sum_{i=1}^{n_\varepsilon} \ln(\varepsilon_i) \\
 \mathbf{h}(\mathbf{x}) = \mathbf{0} \\
 \mathbf{g}(\mathbf{x}) + \boldsymbol{\varepsilon} = \mathbf{0}
 \end{array}$$

Secuencia de problemas con  $\eta \rightarrow 0$  en cada uno de los cuales se resuelven por Newton las condiciones KKT relajadas:  
Códigos: IPOPT, KNITRO,...

$$\begin{array}{l}
 \nabla_x J(\mathbf{x}) + \boldsymbol{\lambda}' \nabla_x \mathbf{c}(\mathbf{z}) - \mathbf{v}' = \mathbf{0} \\
 \mathbf{c}(\mathbf{z}) = \mathbf{0} \\
 \mathbf{X}\mathbf{v} = \eta \mathbf{e}
 \end{array}$$

$$\mathbf{c}(\mathbf{z}) = \begin{bmatrix} \mathbf{h}(\mathbf{x}) \\ \mathbf{g}(\mathbf{x}) + \boldsymbol{\varepsilon} \end{bmatrix}$$



# Sensibilidad del óptimo

$$\min_x J(\mathbf{x})$$

$$\mathbf{h}(\mathbf{x}) = \mathbf{b}$$

$$\mathbf{g}(\mathbf{x}) \leq \mathbf{c}$$

Los multiplicadores de Lagrange  $\lambda$ ,  $\mu$  proporcionan la sensibilidad de la solución óptima  $J^*$  respecto a cambios en las restricciones:

$$\frac{\partial J(\mathbf{x}^*)}{\partial \mathbf{b}} = -\boldsymbol{\lambda}^*, \quad \frac{\partial J(\mathbf{x}^*)}{\partial \mathbf{c}} = -\boldsymbol{\mu}^*,$$

Estos valores nos permiten calcular como se modifica el valor del óptimo cuando se relajan en una unidad las restricciones, lo cual puede ser importante en la toma de decisiones



# Software

```
gams: C:\Users\cesar\Documents\gams\dir\proj\dir\proj.gpr
File Edit Search Window Utilities Model Libraries Help
C:\Users\cesar\Documents\gams\dir\proj\dir\proj.gpr
caldera.gms caldera.lis
Variables
z funcion objetivo:
Positive Variables
x1, x2, x3:
Equations
energia define la funcion objetivo
potencia energia producida por hora
emisiones limite de emisiones:
energia.. z =e= 55*x1 + 41*x2 + 28*x3;
potencia.. 61*x1 + 45*x2 + 39*x3 =e= 14.4;
emisiones.. -2.18*x1 - 2.05*x2 + 0.3*x3 =l= 0;
Model caldera /all/;
Solve caldera using lp minimizing z;
Display x1.l, x2.l, x3.l;
No active process
caldera
--- caldera.gms(22) 3 Mb
--- 3 rows 4 columns 10 non-zeros
--- Executing CPLEX: elapsed 0:00:00.066
IBM ILOG CPLEX Jul 4, 2012 23:05.5 VEZ 36376.36401 VEZ x86_64/MS Windows
Cplex 12.4.0.1
Reading data...
Starting Cplex...
Tried aggregator 1 time.
IP Preolve eliminated 1 rows and 1 columns.
Reduced LP has 2 rows, 3 columns, and 6 nonzeros.
Preolve time = 0.00 sec.
Iteration Dual Objective In Variable Our Variable
1 10.610526 x3 potencia artif
2 10.981102 x2 emisiones slack
LP status(1): optimal
Optimal solution found.
Objective : 10.981102
--- Restarting execution
--- caldera.gms(22) 3 Mb
--- Reading solution for model caldera
--- Executing after solve: elapsed 0:00:00.310
--- caldera.gms(24) 3 Mb
*** Status: Normal completion
--- Job caldera.gms Stop 11/19/12 17:06:32 elapsed 0:00:00.323
Close Open Log Summary only Update
```

Librerías con solvers que pueden integrarse con otras aplicaciones:

NAG, CPLEX, IMSL, TOMLAB, Optimization Toolbox, WORHP,...

Requieren los gradientes o los calculan por diferencias finitas

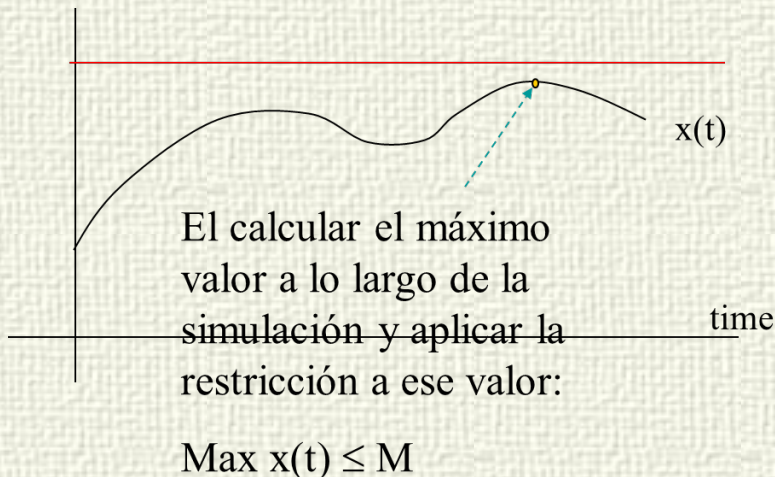
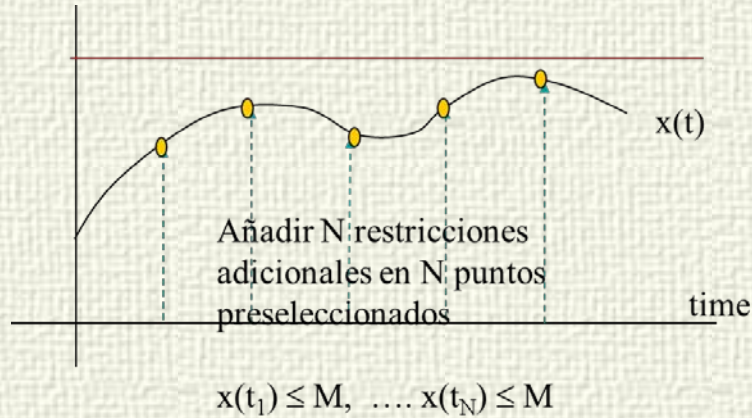
Entornos de modelado y optimización  
GAMS, AIMMS, XPRESS, Gurobi,...

Fáciles de usar, muchos solvers disponibles,  
**calcula de derivadas automático**, pero  
pocas facilidades de comunicación externa

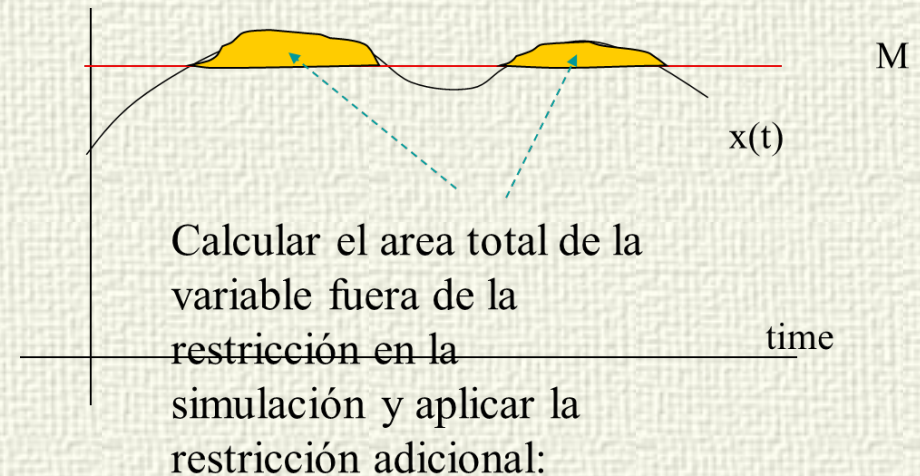


# Restricciones de camino

## Path Constraints



## Diversas estrategias



$$\text{Area}(x) \leq 0$$

$$\int_0^T \max(0, x - M) dt \leq 0$$



# Gradientes (Sistemas continuos)

$$\min_p J(p) = \int_0^T L(x, u(p)) dt$$

$$F(\dot{x}, x, u(p)) = 0$$

$$g(x, u(p)) \leq 0$$

$u(p)$   $p$  parámetros libres

En general, problemas densos para los que los métodos SQP son adecuados

SQP y otros algoritmos NLP necesitan calcular los gradientes de la función de costo y las restricciones respecto a las variables de decisión

## Métodos

- ✓ Diferencias finitas
- ✓ Ecuaciones de sensibilidad / Sistema adjunto
- ✓ Diferenciación automática, Simbólica, Notación polaca inversa





# Ecuaciones de sensibilidad

$$\min_p J(p) = \int_0^T L(x, u(p)) dt$$

$$F(\dot{x}, x, u(p)) = 0$$

$$g(x, u(p)) \leq 0$$

$u(p)$   $p$  parámetros libres:  
variables de decisión

Cálculo de sensibilidades

$$s = \frac{\partial x}{\partial p} \quad \text{sensitivity}$$

$$\frac{dJ}{dp_i} = \int_0^T \left( \frac{\partial L}{\partial x} \frac{\partial x}{\partial p_i} + \frac{\partial L}{\partial u} \frac{\partial u}{\partial p_i} \right) dt$$

$$\frac{\partial F}{\partial \dot{x}} \frac{\partial \dot{x}}{\partial p_i} = \frac{\partial F}{\partial \dot{x}} \frac{d}{dt} \frac{\partial x}{\partial p_i} = \frac{\partial F}{\partial x} \frac{\partial x}{\partial p_i} + \frac{\partial F}{\partial u} \frac{\partial u}{\partial p_i}$$

Conjunto de ecuaciones  
diferenciales lineales de  
primer orden en  $s$



# Sistema extendido

$$s = \frac{\partial x}{\partial p}$$

$$\frac{\partial F}{\partial \dot{x}} \frac{ds_i}{dt} + \frac{\partial F}{\partial x} s_i + \frac{\partial F}{\partial u} \frac{\partial u}{\partial p_i} = 0$$
$$F(\dot{x}, x, u) = 0$$

- ✓ ODEs de primer orden en  $s$ .
- ✓ Las sensibilidades pueden obtenerse integrando el sistema extendido
- ✓ Muchas ecuaciones ( $n_x n_p + n_F$ ) pero las ecuaciones de sensibilidad tienen el mismo Jacobiano que el sistema original  $F$

Se puede hacer un cálculo eficiente de las sensibilidades reusando el Jacobiano  $\partial F / \partial x$  que se usa en la integración del sistema original

Diferenciación Automática para el cálculo del Jacobiano

Pueden usarse DASPK 3.0, IDAS,... como algoritmos de integración para obtener las sensibilidades en línea.



# Integración del sistema extendido



$$\frac{\partial F}{\partial \dot{x}} \frac{ds_i}{dt} + \frac{\partial F}{\partial x} s_i + \frac{\partial F}{\partial u} \frac{\partial u}{\partial p_i} = 0$$

$$F(\dot{x}, x, u) = 0 \quad s(0) = 0$$

Tras un paso de integración del DAE, todos los parámetros (tamaño del paso,...) se congelan y se calculan las sensibilidades para ese paso.

Los métodos por etapas permiten usar distintos criterios de error en el DAE y en las ecuaciones de sensibilidad.

**Simultaneous corrector:**

Las ecuaciones del modelo y sensibilidad se integran conjunta y simultáneamente.

**Staggered methods:**

Primero se integran las ecuaciones del modelo y luego las de sensibilidad

**Staggered direct:** La factorización del Jacobiano se hace cada paso.

**Staggered corrector:** La factorización del Jacobiano se hace cuando se necesita



# Sensibilidades Adjoint method

$$\begin{aligned} \min_u \quad & J(u) = \int_0^T L(x, u) dt \\ & F(\dot{x}, x, u) = 0 \\ & g(x, u) \leq 0 \end{aligned}$$

El cálculo de las sensibilidades usando la integración del sistema extendido (Forward method) no es eficiente cuando la dimensión de  $u$ ,  $n_u$ , es alta.

En muchos casos el interés directo no es el cálculo de las sensibilidades  $s = \frac{\partial x}{\partial u}$

sino el gradiente de una variable  $J(u)$

$$\frac{dJ}{du} = \int_0^T \left( \frac{\partial L}{\partial x} \frac{\partial x}{\partial u} + \frac{\partial L}{\partial u} \right) dt \quad \text{No depende de } t$$

En el caso de cálculo de la sensibilidad de una variable (independiente de  $t$ ) respecto a un número de parámetros alto, es mejor usar el método del sistema adjunto (Adjoint method)



# Método del sistema adjunto

Dadas las ecuaciones

$$J(u) = \int_0^T L(x, u) dt$$

$$F(\dot{x}, x, u) = 0$$

Se puede definir la función:

$$L(x, u) = J(u) - \int_0^T \lambda^* F(\dot{x}, x, u) dt$$

como  $F(\dot{x}, x, u) = 0$

$$\frac{dL}{du} = \frac{dJ}{du} = \int_0^T \left( \frac{\partial L}{\partial x} \frac{\partial x}{\partial u} + \frac{\partial L}{\partial u} \right) dt - \int_0^T \lambda^* \left( \frac{\partial F}{\partial u} + \frac{\partial F}{\partial x} \frac{\partial x}{\partial u} + \frac{\partial F}{\partial \dot{x}} \frac{\partial \dot{x}}{\partial u} \right) dt$$

Integrando por partes el término

$$\int_0^T \lambda^* \left( \frac{\partial F}{\partial \dot{x}} \frac{\partial \dot{x}}{\partial u} \right) dt = \lambda^* \left. \frac{\partial F}{\partial \dot{x}} \frac{\partial x}{\partial u} \right|_0^T - \int_0^T \frac{d}{dt} \left( \lambda^* \frac{\partial F}{\partial \dot{x}} \right) \frac{\partial x}{\partial u} dt$$

Con  $u = \lambda^* \left. \frac{\partial F}{\partial \dot{x}} \right|$        $dv = \frac{\partial \dot{x}}{\partial u} dt$       Resulta:



# Método del sistema adjunto

$$\frac{dJ}{du} = \int_0^T \left( \frac{\partial L}{\partial u} - \lambda^* \frac{\partial F}{\partial u} \right) dt - \int_0^T \left( -\frac{\partial L}{\partial x} + \lambda^* \frac{\partial F}{\partial x} - \frac{d}{dt} \left( \lambda^* \frac{\partial F}{\partial \dot{x}} \right) \right) \frac{\partial x}{\partial u} dt - \left( \lambda^* \frac{\partial F}{\partial \dot{x}} \frac{\partial x}{\partial u} \right) \Big|_T + \left( \lambda^* \frac{\partial F}{\partial \dot{x}} \frac{\partial x}{\partial u} \right) \Big|_0$$

Selecting  $\lambda$   
such that

$$\lambda^* \frac{\partial F}{\partial \dot{x}} \Big|_{t=T} = 0$$

$$-\frac{\partial L}{\partial x} + \lambda^* \frac{\partial F}{\partial x} - \frac{d}{dt} \left( \lambda^* \frac{\partial F}{\partial \dot{x}} \right) = 0$$

*Sistema adjunto*

Integrando el modelo pueden obtenerse valores para integrar el sistema adjunto y con los valores de  $\lambda$  calcular el gradiente deseado. Nótese que  $\partial x / \partial u = 0$  en  $t = 0$ . El problema se resuelve integrando el sistema adjunto hacia atrás en el tiempo con condición inicial dada en  $t = T$  (para DAEs de orden 0 y 1)

$$\frac{dJ}{du} = \int_0^T \left( \frac{\partial L}{\partial u} - \lambda^* \frac{\partial F}{\partial u} \right) dt$$



# Aumented adjoint system

$$-\frac{\partial L}{\partial \mathbf{x}} + \lambda^* \frac{\partial F}{\partial \mathbf{x}} - \frac{d}{dt} \left( \lambda^* \frac{\partial F}{\partial \dot{\mathbf{x}}} \right) = 0 \quad \lambda^* \frac{\partial F}{\partial \dot{\mathbf{x}}} \Big|_{t=T} = 0$$

El sistema adjunto aumentado se define a partir de

$$\varphi = \lambda \frac{\partial F^*}{\partial \dot{\mathbf{x}}}$$

como:

$$\begin{aligned} \frac{d\varphi}{dt} - \frac{\partial F^*}{\partial \mathbf{x}} \lambda &= -\frac{\partial L^*}{\partial \mathbf{x}} \\ \varphi - \frac{\partial F^*}{\partial \dot{\mathbf{x}}} \lambda &= 0 \end{aligned}$$

Y tiene la ventaja de que si el DAE original de orden 0 o 1, es estable, el sistema adjunto aumentado para  $\varphi$  también lo es al integrar hacia atrás en el tiempo a partir de  $t = T$ . Se resuelve igualmente a partir de la condición inicial  $\varphi(T) = 0$



# Jacobiano

$$F(\dot{\mathbf{x}}, \mathbf{x}, \mathbf{u}) = 0 \quad \text{Jacobiano} = \begin{bmatrix} \frac{\partial F}{\partial \dot{\mathbf{x}}} & \frac{\partial F}{\partial \mathbf{x}} \end{bmatrix}$$

Se necesita el Jacobiano del sistema dinámico para el cálculo de las sensibilidades

$$\frac{\partial F}{\partial \dot{\mathbf{x}}} \frac{ds_i}{dt} + \frac{\partial F}{\partial \mathbf{x}} s_i + \frac{\partial F}{\partial \mathbf{u}} \frac{\partial \mathbf{u}}{\partial p_i} = 0$$

O para linealizar el sistema

$$\frac{\partial F}{\partial \dot{\mathbf{x}}} \frac{d\Delta \mathbf{x}}{dt} + \frac{\partial F}{\partial \mathbf{x}} \Delta \mathbf{x} + \frac{\partial F}{\partial \mathbf{u}} \Delta \mathbf{u} = 0$$





# Example: Chemical Reactor



$$\text{Max } J = q c_B$$

$$V \frac{dc_A}{dt} = q(c_{Ai} - c_A) - V\beta e^{-E/RT} c_A$$

$$V\rho c_p \frac{dT}{dt} = q\rho c_p (T_i - T) - Vkc_A H - UA(T - T_r)$$

$$V_r \rho_r c_{pr} \frac{dT_r}{dt} = F_r \rho_r c_{pr} (T_{ri} - T_r) + UA(T - T_r)$$

$$c_B = c_{Ai} - c_A$$

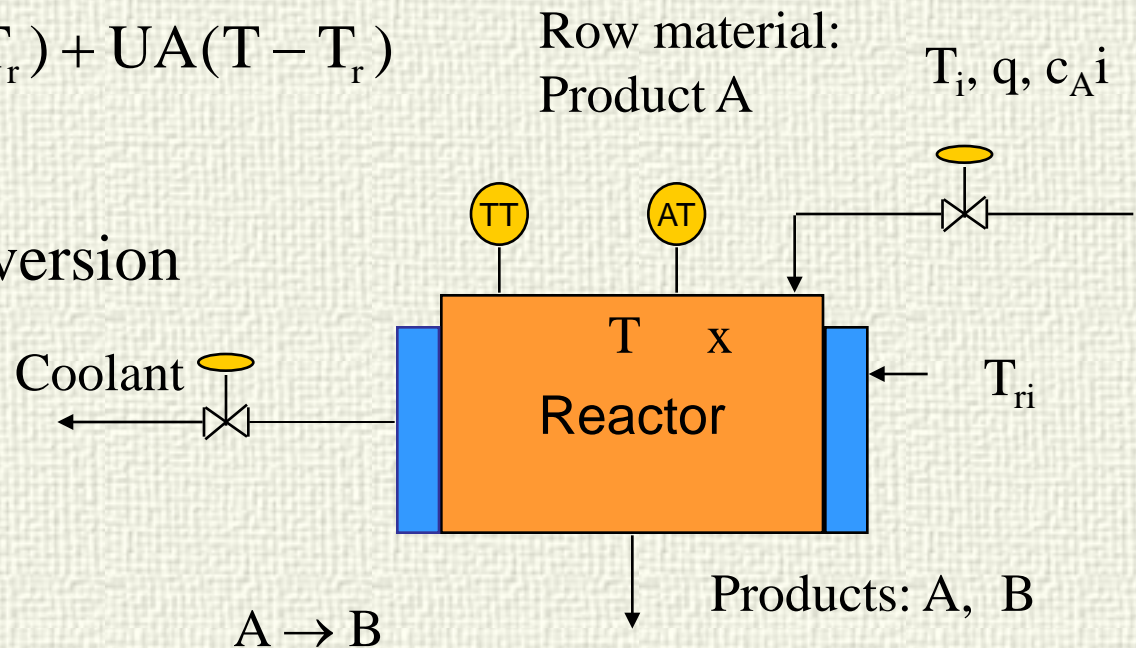
$$x = c_B / c_{Ai} \quad x \text{ conversion}$$

$$T_{\min} \leq T \leq T_{\max}$$

$$x_{\min} \leq x \leq 1$$

$$q_{\min} \leq q \leq q_{\max}$$

$$F_{r\min} \leq F_r \leq F_{r\max}$$





# Jacobiano

$$V \frac{dc_A}{dt} = q(c_{Ai} - c_A) - Vkc_A$$

$$k = \beta e^{-E/R(T+273.14)}$$

$$V\rho c_p \frac{dT}{dt} = q\rho c_p (T_i - T) - Vkc_A H - UA(T - T_r)$$

$$V_r \rho_r c_{pr} \frac{dT_r}{dt} = F_r \rho_r c_{pr} (T_{ri} - T_r) + UA(T - T_r)$$

$$\left[ \frac{\partial F}{\partial \dot{x}} \right]^{-1} \frac{\partial F}{\partial x} = \begin{bmatrix} \frac{q}{V} + k & \frac{c_A k E}{R(T + 273.14)^2} & 0 \\ \frac{kH}{\rho c_p} & \frac{q}{V} + \frac{UA}{V\rho c_p} + \frac{c_A H k E}{\rho c_p R(T + 273.14)^2} & -\frac{UA}{V\rho c_p} \\ 0 & \frac{-UA}{V_r \rho_r c_{pr}} & \frac{F_r}{V_r} + \frac{UA}{V_r \rho_r c_{pr}} \end{bmatrix}$$



# Jacobiano



$$V \frac{dc_A}{dt} = q(c_{Ai} - c_A) - Vkc_A$$

$$k = \beta e^{-E/R(T+273.14)}$$

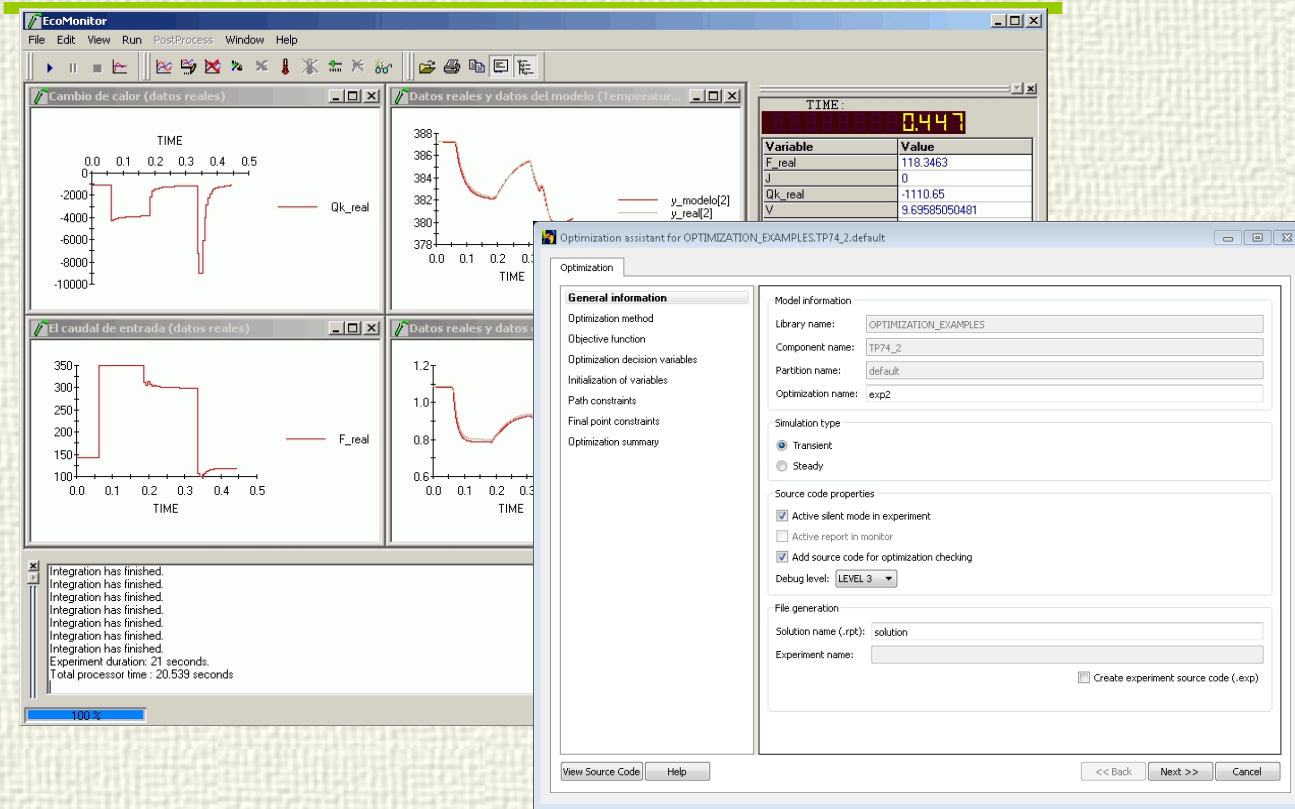
$$V\rho c_p \frac{dT}{dt} = q\rho c_p (T_i - T) - Vkc_A H - UA(T - T_r)$$

$$V_r \rho_r c_{pr} \frac{dT_r}{dt} = F_r \rho_r c_{pr} (T_{ri} - T_r) + UA(T - T_r)$$

$$\left[ \frac{\partial F}{\partial \dot{x}} \right]^{-1} \frac{\partial F}{\partial u} = \begin{bmatrix} 0 & \frac{c_A - c_{Ai}}{V} \\ 0 & \frac{T - T_i}{V} \\ \frac{T_r - T_{ri}}{V_r} & 0 \end{bmatrix}$$



# Software



Entornos de simulación unidos a solvers NLP

Asistentes para la definición del problema y generación automática de código de optimización

EcosimPro, gProms, Dymola,..

Muy importante el cálculo de sensibilidades para la calidad de la solución.  
Errores relativos Simulación / Optimización



# Ejemplo: Reactor químico

$$\text{Max } J = q c_B$$

$$V \frac{dc_A}{dt} = q(c_{Ai} - c_A) - V\beta e^{-E/RT} c_A$$

$$V\rho c_p \frac{dT}{dt} = q\rho c_p (T_i - T) - Vkc_A H - UA(T - T_r)$$

$$V_r \rho_r c_{pr} \frac{dT_r}{dt} = F_r \rho_r c_{pr} (T_{ri} - T_r) + UA(T - T_r)$$

$$c_B = c_{Ai} - c_A$$

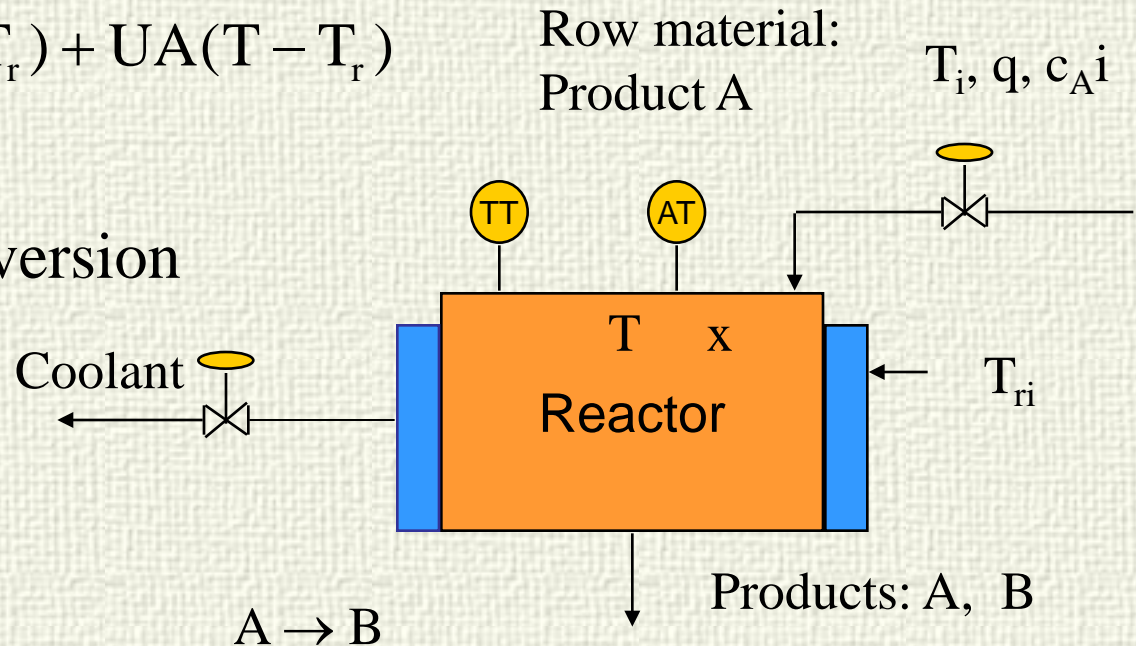
$$x = c_B / c_{Ai} \quad x \text{ conversion}$$

$$T_{\min} \leq T \leq T_{\max}$$

$$x_{\min} \leq x \leq 1$$

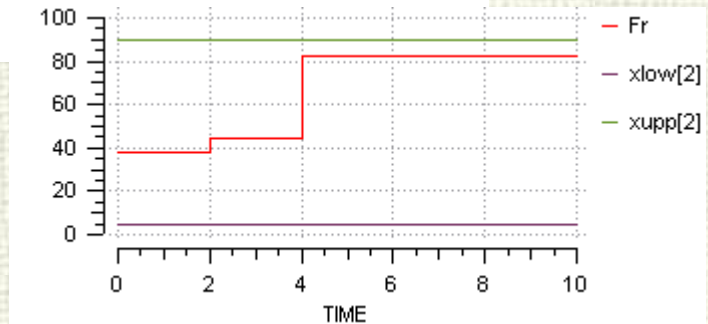
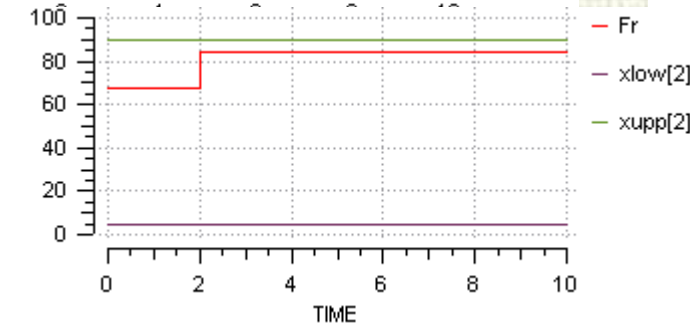
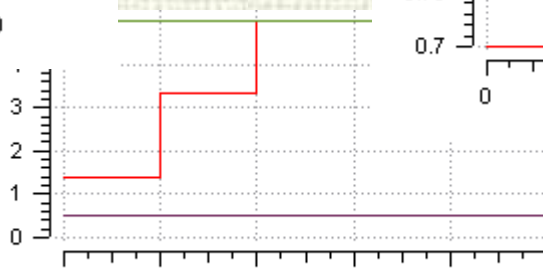
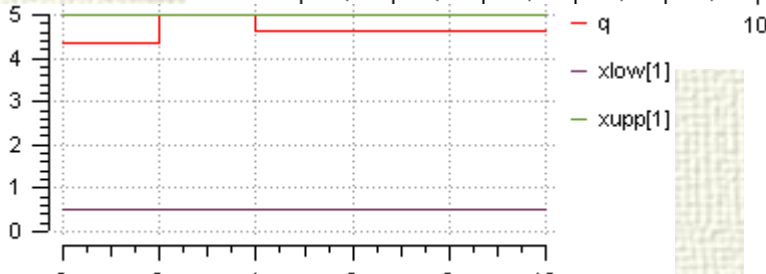
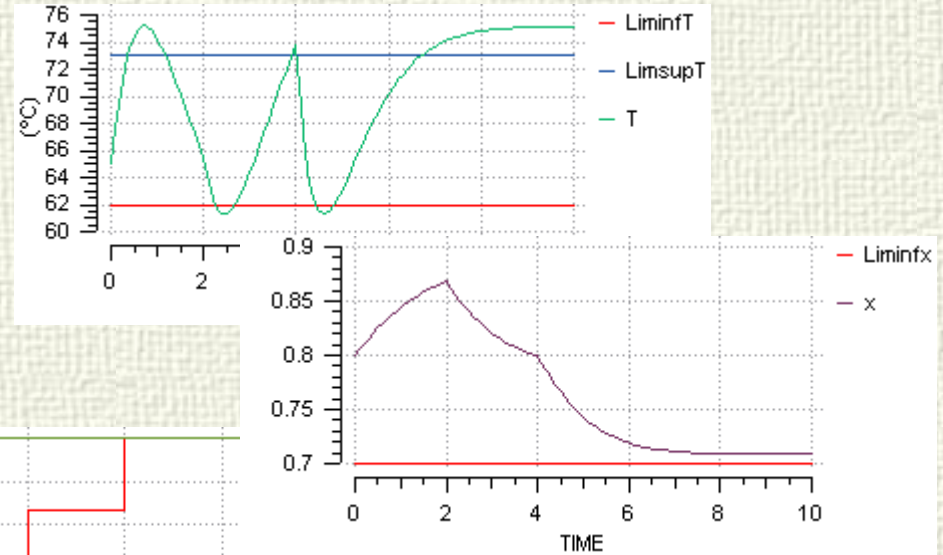
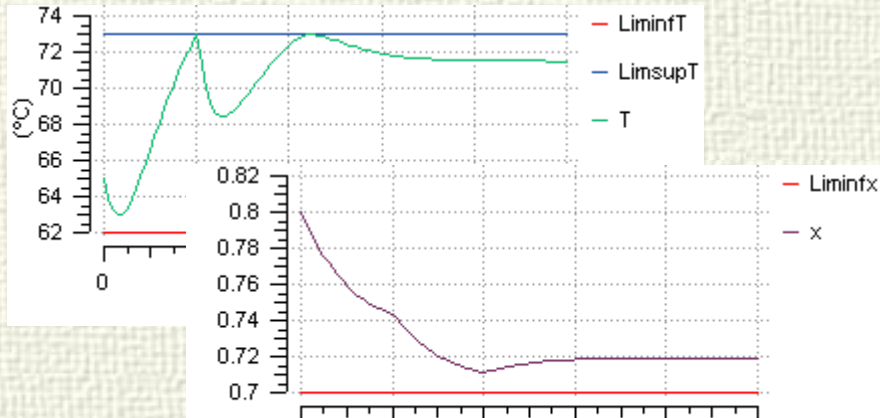
$$q_{\min} \leq q \leq q_{\max}$$

$$F_{r\min} \leq F_r \leq F_{r\max}$$





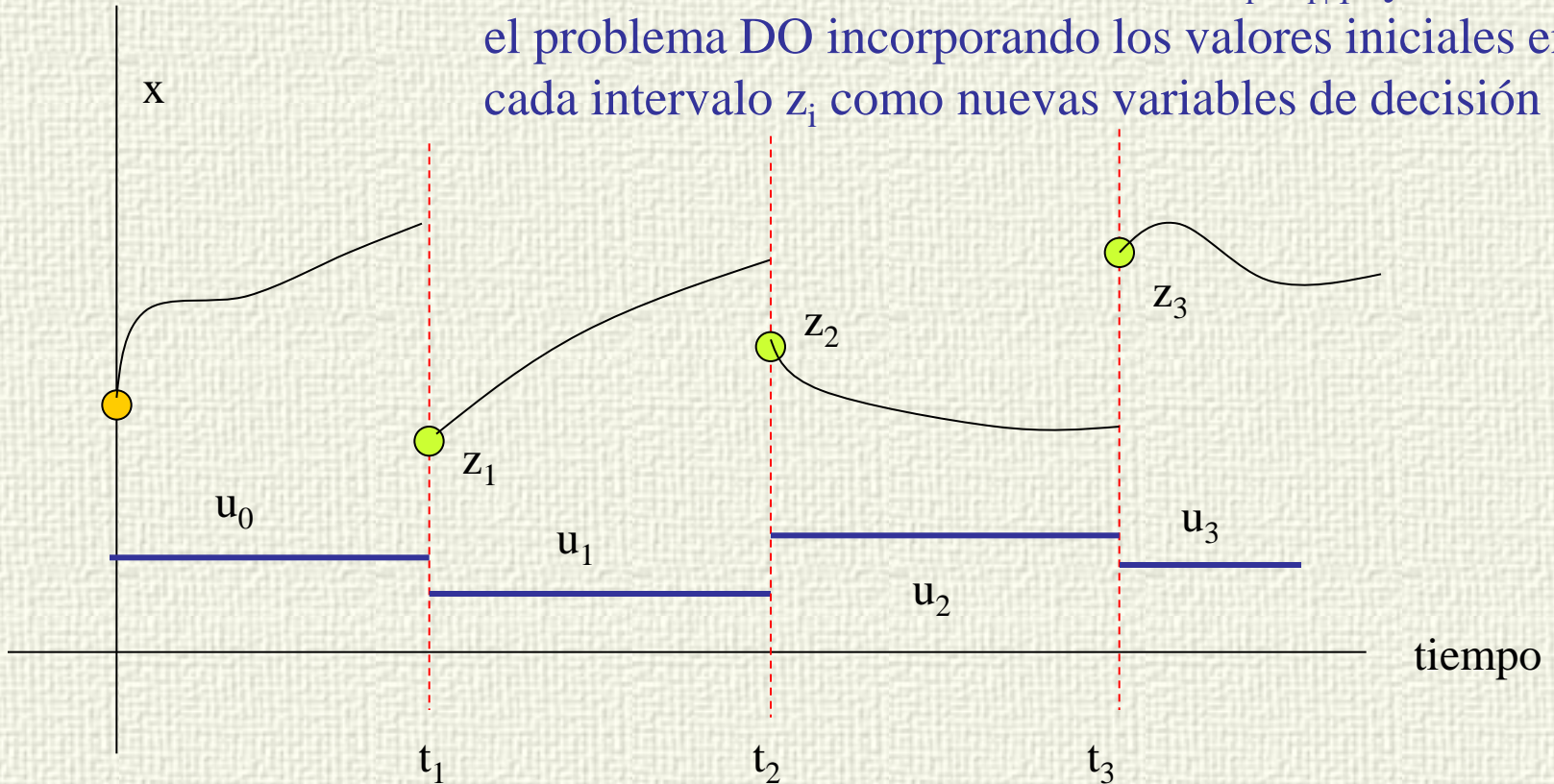
# Con / sin sensibilidades





# Multiple shooting

Dividir el horizonte en  $n$  intervalos  $[t_i, t_{i+1}]$  y resolver el problema DO incorporando los valores iniciales en cada intervalo  $z_i$  como nuevas variables de decisión



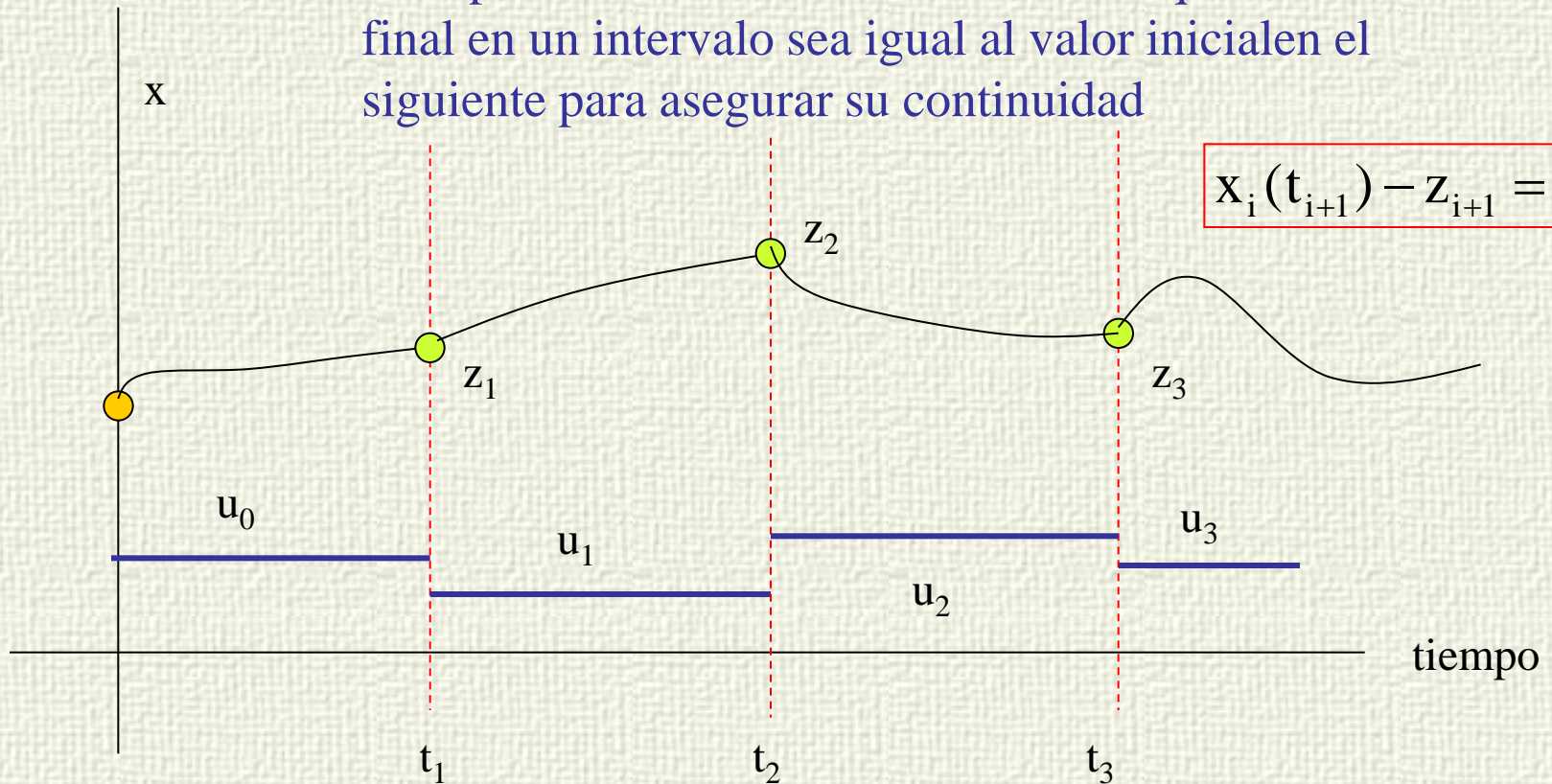
$$J = \sum_{i=0}^{n-1} \int_{t_i}^{t_{i+1}} L(x_i(t), u_i, z_i) dt$$

$x_i$   $x$  en el intervalo  $i$



# Multiple shooting

...Imponiendo además la condición de que el estado final en un intervalo sea igual al valor inicial en el siguiente para asegurar su continuidad







# Multiple shooting

## ✓ Ventajas:

- La inicialización de  $x$  puede estar mas cerca de la trayectoria deseada, lo que facilita la convergencia
- Se pueden imponer restricciones de camino sobre  $z_i$
- La evolución de la etapa  $i$  es independiente de la  $i+1$
- Facilita la paralelización
- Permite usar métodos secuenciales con sistemas inestables

## ✓ Desventajas:

- Mayor complejidad

$$J = \sum_{i=0}^{n-1} \int_{t_i}^{t_{i+1}} L(x_i(t), u_i, z_i) dt$$

$$v = \{u_0, z_1, u_1, \dots, z_i, u_i, \dots, z_{n-1}, u_{n-1}\}$$

$$\min_v J$$

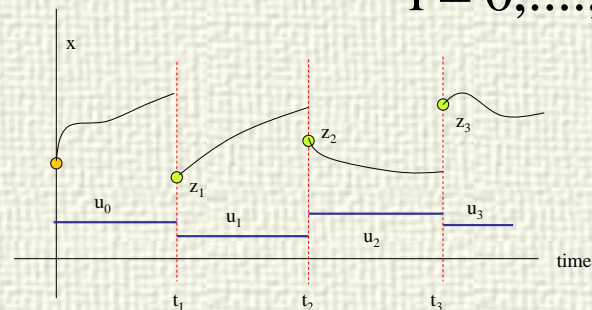
$$F_i(\dot{x}_i, x_i, u_i, t) = 0$$

$$x_i(t_i) = z_i$$

$$g_i(z_i, u_i, t_i) \leq 0$$

$$x_i(t_{i+1}) - z_{i+1} = 0$$

$$i = 0, \dots, n$$





# Enfoque simultaneo

$$\min_p J(p) = \int_0^T L(x, u(p)) dt$$

$$F(\dot{x}, x, u(p)) = 0$$

$$g(x, u(p)) \leq 0$$

Discretizar  
totalmente las  
ecuaciones

$$F(\dot{x}, x, u(p)) = 0$$



$$F\left(\frac{x(t + \Delta t) - x(t)}{\Delta t}, x(t + \Delta t), u(p)\right) = 0$$

$$t = 0, \Delta t, 2\Delta t, \dots$$

$$\int_0^T L(x, u(p)) dt$$



$$\sum_{j=0}^N [L(x(j), u(j, p))] \Delta t$$

Sistema de ecuaciones algebraicas



# Enfoque simultaneo

$$\min_p J(p) = \int_0^T L(x, u(p)) dt$$

$$F(\dot{x}, x, u(p)) = 0$$

$$g(x, u(p)) \leq 0$$



$$\min_{p,x} J = \sum_{j=0}^N [L(x(j), u(j,p)) \Delta t]$$

$$F(x(1), x(0), u(0,p)) = 0$$

$$F(x(2), x(1), u(1,p)) = 0$$

$$F(x(3), x(2), u(2,p)) = 0$$

.....

$$F(x(N), x(N-1), u(N-1,p)) = 0$$

$$g(x(0), u(0,p)) \leq 0$$

$$g(x(1), u(1,p)) \leq 0$$

$$g(x(2), u(2,p)) \leq 0$$

$$g(x(N-1), u(N-1,p)) \leq 0$$

✓ El número de variables de decisión y ecuaciones se incrementa de acuerdo a la discretización.

✓ Facilita la imposición de restricciones de camino, el cálculo de gradientes y se puede usar en sistemas inestables

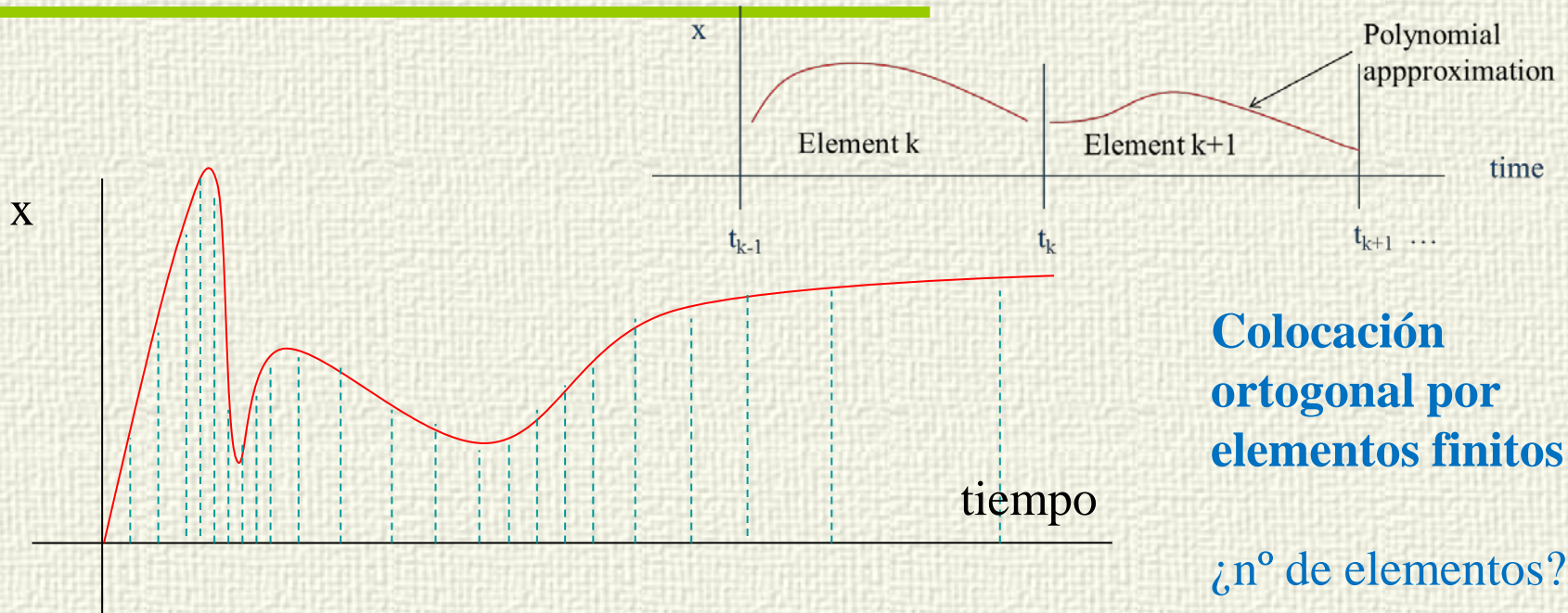
✓ Puede haber problemas con la discretización de las DAE

$x(i)$  y  $p$  son variables de decisión

Solución con software NLP



# Discretización



**Colocación  
ortogonal por  
elementos finitos**

¿n° de elementos?

La integración de sistemas stiff usa métodos de paso y estructura variable para mantener el error de integración bajo cotas.

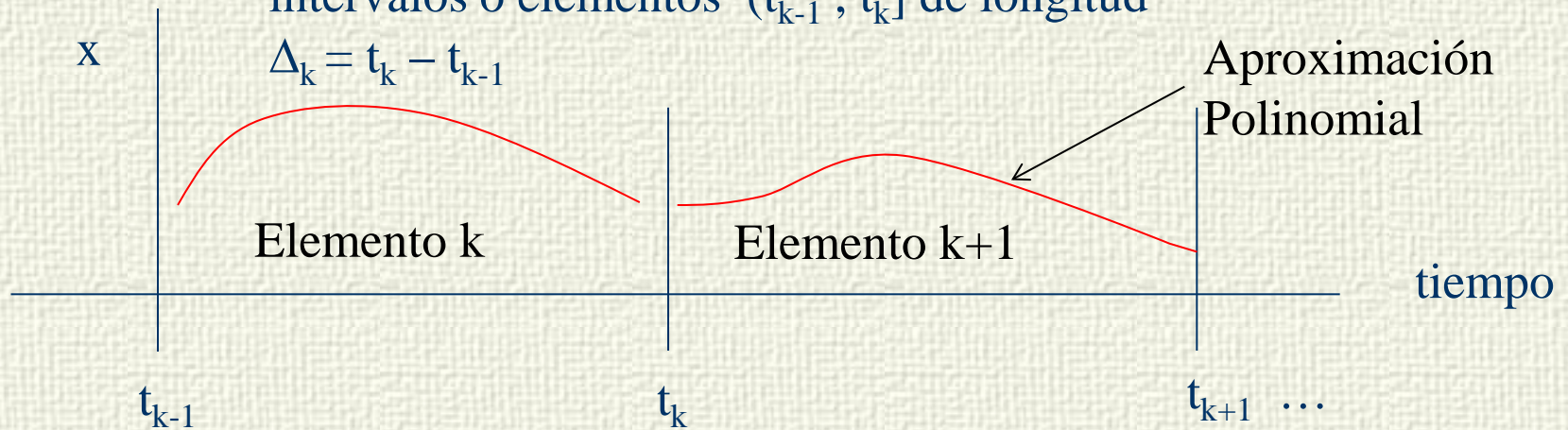
El uso de métodos de paso fijo obliga a usar un gran número de intervalos, resultando en un alto número de ecuaciones y variables y no garantiza la calidad



# Colocación en elementos finitos

El horizonte temporal se divide en  $K$  intervalos o elementos  $(t_{k-1}, t_k]$  de longitud

$$\Delta_k = t_k - t_{k-1}$$



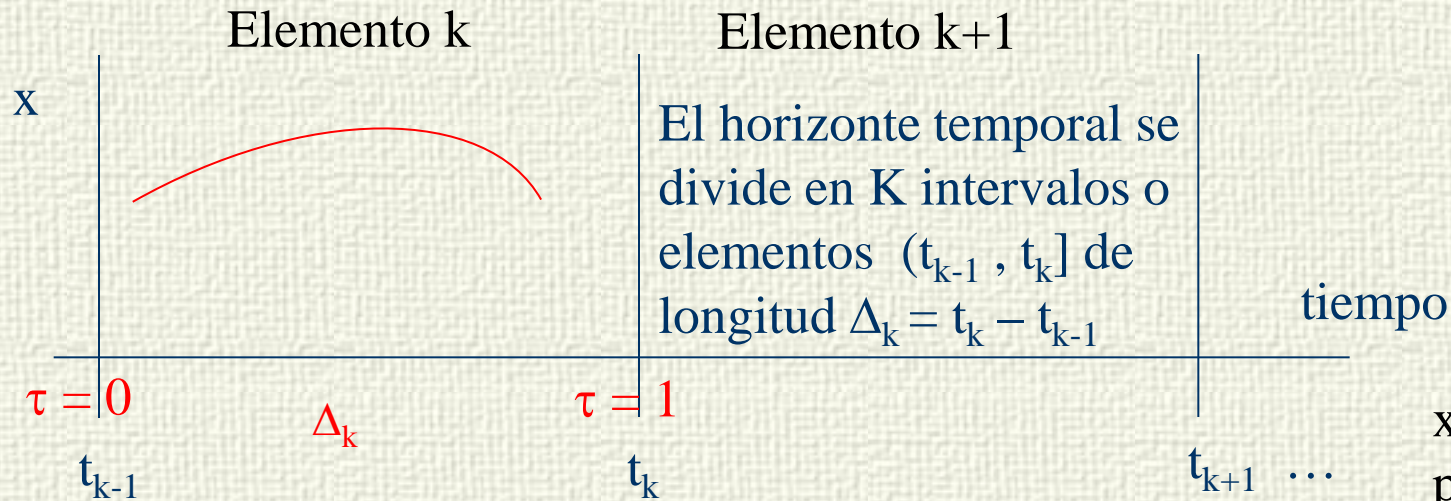
En cada intervalo  $(t_{k-1}, t_k]$  la solución  $x$  se aproxima por una fórmula polinómica. Esto proporciona una aproximación suave en elemento, al tiempo que permite discontinuidades en la señal de control.

Pueden usarse muchos tipos de aproximaciones polinómicas

El número de elementos  $r$   $K$  no tiene por que ser grande



# Colocación en elementos finitos



$\mathbf{x}_{kj}$   
parámetros  
a calcular

Una posibilidad es aproximar la evolución temporal de las variables por una combinación lineal de polinomios conocidos  $P_j(\tau)$  de orden  $P$ . Típicamente se usan polinomios de interpolación de Lagrange.

$$\mathbf{x}(t) \approx \sum_{j=0}^P P_j(\tau) \mathbf{x}_{kj}$$

$k = 1, \dots, K$

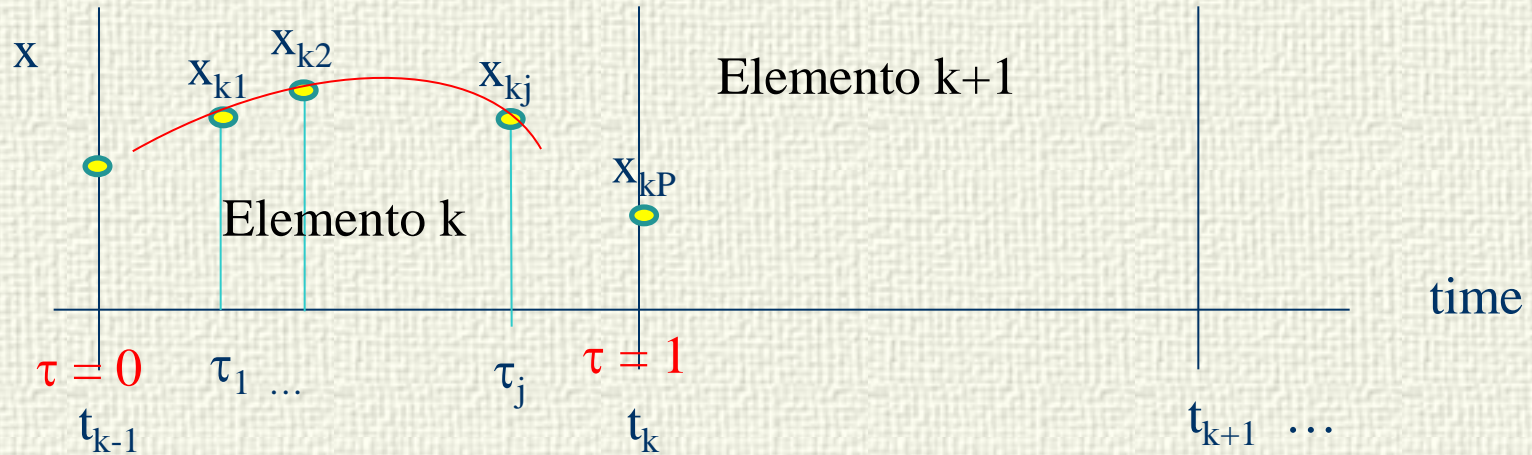
$$t = t_{k-1} + \tau \Delta_k \quad \tau \in (0, 1]$$

$$\dot{\mathbf{x}}(t) \approx \sum_{j=0}^P \frac{\dot{P}_j(\tau) \mathbf{x}_{kj}}{\Delta_k}$$

$\tau$  Tiempo  
normalizado



# Polinomios de interpolación de Lagrange



$$\mathbf{x}(t) \approx \sum_{j=0}^P P_j(\tau) \mathbf{x}_{kj}$$

$$t = t_{k-1} + \tau \Delta_k \quad \tau \in (0,1]$$

$$\dot{\mathbf{x}}(t) \approx \sum_{j=0}^P \frac{\dot{P}_j(\tau) \mathbf{x}_{kj}}{\Delta_k}$$

$$P_j(\tau) = \prod_{i=0, i \neq j}^P \frac{\tau - \tau_i}{\tau_j - \tau_i}$$

$$\mathbf{x}(t_{kj}) = \mathbf{x}(t_{k-1} + \tau_j \Delta_k) = \mathbf{x}_{kj} \quad \tau_i < \tau_{i+1}$$

Se seleccionan  $P+1$  puntos de interpolación  $\tau_0 = 0, \tau_1, \dots, \tau_P$

Los parámetros  $x_{kj}$  tienen un significado claro cuando se usan los polinomios de Lagrange



# Polinomios de Lagrange

$$P_j(\tau) = \prod_{i=0, i \neq j}^P \frac{\tau - \tau_i}{\tau_j - \tau_i}$$

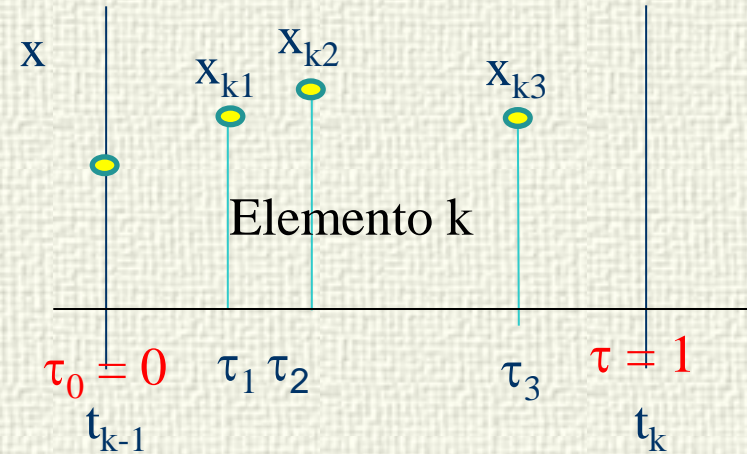
$$P_0 = \frac{\tau - \tau_1}{\tau_0 - \tau_1} \frac{\tau - \tau_2}{\tau_0 - \tau_2} \frac{\tau - \tau_3}{\tau_0 - \tau_3}$$

$$P_1 = \frac{\tau - \tau_0}{\tau_1 - \tau_0} \frac{\tau - \tau_2}{\tau_1 - \tau_2} \frac{\tau - \tau_3}{\tau_1 - \tau_3}$$

$$P_2 = \frac{\tau - \tau_0}{\tau_2 - \tau_0} \frac{\tau - \tau_1}{\tau_2 - \tau_1} \frac{\tau - \tau_3}{\tau_2 - \tau_3}$$

$$P_3 = \frac{\tau - \tau_0}{\tau_3 - \tau_0} \frac{\tau - \tau_1}{\tau_3 - \tau_1} \frac{\tau - \tau_2}{\tau_3 - \tau_2}$$

$$x(t_{k-1} + \tau_j \Delta_k) = x_{kj}$$



Ejemplo con  $P=3$       $\mathbf{x}(t) \approx \sum_{j=0}^P P_j(\tau) \mathbf{x}_{kj}$

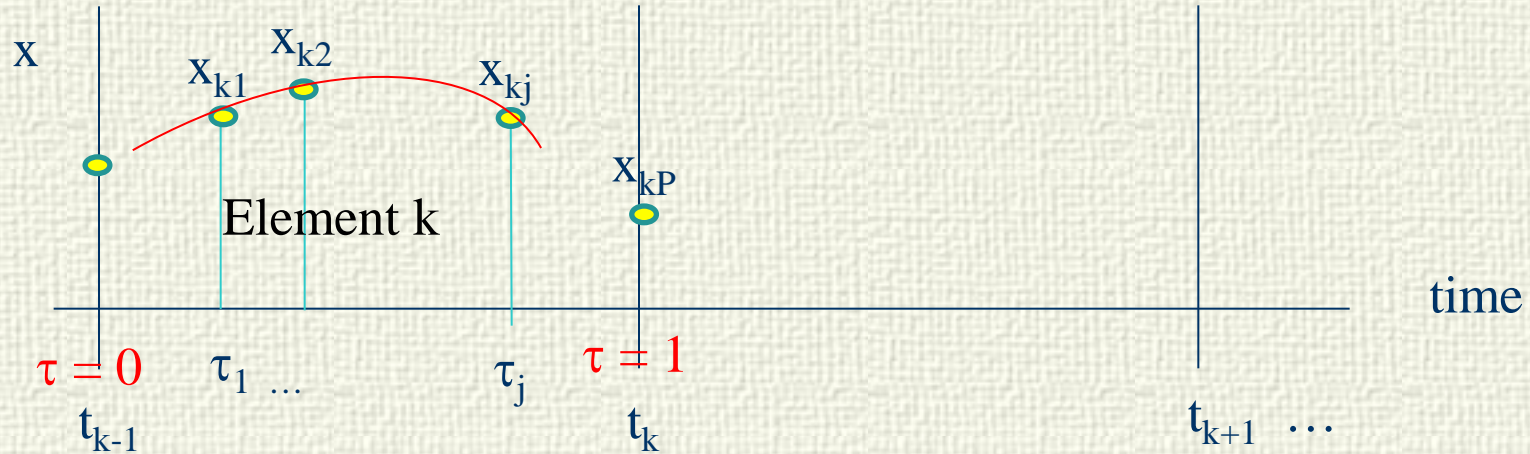
Para  $\tau = \tau_1$     $P_0 = P_2 = P_3 = 0$       $P_1 = 1$

$$\begin{aligned} \mathbf{x}(t_{k-1} + \tau_1 \Delta_k) &= \\ &= P_0 \mathbf{x}_{k0} + P_1 \mathbf{x}_{k1} + P_2 \mathbf{x}_{k2} + P_3 \mathbf{x}_{k3} = \mathbf{x}_{k1} \end{aligned}$$





# Colocación en elementos finitos



Se impone que se satisfagan las ecuaciones DAE en los puntos de colocación.

Esta condición proporciona un conjunto de ecuaciones que permiten calcular los coeficientes  $x_{ki}$  desconocidos

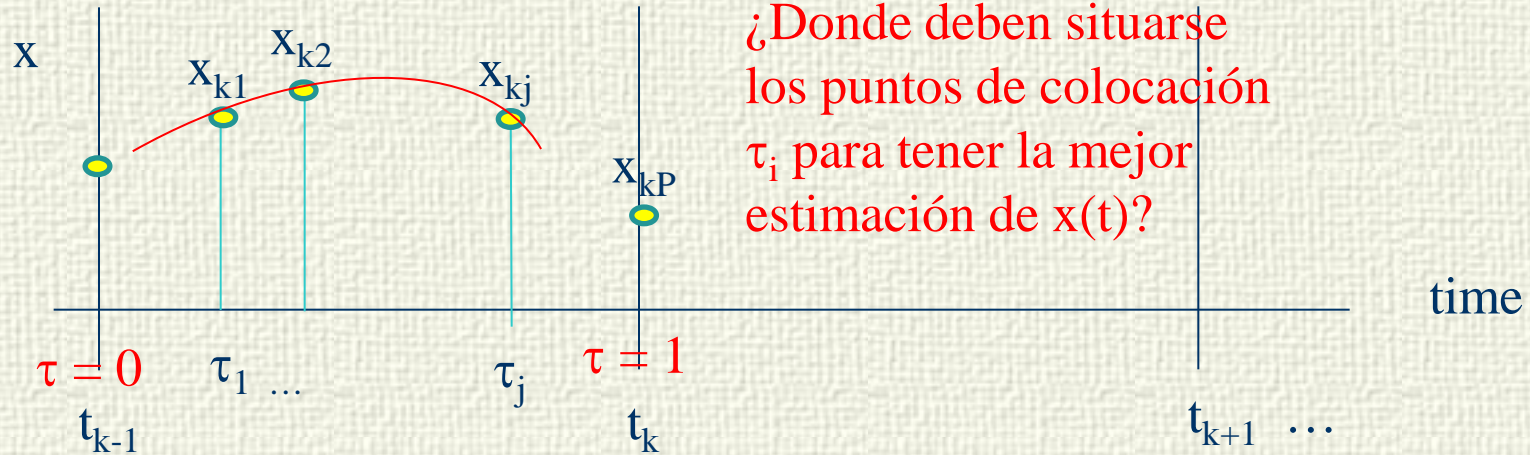
$$F(\dot{x}, x, u(p)) = 0$$

$$F\left(\sum_{j=0}^P \frac{\dot{P}_j(\tau_i) \mathbf{x}_{kj}}{\Delta_k}, \mathbf{x}_{ki}, u(p)\right) = 0 \quad k = 1, \dots, K$$

Los  $P+1$  puntos de colocación se sitúan en posiciones fijas  $\tau_i$  en cada elemento  $k$ . Existen diferentes métodos para situarlos



# Colocación Ortogonal



$$F\left(\sum_{j=0}^P \frac{\dot{P}_j(\tau_i) \mathbf{x}_{kj}}{\Delta_k}, \mathbf{x}_{ki}, u(p)\right) = 0 \quad \begin{matrix} k = 1, \dots, K \\ i = 1, \dots, P \end{matrix}$$

Para reducir  $P$  se escogen polinomios ortogonales

$$\int_0^1 P_j(\tau) P_i(\tau) d\tau = 0 \quad i \neq j$$



# Colocación Ortogonal

Shifted Gauss–Legendre and Radau roots as collocation points.

Degree	$P$	Legendre Roots	Radau Roots
1		0.500000	1.000000
2		0.211325 0.788675	0.333333 1.000000
3		0.112702 0.500000 0.887298	0.155051 0.644949 1.000000
4		0.069432 0.330009 0.669991 0.930568	0.088588 0.409467 0.787659 1.000000
5		0.046910 0.230765 0.500000 0.769235 0.953090	0.057104 0.276843 0.583590 0.860240 1.000000

$\tau_0$  es siempre = 0

Los puntos de colocación  $\tau_i$ ,  $i = 1, \dots, P$  se seleccionan como las raíces de polinomios de tipo Gauss-Jacobi, típicamente:

$$P_P^{\text{Legendre}}(\tau) = \sum_{j=0}^P (-1)^{P-j} \tau^j \gamma_j$$

$$\gamma_0 = 1$$

$$\gamma_j = \frac{(P-j+1)(P+j)}{j^2}$$

Dan mas exactitud

$$P_P^{\text{Radau}}(\tau) = \sum_{j=0}^P (-1)^{P-j} \tau^j \gamma_j$$

$$\gamma_0 = 1$$

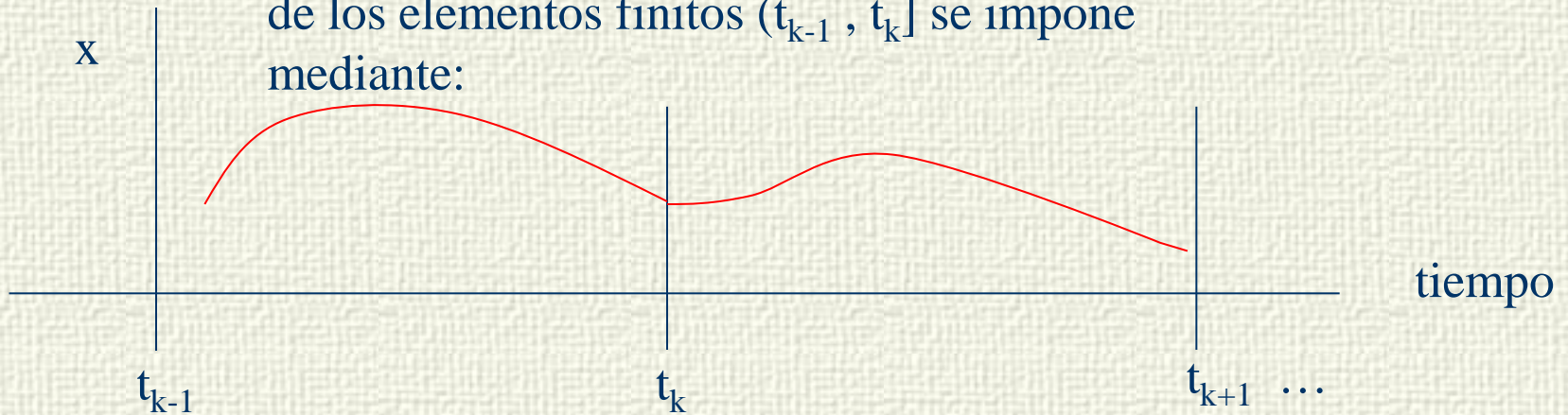
$$\gamma_j = \frac{(P-j+1)(P+j+1)}{j^2}$$

Dan mas robustez



# Colocación Ortogonal

La continuidad de las trayectorias a lo largo de los elementos finitos  $(t_{k-1}, t_k]$  se impone mediante:



$$F\left(\sum_{j=0}^P \frac{\dot{P}_j(\tau_i) \mathbf{x}_{kj}}{\Delta_k}, \mathbf{x}_{ki}, u(p)\right) = 0 \quad \begin{array}{l} k = 1, \dots, K \\ i = 1, \dots, P \end{array}$$

En lugar de estas ecuaciones, en los puntos  $\tau_0 = 0$  se usa la continuidad de los estados, y en  $t = 0$  las condiciones iniciales para generar ecuaciones que las sustituyan y que garanticen soluciones acorde a lo deseado

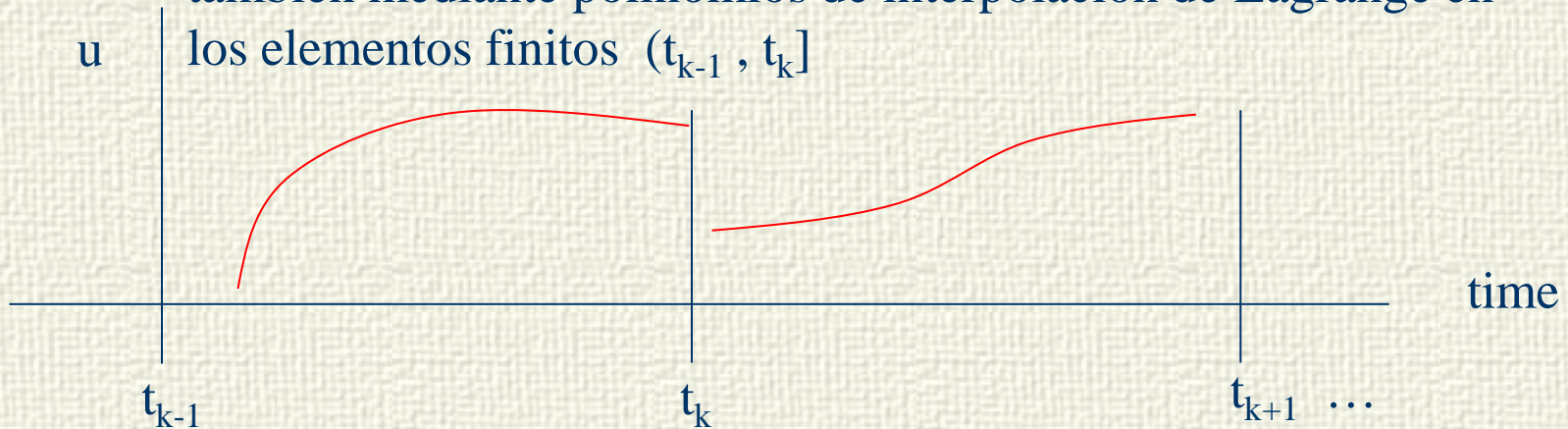
$$\mathbf{x}(t_k) = \mathbf{x}_{k+1,0} = \mathbf{x}_{k,P}$$

$$\mathbf{x}(t_0) = \mathbf{x}_{10} = \mathbf{x}_0$$



# Colocación Ortogonal

Si se desea, las variables de control pueden representarse también mediante polinomios de interpolación de Lagrange en los elementos finitos  $(t_{k-1}, t_k]$



$$\mathbf{u}(t) \approx \sum_{j=1}^P \bar{P}_j(\tau) \mathbf{u}_{kj}$$

$$\bar{P}_j(\tau) = \prod_{i=1, i \neq j}^P \frac{\tau - \tau_i}{\tau_j - \tau_i}$$

$$t = t_{k-1} + \tau \Delta_k \quad \tau \in (0,1]$$

**No se impone** la continuidad de las trayectorias de control en los elementos finitos  $(t_{k-1}, t_k]$

Pueden usarse métodos simultáneos de optimización con sistemas inestables



# Ejemplo

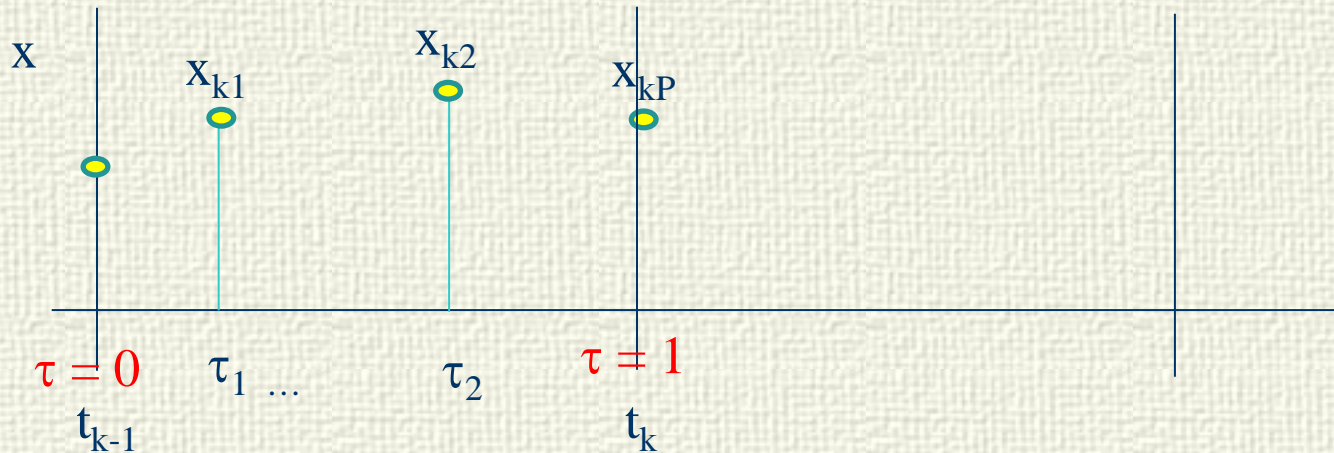
Integrar entre  $t = 0$  y  $1$

$$\dot{x} = x^2 - 2x + 1 \quad x(0) = -3$$

Se seleccionan  $K = 2$  elementos finitos de igual tamaño

$$\Delta_k = (1 - 0)/2 = 0.5$$

$P = 3$  puntos de colocación



Los puntos de colocación de Radau para  $P = 3$  son:

$$\tau_0 = 0 \quad \tau_1 = 0.155051 \quad \tau_2 = 0.644949 \quad \tau_3 = 1$$



# Ejemplo

$$P_j(\tau) = \prod_{i=0, i \neq j}^P \frac{\tau - \tau_i}{\tau_j - \tau_i}$$

Los puntos de colocación de Radau para  $P=3$  son:  
 $\tau_0 = 0$   $\tau_1 = 0.155051$   $\tau_2 = 0.644949$   $\tau_3 = 1$

$$P_0 = \frac{\tau - \tau_1}{\tau_0 - \tau_1} \frac{\tau - \tau_2}{\tau_0 - \tau_2} \frac{\tau - \tau_3}{\tau_0 - \tau_3} = -10\tau^3 + 18\tau^2 - 9\tau + 1$$

$$P_1 = \frac{\tau - \tau_0}{\tau_1 - \tau_0} \frac{\tau - \tau_2}{\tau_1 - \tau_2} \frac{\tau - \tau_3}{\tau_1 - \tau_3} = 15.5808 \tau^3 - 25.6296\tau^2 + 10.0488\tau$$

$$P_2 = \frac{\tau - \tau_0}{\tau_2 - \tau_0} \frac{\tau - \tau_1}{\tau_2 - \tau_1} \frac{\tau - \tau_3}{\tau_2 - \tau_3} = -8.9141\tau^3 + 10.2963\tau^2 - 1.3821\tau$$

$$P_3 = \frac{\tau - \tau_0}{\tau_3 - \tau_0} \frac{\tau - \tau_1}{\tau_3 - \tau_1} \frac{\tau - \tau_2}{\tau_3 - \tau_2} = 3.3333\tau^3 - 2.6667\tau^2 + 0.3333\tau$$

$$\mathbf{x}(t_{k-1} + \tau_j \Delta_k) = \mathbf{x}_{kj} \quad \mathbf{x}(t) \approx \sum_{j=0}^P P_j(\tau) \mathbf{x}_{kj} \quad t = t_{k-1} + \tau \Delta_k \quad \tau \in (0,1]$$



# Ejemplo

$$\dot{\mathbf{x}}(t) \approx \sum_{j=0}^P \frac{\dot{P}_j(\tau) \mathbf{x}_{kj}}{\Delta_k}$$

Los puntos de colocación de Radau para  $P=3$  son:

$$\tau_0 = 0 \quad \tau_1 = 0.155051 \quad \tau_2 = 0.644949 \quad \tau_3 = 1$$

$$\dot{P}_0(\tau) = -30\tau^2 + 36\tau - 9$$

$$\dot{x} = x^2 - 2x + 1 \quad x(0) = -3$$

$$\dot{P}_1(\tau) = 46.7423\tau^2 - 51.2592\tau + 10.0488$$

$$\dot{P}_2(\tau) = -26.7423\tau^2 + 20.5925\tau - 1.3821$$

$$\dot{P}_3(\tau) = 10\tau^2 - 5.3333\tau + 0.3333$$

$$\sum_{j=0}^3 \frac{\dot{P}_j(\tau) \mathbf{x}_{kj}}{0.5} = \mathbf{x}^2 - 2\mathbf{x} + 1$$

$$\mathbf{x}(t_{k-1} + \tau_j \Delta_k) = \mathbf{x}_{kj}$$

$$k = 1, 2$$

$$t = t_{k-1} + \tau \Delta_k \quad \tau \in (0, 1]$$





# Ejemplo

$$\dot{\mathbf{x}} = \mathbf{x}^2 - 2\mathbf{x} + 1 \quad \mathbf{x}(0) = -3 \quad \longrightarrow \quad \sum_{j=0}^3 \frac{\dot{\mathbf{P}}_j(\tau) \mathbf{x}_{kj}}{0.5} = \mathbf{x}^2 - 2\mathbf{x} + 1 \quad k = 1, 2$$

En los puntos de colocación  $\tau_i$  :

$$\sum_{j=0}^3 \frac{\dot{\mathbf{P}}_j(\tau_i) \mathbf{x}_{kj}}{0.5} = \mathbf{x}_{ki}^2 - 2\mathbf{x}_{ki} + 1 \quad \begin{array}{l} k = 1, 2 \\ i = 1, \dots, 3 \end{array}$$

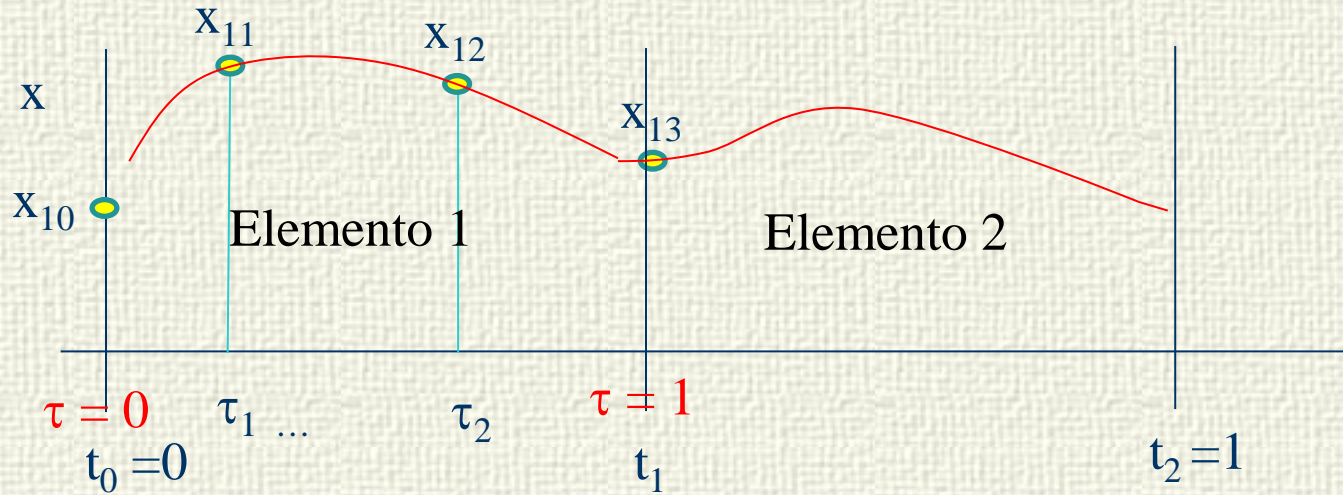
$$\begin{aligned} &(-30\tau_i^2 + 36\tau_i - 9)\mathbf{x}_{10} + (46.7423\tau_i^2 - 51.2592\tau_i + 10.0488)\mathbf{x}_{11} + \\ &+ (-26.7423\tau_i^2 + 20.5925\tau_i - 1.3821)\mathbf{x}_{12} + (10\tau_i^2 - 5.3333\tau_i + 0.3333)\mathbf{x}_{13} = \\ &= 0.5(\mathbf{x}_{1i}^2 - 2\mathbf{x}_{1i} + 1) \quad i = 1, 2, 3 \end{aligned}$$

$$\begin{aligned} &(-30\tau_i^2 + 36\tau_i - 9)\mathbf{x}_{20} + (46.7423\tau_i^2 - 51.2592\tau_i + 10.0488)\mathbf{x}_{21} + \\ &+ (-26.7423\tau_i^2 + 20.5925\tau_i - 1.3821)\mathbf{x}_{22} + (10\tau_i^2 - 5.3333\tau_i + 0.3333)\mathbf{x}_{23} = \\ &= 0.5(\mathbf{x}_{2i}^2 - 2\mathbf{x}_{2i} + 1) \quad i = 1, 2, 3 \end{aligned}$$

8 incógnitas, 6 ecuaciones



# Ejemplo



$$\mathbf{x}(t_k) = \mathbf{x}_{k+1,0} = \mathbf{x}_{k,P} = \sum_{j=0}^P P_j(1) \mathbf{x}_{k,j}$$

$$\mathbf{x}(0.5) = \mathbf{x}_{20} = \mathbf{x}_{13} = \sum_{j=0}^3 P_j(1) \mathbf{x}_{1j}$$

$$\mathbf{x}(t_0) = \mathbf{x}_{10} = \mathbf{x}_0$$

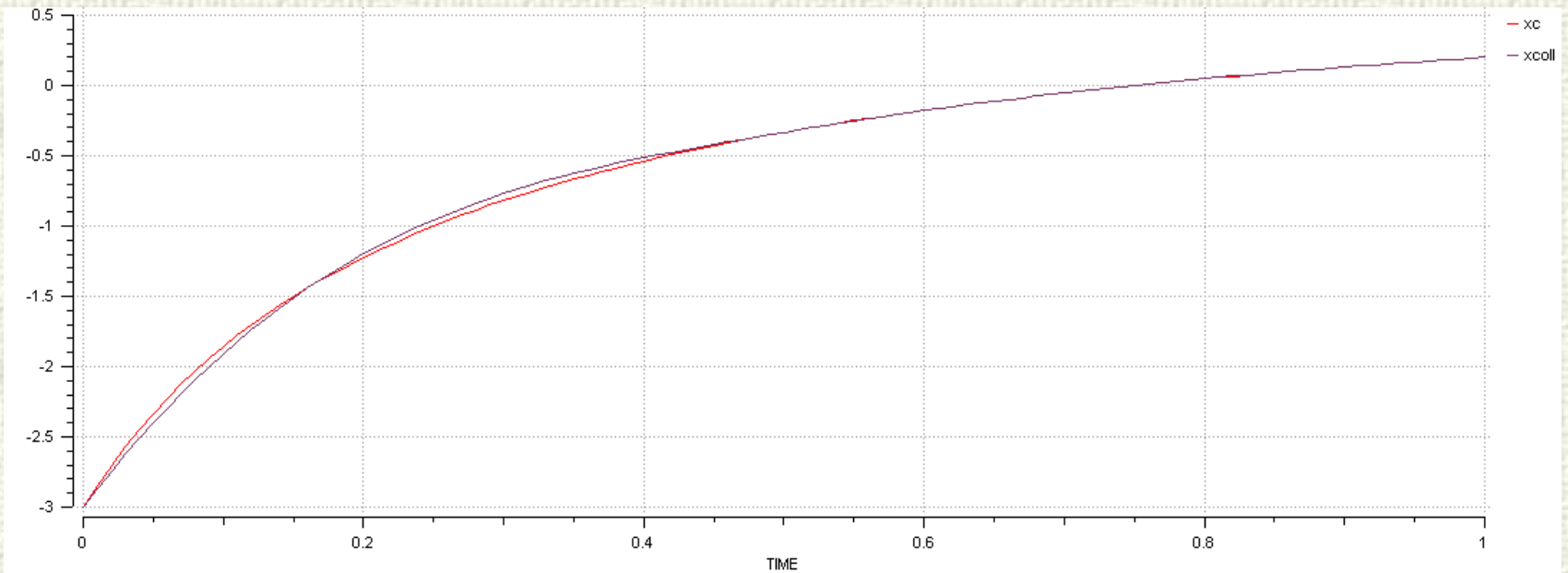
$$\mathbf{x}(0) = \mathbf{x}_{10} = -3$$

8 incógnitas, 8 ecuaciones

Las condiciones iniciales y de continuidad proporcionan las otras dos ecuaciones



# Ejemplo



$$\dot{x} = x^2 - 2x + 1 \quad x(0) = -3$$



# Software: GAMS

```
CAEDIT\gamsdir\caldera.gms
caldera.gms caldera.lst

Variables
z  funcion objetivo;

Positive Variables
x1, x2, x3;

Equations
energia  define la funcion objetivo
potencia energia producida por hora
emisiones limite de emisiones;

energia.. z =e= 55*x1 + 41*x2 + 28*x3;
potencia.. 61*x1 + 45*x2 + 38*x3 =e= 14.4;
emisiones.. -2.38*x1 - 2.05*x2 + 0.3*x3 =1= 0;

Model caldera /all/;

Solve caldera using lp minimizing z;

Display x1.1, x2.1, x3.1;
```

```
No active process
caldera

--- caldera.gms(22) 3 Mb
--- 3 rows 4 columns 10 non-zeros
--- Executing CPLEX: elapsed 0:00:00.066

IBM ILOG CPLEX Jul 4, 2012 23.9.5 WEX 36376.36401 WEI x86_64/MS Windows
Cplex 12.4.0.1

Reading data...
Starting Cplex...
Tried aggregator 1 time.
LP Presolve eliminated 1 rows and 1 columns.
Reduced LP has 2 rows, 3 columns, and 6 nonzeros.
Presolve time = 0.00 sec.

Iteration    Dual Objective      In Variable      Out Variable
1            10.610526           x3               potencia artif
2            10.981182           x2               emisiones slack

LP status(1): optimal

Optimal solution found.
Objective :      10.981182

--- Restarting execution
--- caldera.gms(22) 2 Mb
--- Reading solution for model caldera
--- Executing after solve: elapsed 0:00:00.318
--- caldera.gms(24) 2 Mb
*** Status: Normal completion
--- Job caldera.gms Stop 11/19/12 17:06:32 elapsed 0:00:00.323
```

Entornos de modelado y optimización como GAMS, AIMMS, XPRESS, Gurobi,... pueden usarse tras la discretización

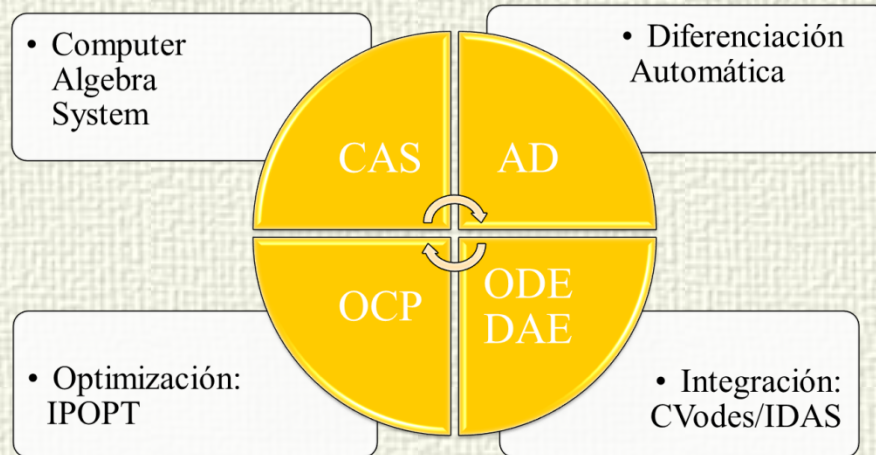


# Software

**CasADi** es un entorno simbólico para optimización numérica que facilita la discretización e implementa diferenciación automática (gradientes y Hessianos).

Genera código C e implementa interfaces a códigos DAE y de optimización como SUNDIALS, IPOPT etc.

Se gestiona desde una interfaz con Python



Solución eficiente de problemas de gran escala

Pero no soporta:

- Discontinuidades
- Optimización mixta-entera

Problemas de memoria

Entorno pobre de modelado

Computational Infrastructure for Operations Research (COIN-OR) Open source codes

Sensibilidades paramétricas



# Diferenciación Automática

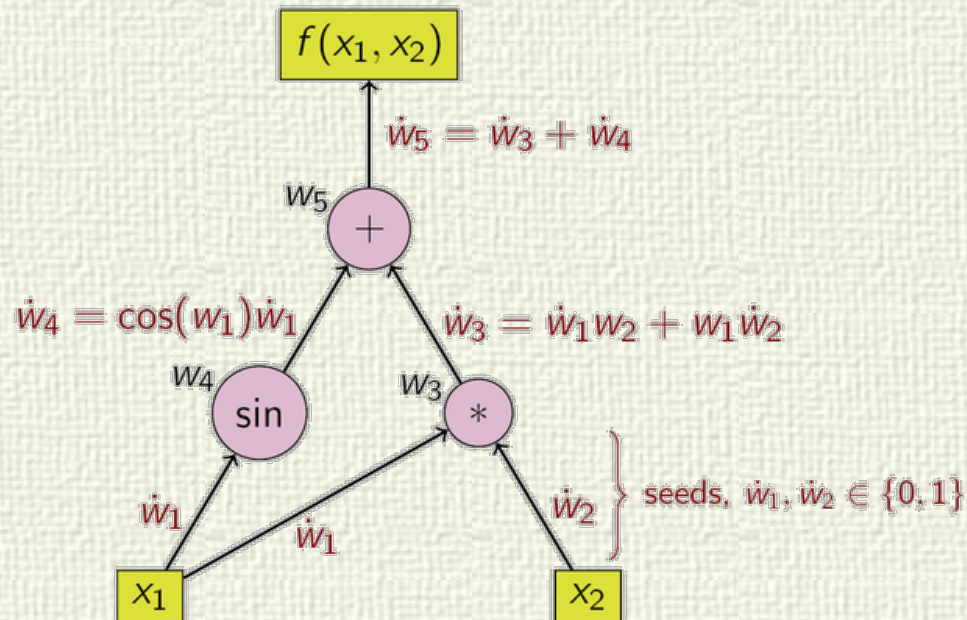
Ejemplo::

$$f = x_1 x_2 + \sin(x_1)$$

$$i \frac{\partial f}{\partial x_1} ?$$

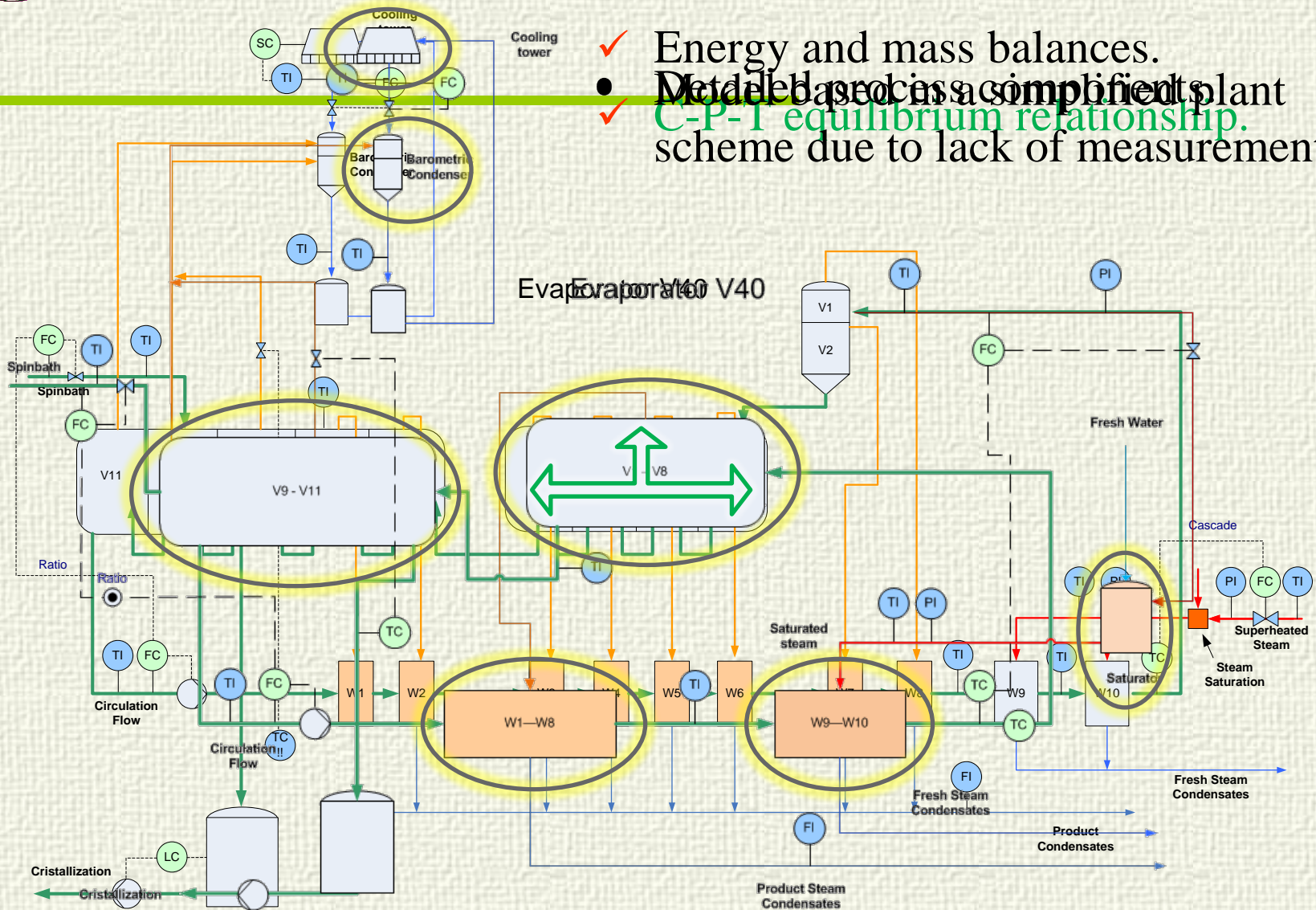
Assignment	Derivatives
$w_1 = x_1$	$w_1' = 1$ ( <i>seed</i> )
$w_2 = x_2$	$w_2' = 0$ ( <i>seed</i> )
$w_3 = w_1 w_2$	$w_3' = w_1' w_2 + w_1 w_2' = x_2$
$w_4 = \sin(w_1)$	$w_4' = \cos(w_1) w_1' = \cos(x_1)$
$w_5 = w_3 + w_4$	$w_5' = w_3' + w_4' = x_2 + \cos(x_1)$

Forward propagation  
of derivative values





# Evaporación, papelera

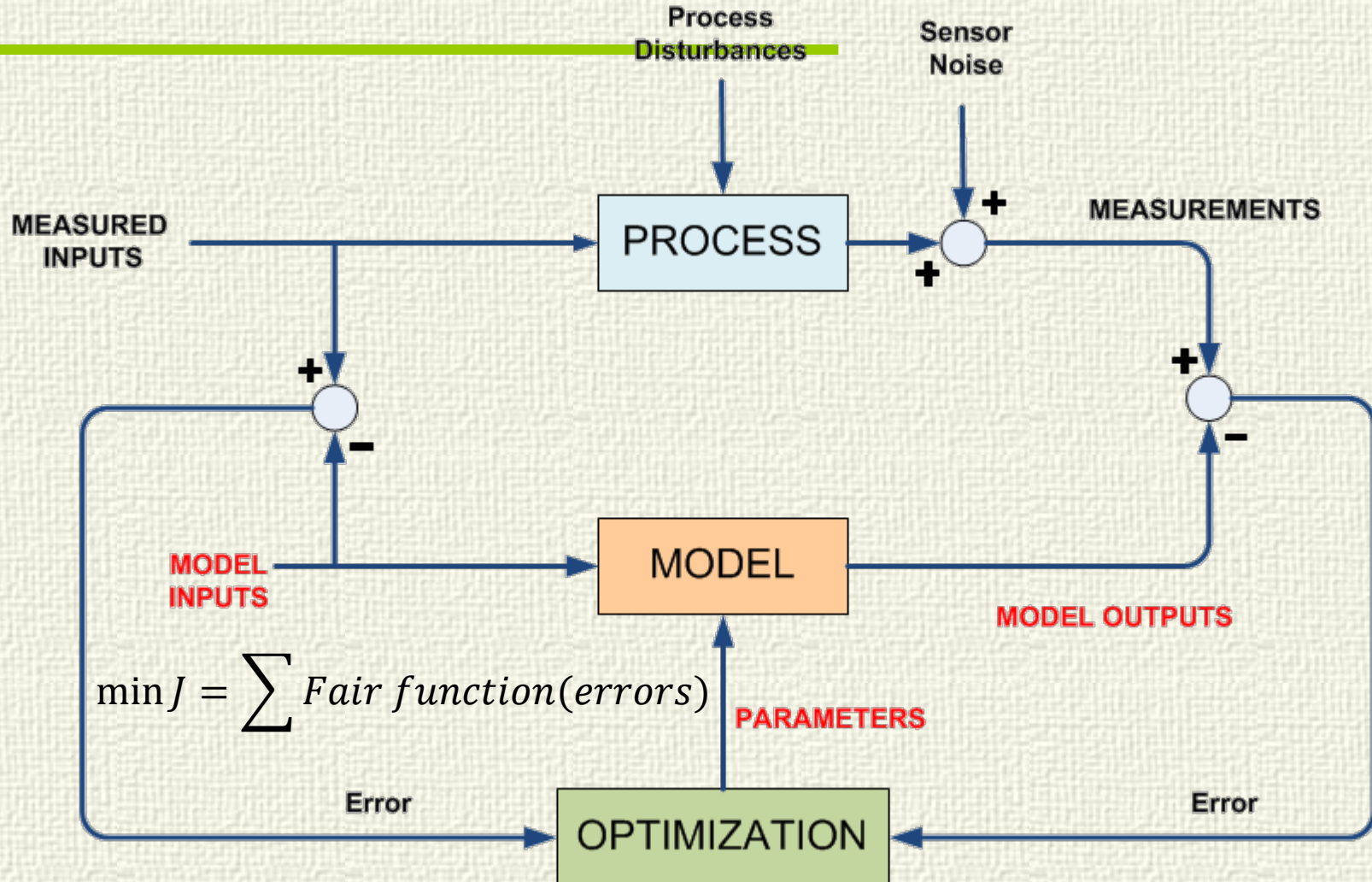


- ✓ Energy and mass balances.
- Model based process is a simplified plant scheme due to lack of measurements.
- ✓ C-P-T equilibrium relationship.

Objetivo: Operar la planta con consumo específico de vapor mínimo 79



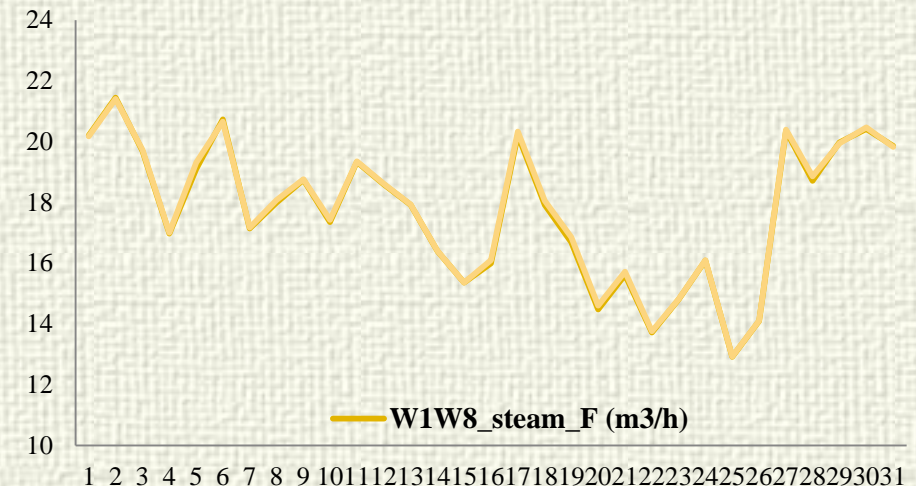
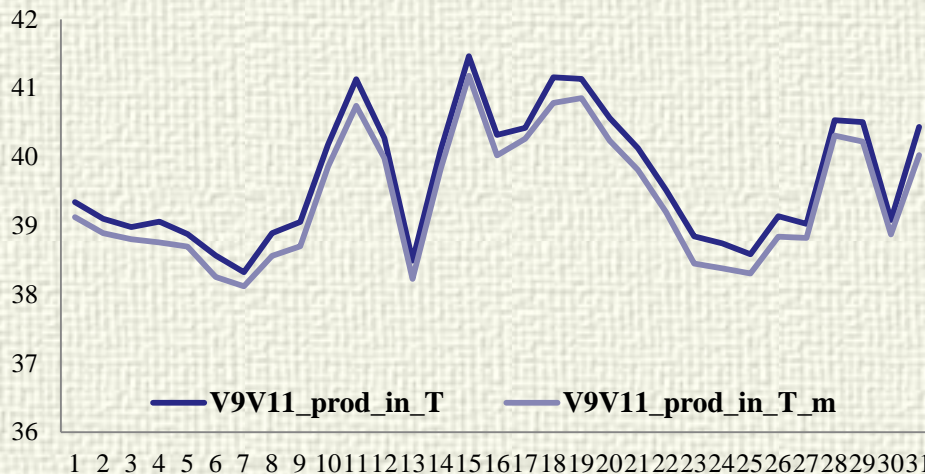
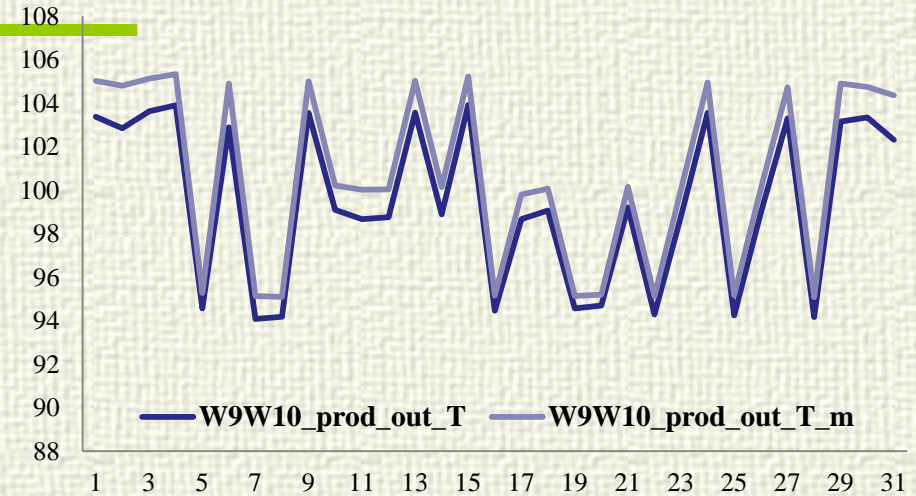
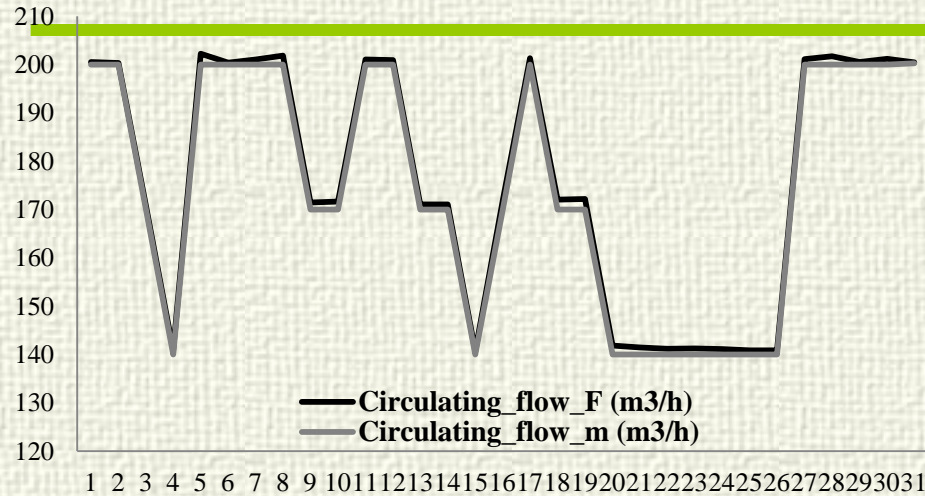
# Data reconciliation







# Data reconciliation



Measurement fitness



# RTO



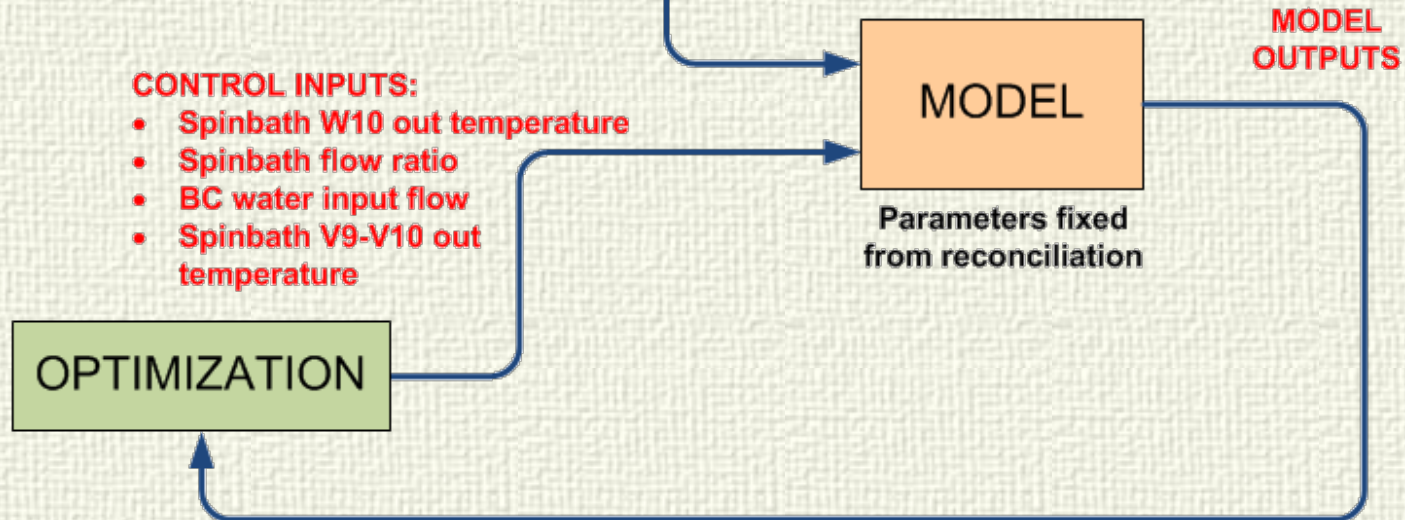
$\min J = \text{Specific steam consumption}$   
s.t.  $\text{Evaporation rate} \geq \text{target}$   
*Fixed cooling capacity in the tower*

## EXTERNAL INPUTS:

- Spinbath input flow
- Spinbath input temperature
- Overheated steam temperature
- Overheated steam pressure
- Saturator water temperature

## CONTROL INPUTS:

- Spinbath W10 out temperature
- Spinbath flow ratio
- BC water input flow
- Spinbath V9-V10 out temperature

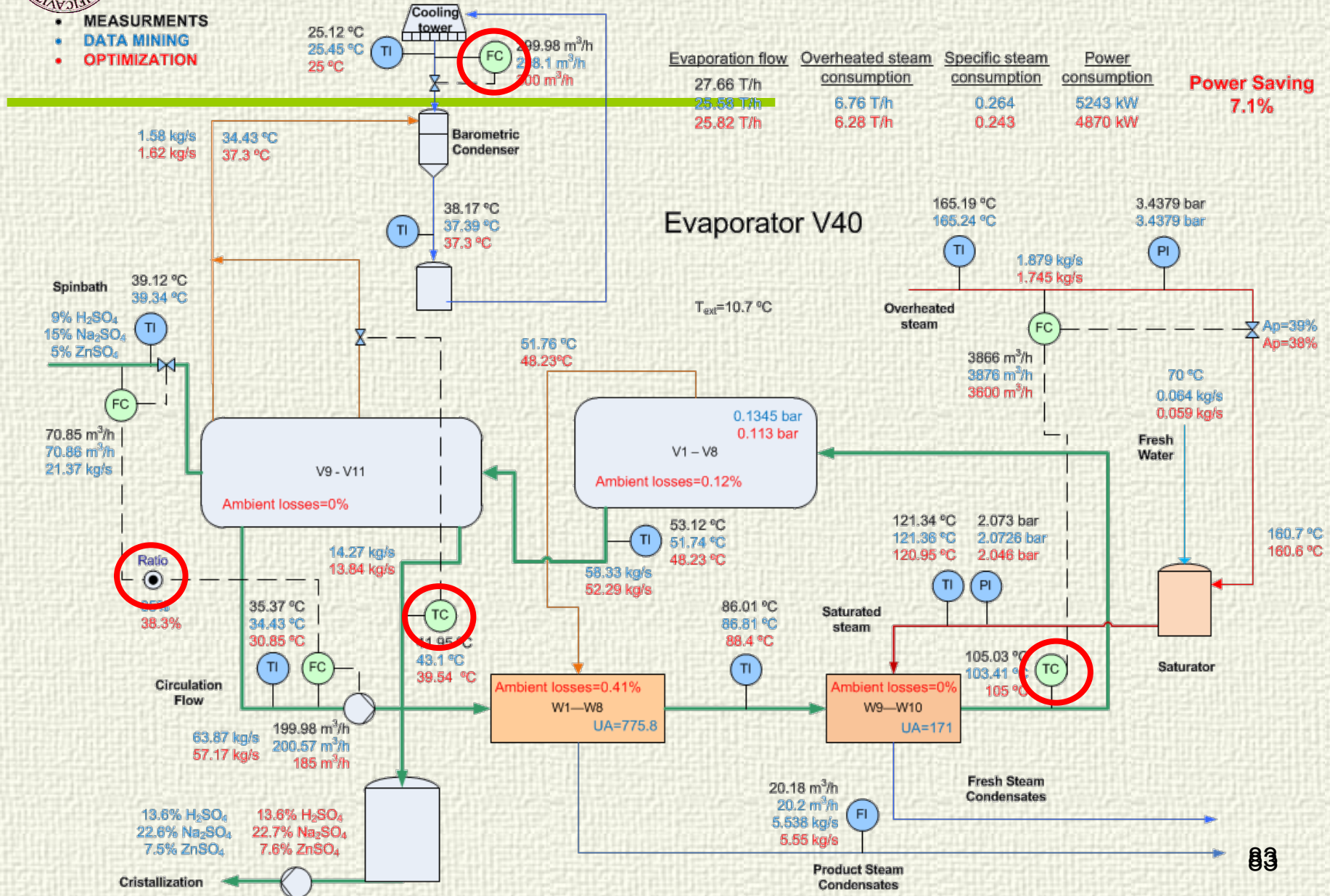




# RTO

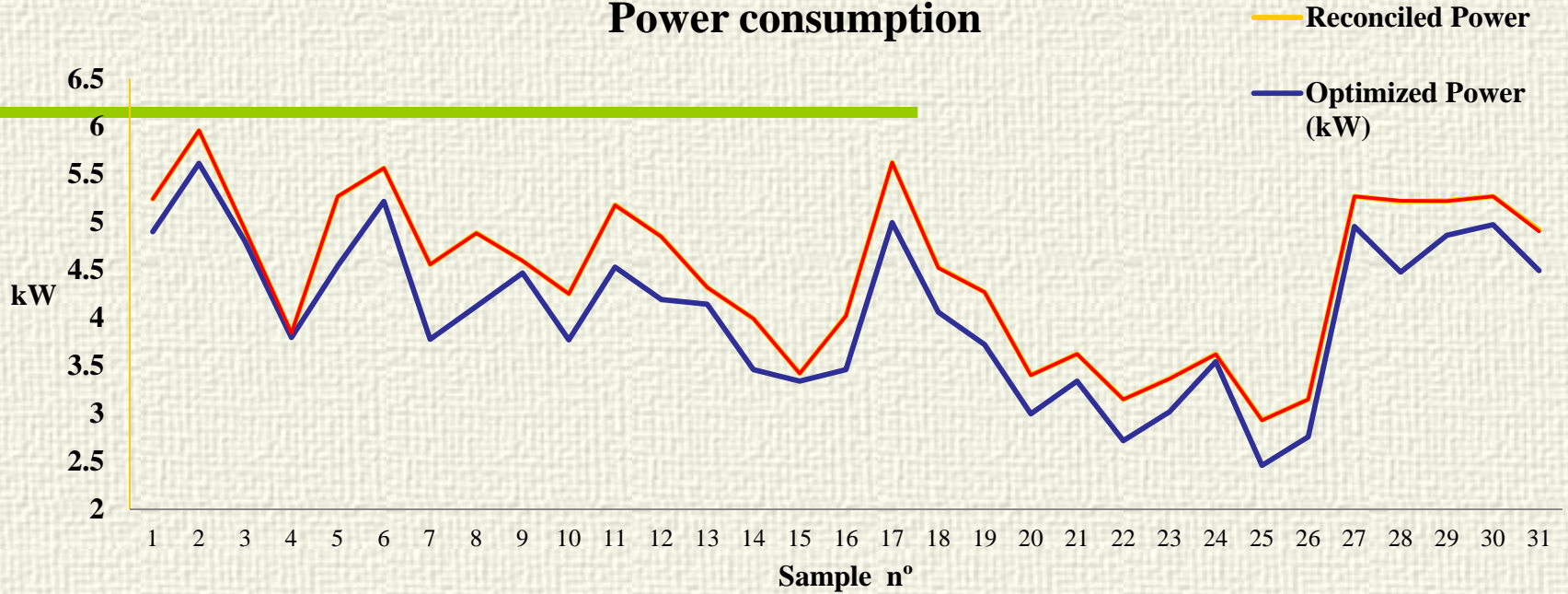


- MEASUREMENTS
- DATA MINING
- OPTIMIZATION

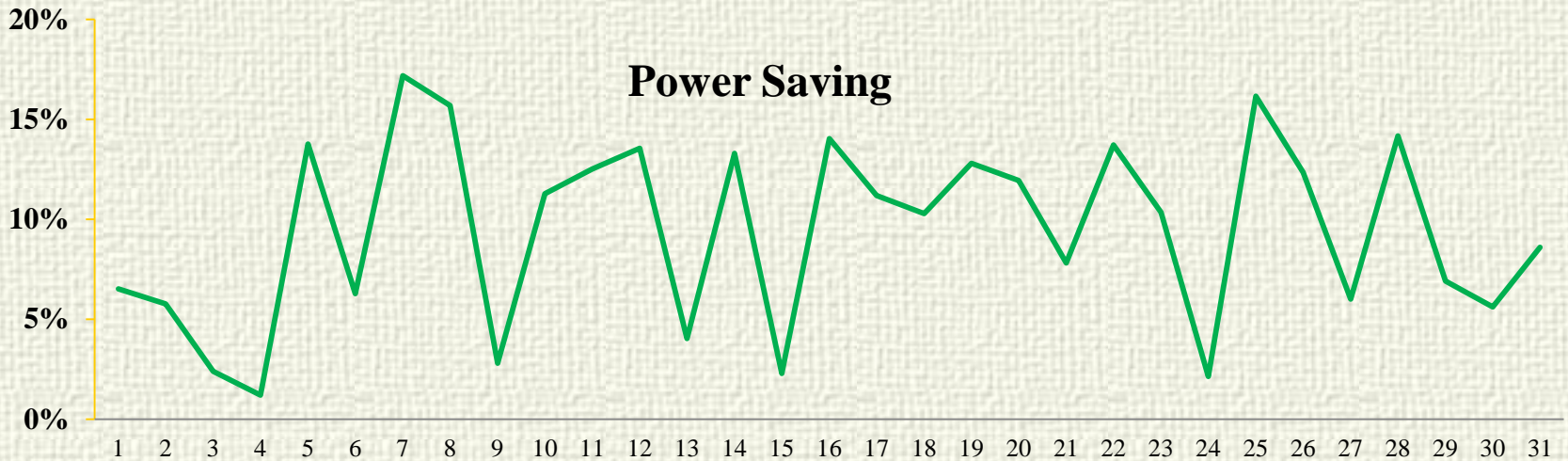




## Power consumption

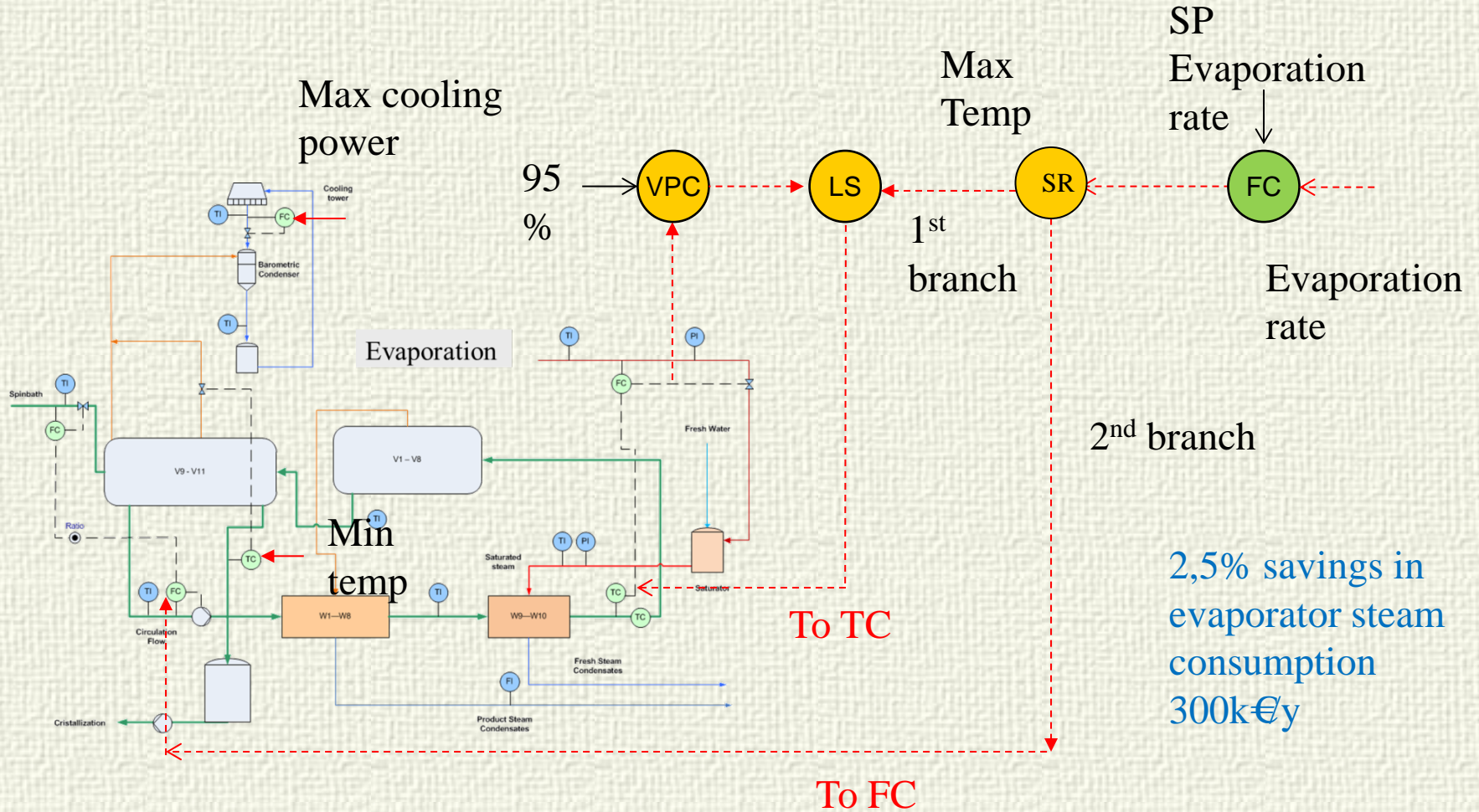


## Power Saving



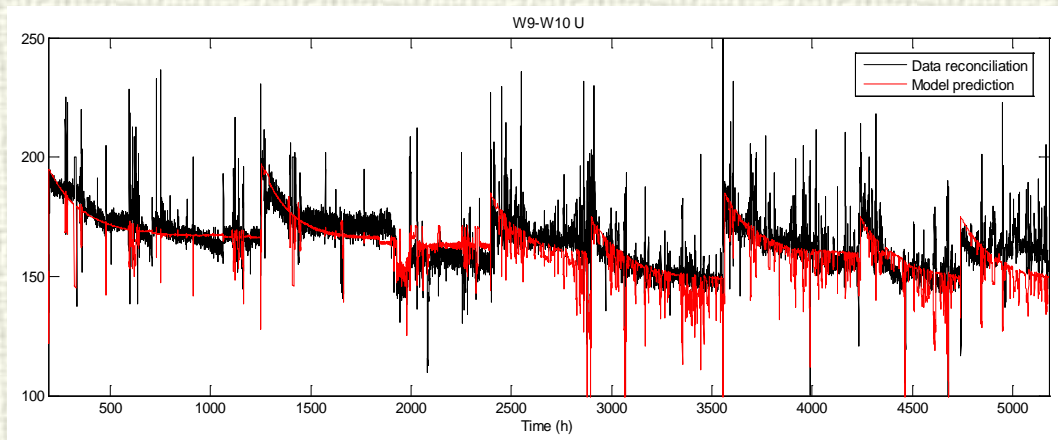
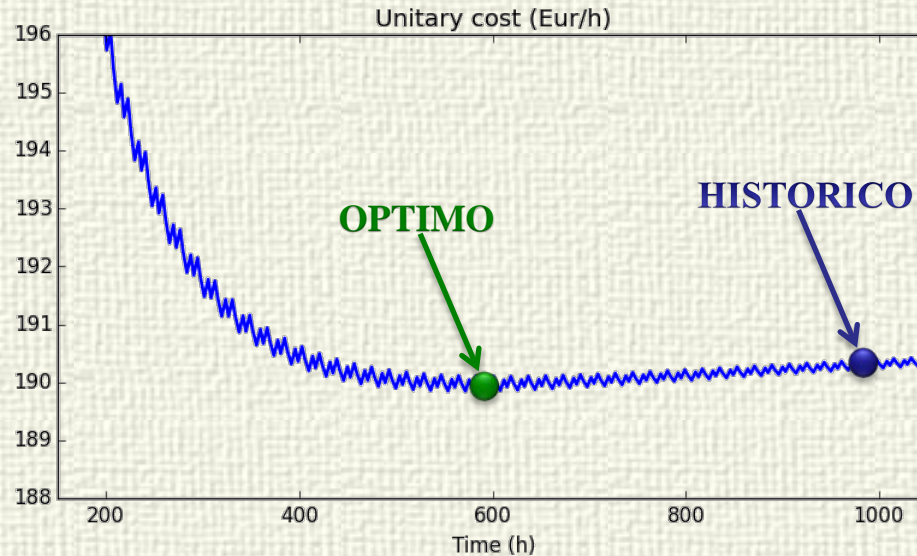


# Implementación como sistema de control



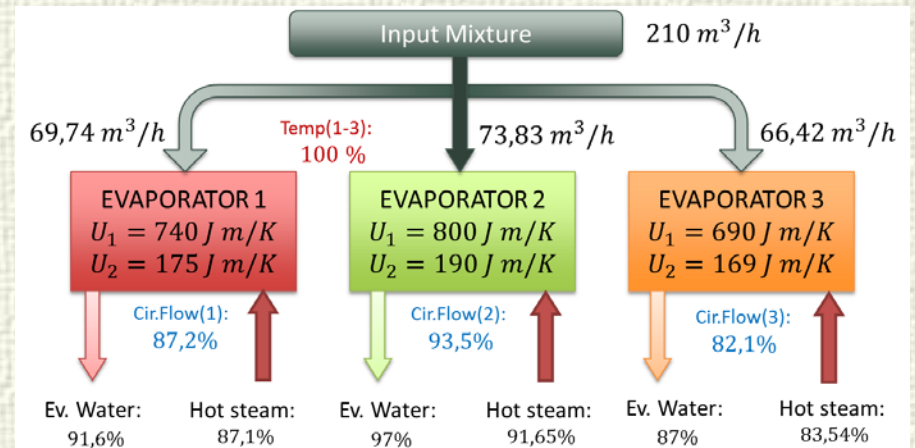
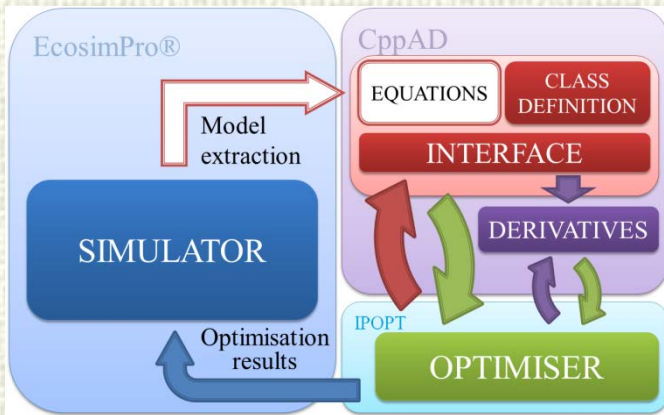


# Ensuciamiento / Limpiezas



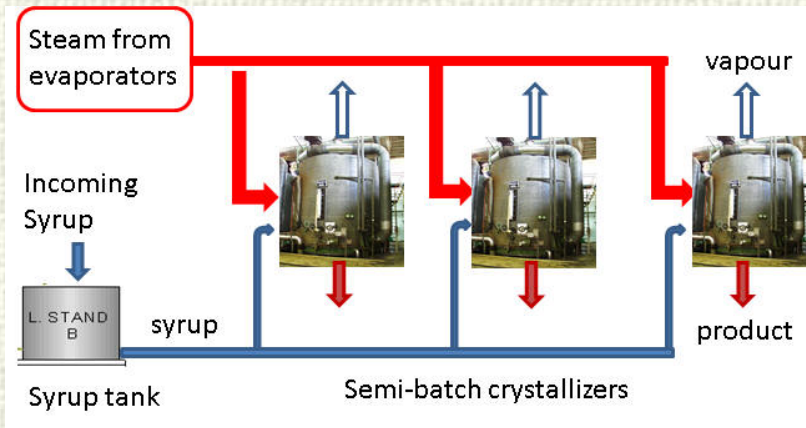


# Distribución óptima de cargas





# Problemas abiertos: Sistemas híbridos /Estructura variable



Scheduling + control óptimo local de los cristalizadores + recursos compartidos + optimización energética / producción

**Discontinuidades en las derivadas**

**En algún caso se pueden transformar en NLP**

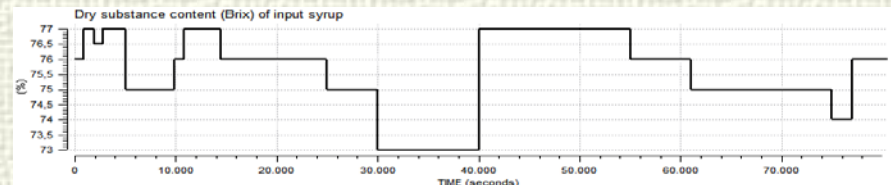
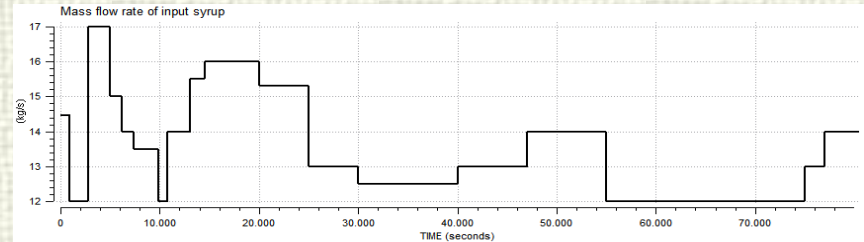
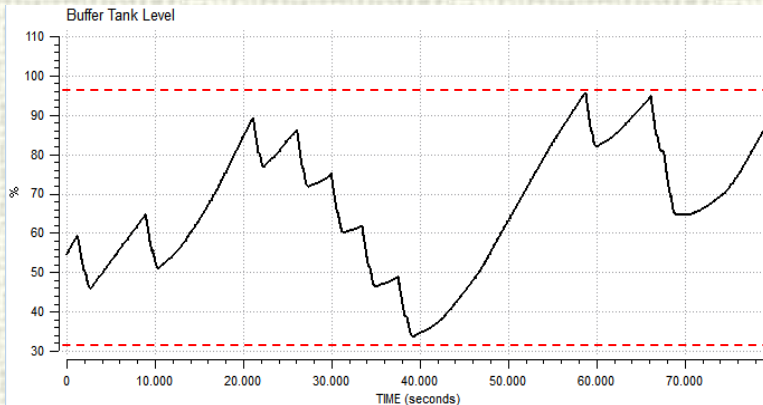
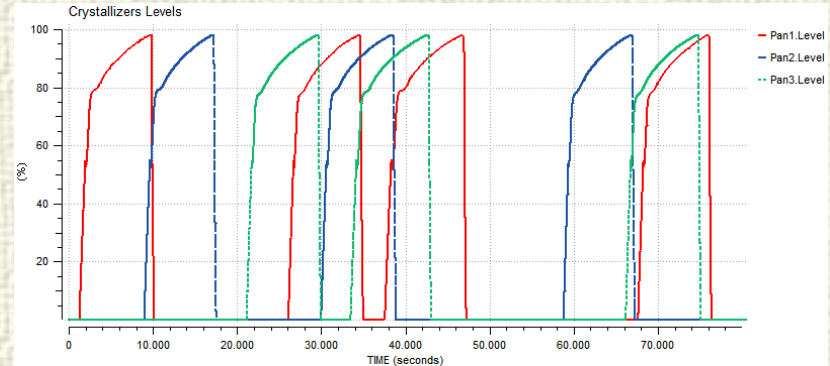
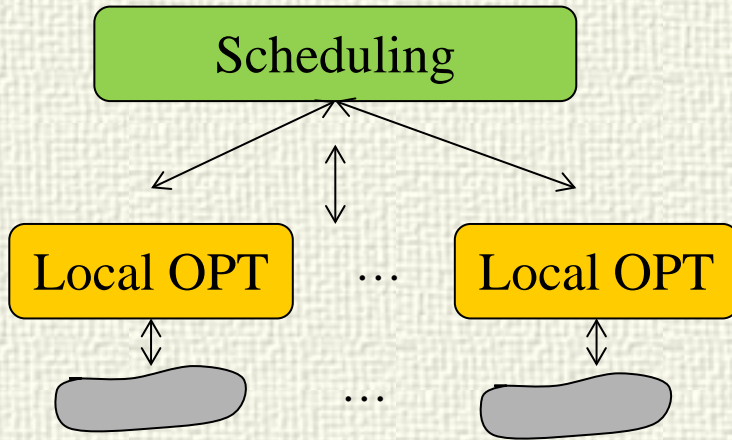
**Formulación como problemas MINLP**

**Descomposición jerárquica en varios tipos de problemas:**  
Scheduling, optimización local, etc





# Explotar la estructura para descomponer el problema





# Incertidumbre modelo / proceso

$$\min_u J(u) = \int_0^T L(x, u) dt$$

$$F(\dot{x}, x, u) = 0$$

$$g(x, u) \leq 0$$



La optimización calcula el óptimo del modelo, no del proceso

¿Qué ocurre si el modelo no es correcto?

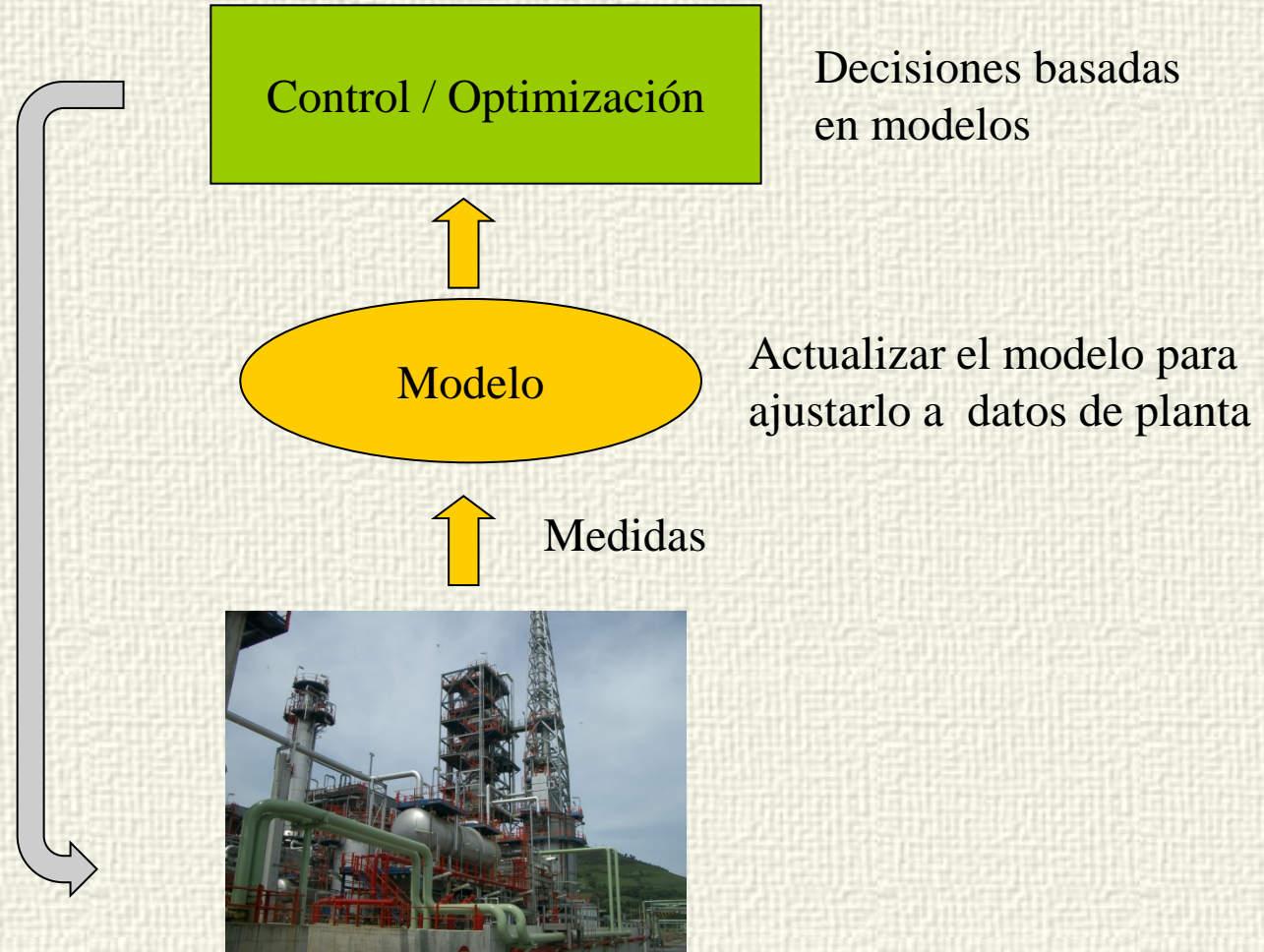
¿Cómo se toman en cuenta las perturbaciones, incertidumbres, etc.?

Enfoques:

- ✓ **Actualizar el modelo**
- ✓ **Modificar la formulación de la optimización**
- ✓ **Optimización estocástica / robusta**



# Actualización del modelo





# Reconciliación de datos y parámetros

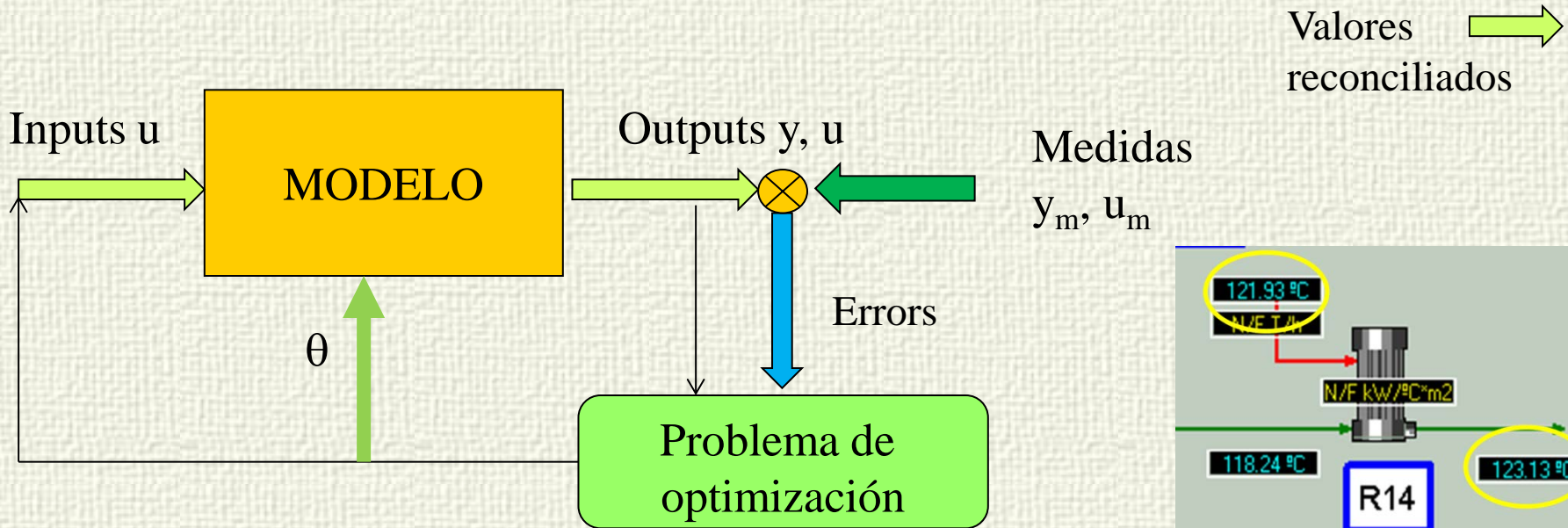


- ✓ Algunas medidas no son consistentes o fiables
- ✓ Hay variables no medidas y parámetros desconocidos
- ✓ Se necesita un cierto grado de redundancia

$$\min_{u, y, \theta} \sum_{i=1}^{N_{\text{measured}}} \alpha_i (y_i - y_{m,i})^2 + \beta_i (u_i - u_{m,i})^2$$

$$\frac{dx}{dt} = f(x, u, \theta) \quad y = h(x, u, \theta)$$

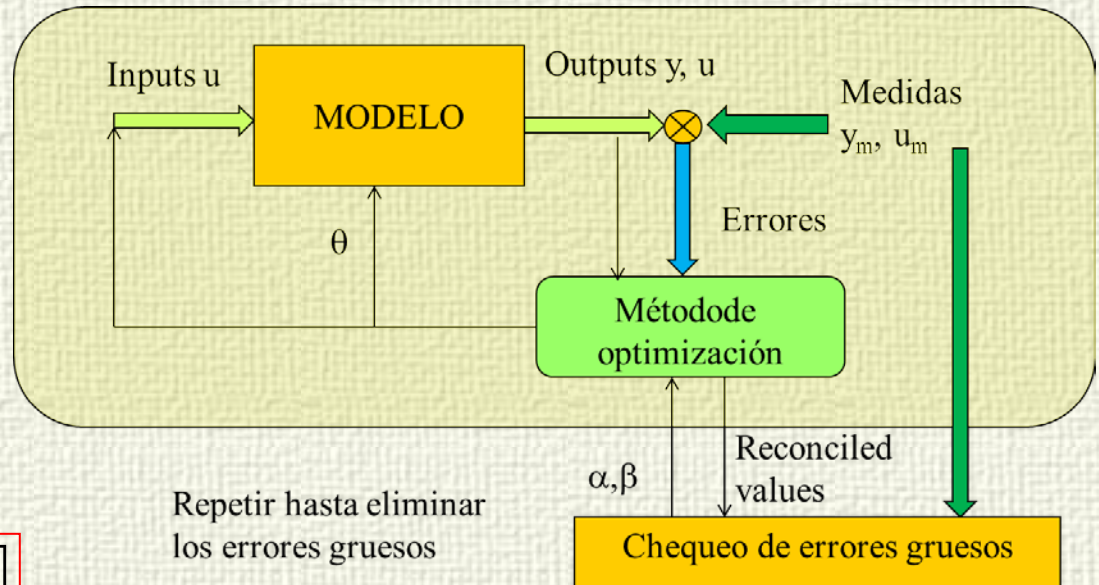
$$g(x, y, u, \theta) \leq 0$$



# Errores gruesos

La reconciliación de datos se suele plantear en estado estacionario junto al RTO

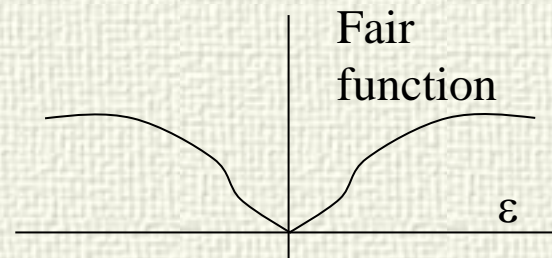
## Estimadores robustos



$$\min_x \sum_{j \in M} c^2 \left[ \frac{|\varepsilon_j|}{c} - \log \left( 1 + \frac{|\varepsilon_j|}{c} \right) \right]$$

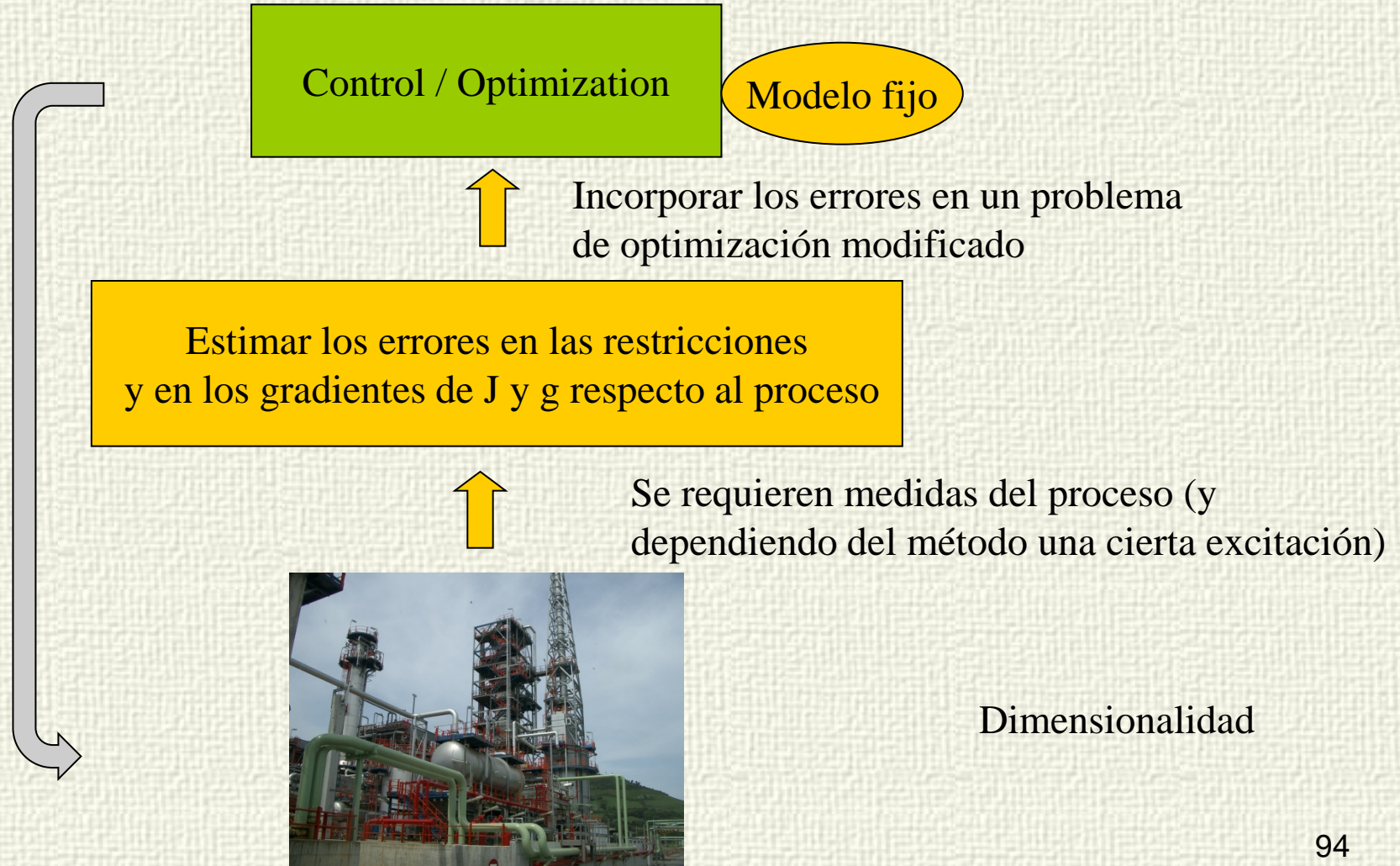
$$\varepsilon_j = \frac{X_j - X_{mj}}{\sigma}$$

$$f_i(x) = 0$$



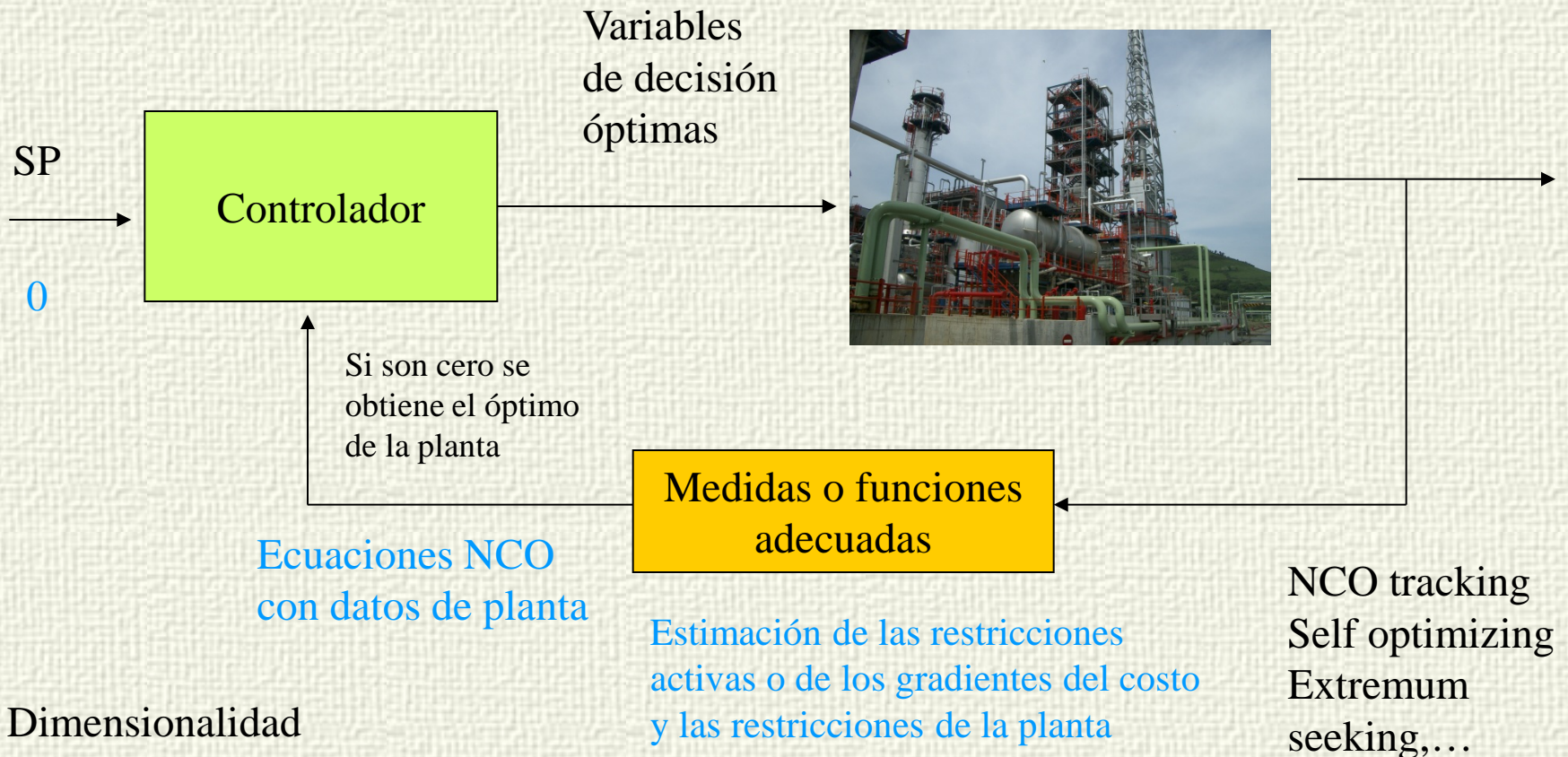


# Modifier adaptation





# Transformarlo en un problema de control equivalente





# Optimización estocástica

$$\min_u J(\mathbf{x}, \mathbf{u}, \xi)$$

$$\frac{d\mathbf{x}}{dt} = \mathbf{f}(\mathbf{x}, \mathbf{u}, \xi)$$

$$\mathbf{h}(\mathbf{x}, \mathbf{u}, \xi) = \mathbf{0}$$

$$\mathbf{g}(\mathbf{x}, \mathbf{u}, \xi) \leq \mathbf{0}$$

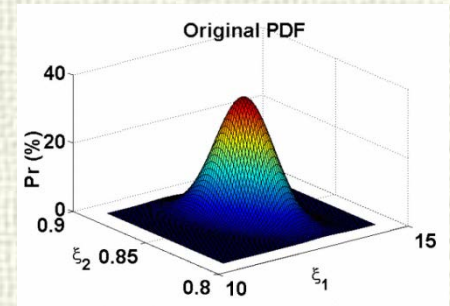
$\xi$  Variable estocástica con una distribución de probabilidad

## Optimización estocástica

Algunas de las variables son de naturaleza estocástica

- ✓ Chance constraints
- ✓ Escenarios
- ✓ Optimización de dos etapas

....



## Optimización robusta

$$\min_u \max_{\xi} J(\mathbf{u}, \xi)$$

Solución del peor caso

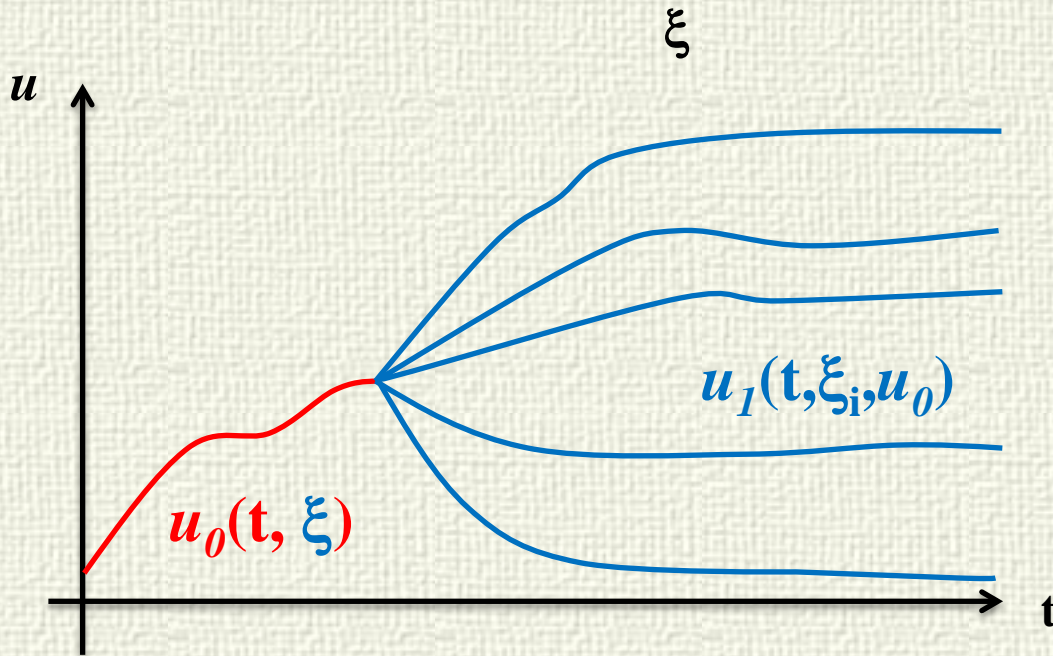




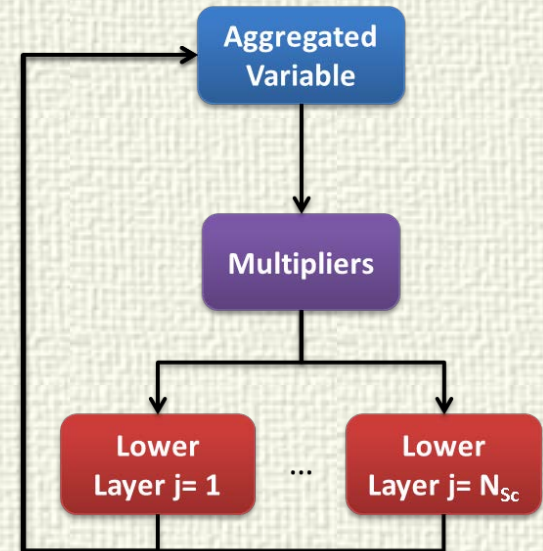
# Optimización estocástica multietapa



Se consideran una serie de escenarios



Enfoques centralizados /  
Lagrangiano aumentado



Tras un tiempo, la nueva información disponible permite determinar la incertidumbre  $\xi$  y, por tanto, aplicar un control específico  $u_1$  para esa incertidumbre en la segunda etapa, dando lugar a soluciones menos conservadoras.  $u_0$

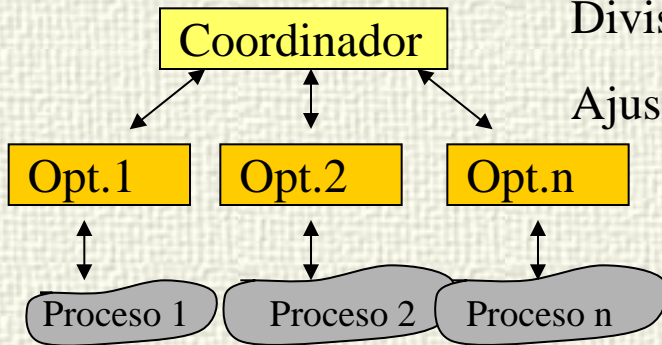


# ¿Calculo distribuido?

## Paralelización

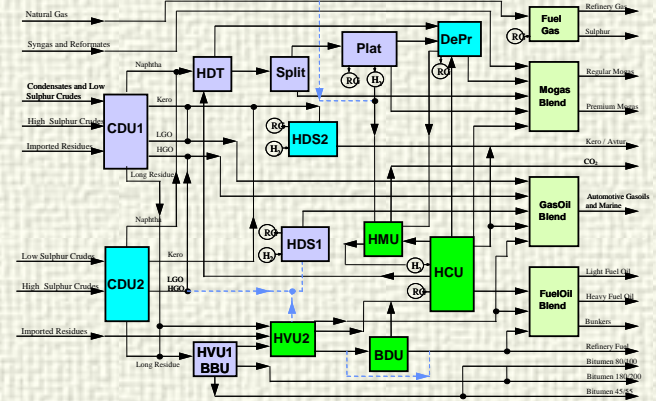


### Jerárquicos



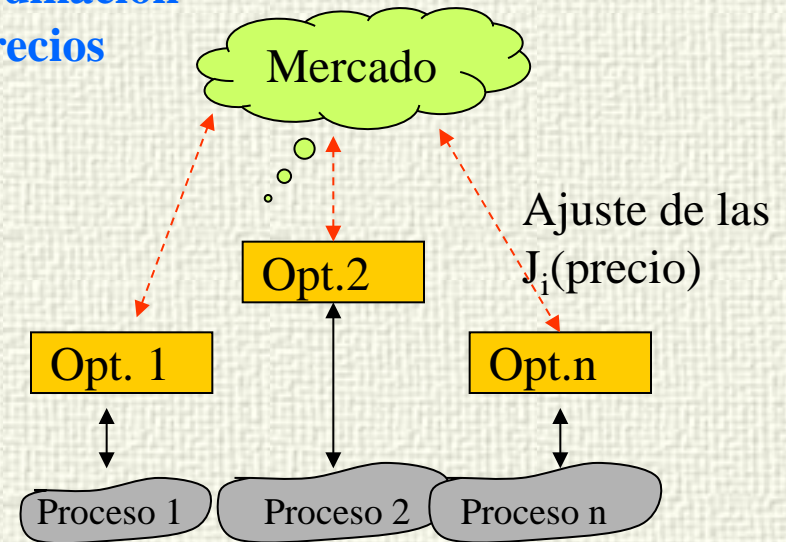
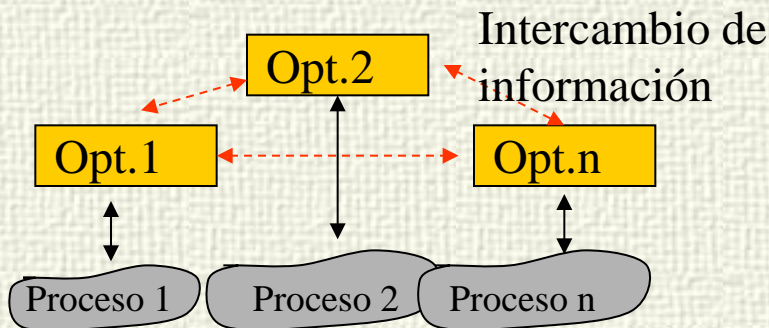
División funcional

Ajuste de consignas, tareas



### Coordinación de precios

### Distribuidos





---

Gracias por vuestra atención